

การตรวจสอบความถูกต้องของการคำนวนปริมาณรังสีสำหรับอัลกอริทึม
แอนนิโล่ทรีปิก่อนนำไปติดต่อและคอลแลปส์โคนคอนไว้ลุ้นชั่น
ของการฉายรังสีร่วมพิกัดบริเวณปอดด้วยไฟตอนพลังงาน 6
และ 10 เมกะโวლต์ ที่ไม่ใช้ตัวกรองปรับเรียบ



วิทยานิพนธ์เสนอปัจฉิตริยาลัย มหาวิทยาลัยนเรศวร เพื่อเป็นส่วนหนึ่งของการศึกษา
หลักสูตรปริญญาวิทยาศาสตร์มหาบัณฑิต
สาขาวิชาฟิสิกส์การแพทย์
มิถุนายน 2562
ลิขสิทธิ์เป็นของมหาวิทยาลัยนเรศวร

วิทยานิพนธ์ เรื่อง “การตรวจสอบความถูกต้องของการคำนวนปริมาณรังสีสำหรับอัลกอริทึม
แอนนิโสโตรปิกของนาโนติคอลและคอลแลปส์โคนค่อนโวจุชั้นของการฉายรังสีร่วมพิกัดบริเวณปอด
ด้วยโพแทอนพลังงาน 6 และ 10 เมกะโวลต์ ที่ไม่ใช้ตัวกรองปรับเรียง”

ของนางสาวสิรินทร์ คล้ายใจทรง
ได้รับการพิจารณาให้นับเป็นส่วนหนึ่งของการศึกษาตามหลักสูตร
ปริญญาวิทยาศาสตรมหาบัณฑิต สาขาวิชาพิสิกส์การแพทย์

คณะกรรมการสอบวิทยานิพนธ์

ศ.ดร. สุวิทย์ ประธานกรรมการสอบวิทยานิพนธ์
(รองศาสตราจารย์ศิวลี สุวิยาปี)

ดร.ธีติพงศ์ ประธานที่ปรึกษาวิทยานิพนธ์
(ดร.ธีติพงศ์ แก้วเหล็ก)

ดร.นันทวัฒน์ กรรมการที่ปรึกษาวิทยานิพนธ์
(ผู้ช่วยศาสตราจารย์ ดร.นันทวัฒน์ อุตตี)

ดร.วัฒนา กรรมการผู้ทรงคุณวุฒิภายใน
(ผู้ช่วยศาสตราจารย์ ดร.วัฒนา ชีพสมนต์)

(ศาสตราจารย์ ดร.ไพศาล มุนีสว่าง)

คอมบดีบันทิวิทยาลัย

๒๑๓.๘.๒๕๖๒

ประกาศคุณูปการ

ผู้วิจัยขอกราบขอบพระคุณเป็นอย่างสูงในความกรุณาของ ดร.สุริติพงศ์ แก้วเหล็ก ประธานที่ปรึกษาวิทยานิพนธ์ ที่ได้อุทิศสำหรับเวลาอันมีค่ามาเป็นที่ปรึกษา พร้อมทั้งให้คำแนะนำ ตลอดระยะเวลาในการทำวิทยานิพนธ์ฉบับนี้ และขอกราบขอบพระคุณคณะกรรมการวิทยานิพนธ์ อันประกอบไปด้วย ผู้ช่วยศาสตราจารย์ ดร. นันทวัฒน์ อุ่ดี กรรมการที่ปรึกษาวิทยานิพนธ์ รองศาสตราจารย์ ศิริลักษณ์ สุริยาปี ประธานกรรมการสอบวิทยานิพนธ์ ผู้ช่วยศาสตราจารย์ ดร.วัฒนา ชีพสุมนต์ กรรมการผู้ทรงคุณวุฒิ ที่ได้กรุณาให้คำแนะนำตลอดงานแก่ไขข้อบกพร่องของ วิทยานิพนธ์ด้วยความเอาใจใส่ จนทำให้วิทยานิพนธ์ฉบับนี้สำเร็จลุล่วงได้อย่างสมบูรณ์และ ทรงคุณค่า

กราบขอบพระคุณ ผู้ช่วยศาสตราจารย์จีระภา ตันนานันท์ คุณแสงอุทิศ ทองสวัสดิ์ และ บุคลากรนักฟิสิกส์การแพทย์ทุกท่านของหน่วยงานรังสีรักษา โรงพยาบาลจุฬาภรณ์ เป็นอย่างสูง ที่ได้กรุณาให้ความอนุเคราะห์อุปกรณ์ สถานที่ในการทำวิจัย และอำนวยความสะดวกแก่ผู้วิจัย เป็นอย่างดีในการเข้าไปทำการวิจัยและเก็บข้อมูล ขอขอบพระคุณ และเงินทุนสำหรับการทำวิจัย ในครั้งนี้

เห็นอสังหาริมทรัพย์ ให้กราบขอบพระคุณ บิดา มารดา ของผู้วิจัยที่ให้กำลังใจและให้ การสนับสนุนในทุก ๆ ด้านอย่างดีที่สุดเสมอมา

คุณค่าและคุณประโยชน์อันพึงจะมีจากวิทยานิพนธ์ฉบับนี้ ผู้วิจัยขอขอบพระคุณและอุทิศแด่ผู้มี พระคุณทุก ๆ ท่าน ผู้วิจัยหวังเป็นอย่างยิ่งว่า งานวิจัยนี้จะเป็นประโยชน์ที่แสดงให้เห็นถึงความ ถูกต้องของการคำนวณปริมาณรังสีในตัวกล้างที่ไม่เป็นเนื้อเดียวกันของทั้งสองอัลกอริทึมและ ผู้ที่สนใจบ้างไม่มากก็น้อย

ศิรินทร์ คล้ายใจกลาง

ชื่อเรื่อง	การตรวจส่องความถูกต้องของการคำนวนปริมาณรังสีสำหรับ อัลกอริทึมแอนนิสโตรปิคอะนาไลติกอลและคอลแลปส์โคนค่อน โนลูชันของการฉายรังสีร่วมพิกัดบริเวณปอดด้วยฟ็อกอนพลังงาน 6 และ 10 เมกะโวลต์ ที่ไม่ใช่ตัวกรองปรับเรียบ
ผู้วิจัย	สรินทร์ คล้ายใจดวง
ประธานที่ปรึกษา	ดร.ธนิติพงศ์ แก้วเหล็ก
ประเภทสารนิพนธ์	วิทยานิพนธ์ วท.ม. สาขาวิชาพิสิกรรมศาสตร์แพทย์, มหาวิทยาลัยนเรศวร, 2561
คำสำคัญ	เครื่องคอมพิวเตอร์วางแผนการรักษา อัลกอริทึมการคำนวนแบบคอล แลปส์โคนค่อนโนลูชัน อัลกอริทึมแอนนิสโตรปิคอะนาไลติกอล หุ่นจำลองที่ไม่สมมูลเนื้อเยื่อ การรักษาด้วยรังสีร่วมพิกัดบริเวณปอด

บทคัดย่อ

ในการฉายรังสีผู้ป่วยโดยคอมพิวเตอร์ ถูกนำมาใช้ในการคำนวนการกระจาย
ปริมาณรังสี เพื่อให้รังสีแพทย์พิจารณาถึงปริมาณรังสีที่ก้อนมะเร็ง และอวัยวะปกติได้รับอย่าง
ถูกต้อง ความถูกต้องของอัลกอริทึมในการคำนวนการกระจายปริมาณรังสีจึงมีความสำคัญอย่าง
มากในการวางแผนการรักษา วัตถุประสงค์ของงานวิจัยนี้เพื่อตรวจส่องความถูกต้องของ
การคำนวนปริมาณรังสีของอัลกอริทึมแอนนิสโตรปิคอะนาไลติกอล (AAA) และคอลแลปส์โคน
ค่อนโนลูชัน (CCC) สำหรับการฉายรังสีร่วมพิกัดบริเวณปอด (Lung SBRT) ที่ระดับพลังงาน
6 และ 10 เมกะโวลต์ที่ไม่ใช่ตัวกรองปรับเรียบโดยทำการเปรียบเทียบปริมาณรังสีที่วัดได้กับ
ปริมาณรังสีที่คำนวนได้ด้วยเครื่องคอมพิวเตอร์วางแผนการรักษาในเงื่อนไขต่าง ๆ โดยแบ่ง
การทดสอบเป็น 3 ส่วน คือ 1) การตรวจส่องความถูกต้องของปริมาณรังสีแบบจุดสำหรับ
การคำนวนรังสีในตัวกลางแบบเนื้อเยื่อเดียวกัน 2) การตรวจส่องความถูกต้องของการคำนวน
รังสีในตัวกลางแบบเนื้อเยื่อต่างกัน และ 3) การทดสอบความถูกต้องของการกระจายปริมาณรังสี
ของการฉายรังสีร่วมพิกัดบริเวณปอดโดยการวัดด้วยฟิล์มในหุ่นจำลองทรวงอก และอีกทั้งประเมิน
แผนการรักษาที่คำนวนด้วยสองอัลกอริทึมของผู้ป่วย 17 ราย ตามมาตรฐาน RTOG 0813 จากผล
การศึกษาความถูกต้องของการคำนวนปริมาณรังสีของสองอัลกอริทึมสำหรับปริมาณรังสีแบบ
จุดในตัวกลางที่มีเนื้อเยื่อเดียวกันพบว่ามีความแตกต่างระหว่างการวัดและการคำนวนน้อยกว่า
ร้อยละ 2 สำหรับเพ็น知道自己รังสีแบบเปิดด้วยคอลลิเมเตอร์และร้อยละ 3 สำหรับแบบเปิดด้วยมัลติลีฟ

คอลลิเมเตอร์ ในทุกเงื่อนไขสำหรับอัลกอริทึม CCC และอัลกอริทึม AAA และการทดสอบ ในตัวกลางที่เนื้อเยื่อต่างกันมีค่าความแตกต่างของการคำนวณที่เบรียบเทียบกับการวัดน้อยกว่า ร้อยละ 3 สำหรับบริเวณที่อยู่ภายในลำรังสี และน้อยกว่าร้อยละ 4 สำหรับบริเวณขอบของลำรังสี ในทุกเงื่อนไข และสำหรับการทดสอบความถูกต้องของการกระจายปริมาณรังสีของการฉายรังสี ร่วมพิกัดบริเวณปอดโดยการวัดด้วยพิล์มในหุ่นจำลองทรวงอกของอัลกอริทึมทั้งสองมีค่าร้อยละ การผ่านของเกมมา มากกว่าร้อยละ 90 สำหรับเกณฑ์ 3/3 มิลลิเมตร และเมื่อประเมินแผนการรักษา สำหรับการฉายรังสีร่วมพิกัดบริเวณปอดทั้งหมดที่อ้างอิงตาม RTOG 0813 พบว่าแผนการรักษาที่ คำนวณด้วยอัลกอริทึมคอลแลปส์โคนค่อนไว้ชั่วขึ้นเป็นไปตามเกณฑ์มาตรฐานของ RTOG 0813 มากกว่า เมื่อเทียบกับแผนการรักษาที่คำนวณใหม่ด้วยอัลกอริทึมแอนนิโซทรีปิคอล ไดคอล จากการศึกษาในครั้งนี้แสดงให้เห็นว่าอัลกอริทึมคอลแลปส์โคนค่อนไว้ชั่วขึ้น ให้ความใกล้เคียงกับ การวัดจริงมากกว่า เมื่อเทียบกับการคำนวณด้วยอัลกอริทึมแอนนิโซทรีปิคอลทั้งใน ตัวกลางที่มีเนื้อเยื่อเดียวกัน มีเนื้อเยื่อต่างกัน และประสิทธิภาพของแผนการรักษาสำหรับการฉาย รังสีร่วมพิกัดบริเวณปอดที่อยู่ในมาตรฐานของ RTOG 0813



Title	VERIFICATION OF DOSIMETRIC ACCULACY FOR ANISOTROPIC ANALYTICAL AND COLLAPSED CONE CONVOLUTION ALGORITHMS IN LUNG STEREOTACTIC BODY RADIOTHERAPY TREATMENT WITH 6 AND 10 MV FLATTENING FILTER FREE PHOTON BEAMS
Authors	Sirintha Khajaitrong
Advisor	Titipong Kaewlek, Ph.D.
Academic Paper	Thesis M.S. in Medical Physics, Naresuan University, 2018
Keywords	Treatment planning system: TPS Collapsed cone convolution algorithm Anisotropic analytical algorithm Heterogeneity phantom Lung stereotactic body radiotherapy treatment

ABSTRACT

In radiation therapy, computer treatment planning is used to calculate dose distribution in order to consider the radiation dose at tumors and organs. The accuracy of dose calculation algorithm is very important for treatment planning systems (TPS). The purpose of this study was to verify the accuracy of dose calculation in anisotropic analytical algorithm (AAA) and collapsed cone convolution algorithm (CCC) for lung stereotactic body radiotherapy (SBRT) treated with flattening filter free beam (FFF). To verify accuracy of TPS, dose measurement was compared with TPS calculation. Verification was performed in three conditions as follows: 1) accuracy of point dose in homogeneity media, 2) accuracy of point dose in inhomogeneity media and 3) accuracy of dose distribution in IMRT Thorax Phantom. In addition, a plan quality was evaluated by RTOG 0813 protocol. The results were found that the accuracy of point dose for CCC and AAA algorithms in homogeneous media were less than 2% for simple radiation field, and less than 3% for Multileaf collimator shaped fields in all condition for CCC and AAA algorithms. The dose difference between calculations and measurements were less than 3% for central axis position and 4% for off-axis position for CCC and AAA algorithms in inhomogeneous media. The dose distribution difference evaluated with gamma analysis

was more than 90 % gamma passing rates at criteria of 3%, 3mm. Plan quality was evaluated based on RTOG 0813 suggestions indicated that CCC algorithm was superior to AAA algorithm. This study shows CCC algorithm provides the closest match of dose calculation in both of homogeneity and heterogeneity media as compared with dose measurement, and a plan quality of CCC algorithm was superior to AAA algorithm.



สารบัญ

บทที่	หน้า
1 บทนำ.....	1
ความเป็นมาของปัญหา	1
จุดมุ่งหมายของการวิจัย.....	2
ขอบเขตของการวิจัย	2
สมมติฐานของการวิจัย	2
2 เอกสารและงานวิจัยที่เกี่ยวข้อง	3
ทฤษฎีพื้นฐาน	3
มะเร็งปอดชนิดเซลล์ตัวโต (Non-small cell lung cancer หรือ NSCLC).....	3
การฉายรังสีร่วมพิกัด (Stereotactic radiotherapy).....	3
ลำรังสีในช่วงพัฒนาเมกะโวลต์ที่ไม่ใช้ตัวกรองปรับเวียง	4
อัลกอริทึมสำหรับการคำนวนเบรินแวนรังสี	6
อัลกอริทึมแอนโนไซโรบิคอะนาไลติกอล (AAA)	12
อัลกอริทึมคออลแลปส์โคนคอนโวลูชัน (CCC)	16
การวิเคราะห์ผลด้วยค่าดัชนีแคมมา (Gamma passing rate)	18
งานวิจัยที่เกี่ยวข้อง	20
3 วิธีดำเนินการวิจัย.....	24
ประชากรและกลุ่มตัวอย่าง	24
เครื่องมือที่ใช้ในการวิจัย.....	24
การเก็บรวบรวมข้อมูลและการวิเคราะห์ข้อมูล	31

สารบัญ

บทที่	หน้า
4 ผลการวิจัย.....	54
ผลการศึกษาข้อมูลขนาดและตำแหน่งของก้อนมะเร็งระยะแรกของผู้ป่วยที่ ผ่านการรักษาด้วยเทคนิค SBRT และมีการคำนวนปริมาณรังสีด้วย อัลกอริทึม AAA ในระบบวางแผนการรักษาอิคลิปส์.....	54
ผลการตรวจสอบความถูกต้องของปริมาณรังสีแบบจุด (Point dose) สำหรับ อัลกอริทึม AAA ในระบบวางแผนการรักษาอิคลิปส์และอัลกอริทึม CCC ในระบบวางแผนการรักษาเรย์สเตชันในหุ่นจำลองที่มีเนื้อเยื่อเดียวกัน และมีเนื้อเยื่อต่างกัน	56
การตรวจสอบความถูกต้องของการกระจายปริมาณรังสี (Dose distribution) ที่คำนวนด้วยอัลกอริทึม CCC และ AAA เทียบกับการวัด ด้วยฟิล์มนิเดก้าฟโคโรเมคในหุ่นจำลองที่มีเนื้อเยื่อต่างกัน	64
ผลการประเมินแผนการรักษาระหว่างการคำนวนด้วยอัลกอริทึม CCC และ AAA ของผู้ป่วย 17 รายตามมาตรฐาน RTOG 0813	67
5 บทสรุป.....	73
สรุปผลการวิจัย	73
อภิปรายผลการวิจัย.....	74
บorchana นุกรอม.....	79
ภาคผนวก.....	87
อภิธานศัพท์.....	97
ประวัติผู้วิจัย.....	100

สารบัญตาราง

ตาราง	หน้า
1 ประสิทธิภาพในการคำนวณปริมาณรังสีของอัลกอริทึมต่าง ๆ ที่แก้ไขความต่างของเนื้อเยื่อ โดยที่ (+) และ (-) แสดงถึงระดับประสิทธิภาพของอัลกอริทึม	18
2 วัสดุอ้างอิงที่ฝ่ายการรับรองสำหรับความหนาแน่นที่อยู่ในคู่มือการใช้งานของหุ่นจำลองทรวงอก (IMRT CIRS Phantom)	25
3 ตัวอย่างการศึกษาข้อมูลขนาดและตำแหน่งของก้อนมะเร็งปอดชนิดเซลล์ โดยของผู้ป่วยที่ทำการรักษาด้วยเทคนิค SBRT ณ โรงพยาบาลจุฬาภรณ์.....	32
4 ลักษณะของการทดสอบความถูกต้องของระบบคอมพิวเตอร์วางแผนการรักษาสำหรับตัวกลางที่มีเนื้อเยื่อเดียวกันตามมาตรฐาน TRS 430	34
5 เงื่อนไขสำหรับการวางแผนการรักษาสำหรับการทดสอบในตัวกลางที่มีเนื้อเยื่อต่างกันตามมาตรฐาน IAEA TECDOC 1583	44
6 เกณฑ์การตรวจสอบความถูกต้องของการคำนวณปริมาณรังสีในระบบคอมพิวเตอร์วางแผนการรักษาสำหรับตัวกลางที่มีเนื้อเยื่อต่างกัน	45
7 ค่าการยอมรับของเกณฑ์การประเมินแผนการรักษาของโปรโตคอล RTOG 0813.....	52
8 ค่าการยอมรับของปริมาณรังสีและปริมาตรจำกัดสำหรับอวัยวะเสี่ยงของโปรโตคอล RTOG 0813.....	53
9 ข้อมูลขนาดและตำแหน่งของก้อนมะเร็งปอดชนิดเซลล์โดยของผู้ป่วยที่ทำการรักษาด้วยเทคนิค SBRT ณ โรงพยาบาลจุฬาภรณ์.....	55
10 ผลการเปรียบเทียบการกระจายปริมาณรังสีทั้งสองอัลกอริทึมที่วิเคราะห์ตัวอย่างอัตราการผ่านแกมมา สำหรับพลังงาน 6 และ 10 เมกะโวลต์ ที่ไม่ใช้ตัวกรองปรับเรียบ.....	65

สารบัญตาราง (ต่อ)

ตาราง	หน้า
11 ปริมาณรังสีเฉลี่ยและค่าเบี่ยงเบนมาตรฐานของก้อนมะเร็งในผู้ป่วยทั้งหมด สำหรับแผนการรักษาที่คำนวนปริมาณรังสีด้วยอัลกอริทึม CCC และ AAA..	68
12 จำนวนความเบี่ยงเบน (Deviation) ที่พิจารณาตามเกณฑ์ RTOG 0813 สำหรับแผนการรักษาของผู้ป่วย 17 ราย ที่คำนวนด้วยอัลกอริทึม CCC และ AAA ..	69
13 ปริมาณรังสีเฉลี่ยและค่าเบี่ยงเบนมาตรฐานของอวัยวะปกติของผู้ป่วย ทั้งหมดสำหรับแผนการรักษาที่คำนวนปริมาณรังสีด้วยอัลกอริทึม CCC และ AAA ..	72

สารบัญภาพ

ภาพ	หน้า
1 (ก) ลักษณะการวางแผนการรักษาสำหรับการฉายรังสีร่วมพิกัดบริเวณปอด และ(ข) ลักษณะของการกระจายบริมาณรังสีในแนวภาคตัดขวาง.....	4
2 (ก) ไดอะแกรมของตำแหน่งตัวกรองปรับเรียบและโปรไฟล์ของลำรังสีที่ใช้ ตัวกรองปรับเรียบ และ (ข) สำหรับลำรังสีที่ไม่ใช้ตัวกรองปรับเรียบ	6
3 หลักการคำนวณปริมาณรังสีตามแบบจำลอง Model based algorithms.....	6
4 การกระจายปริมาณรังสีของ Point-spread kernel ที่จุด ๑ จากการทำ อันตรกิริยาที่จุด ๑.....	8
5 ลักษณะของ Point kernels และ pencil-beam kernels จากการเกิด อันตรกิริยาที่จุดเริ่มต้นของรังสีปั๊มน้ำมัน	8
6 (ก) และ (ค) พลูโอนซ์และการกระจายปริมาณรังสีของโฟตอนพลังงานเดี่ยว 5 เมกะอิเล็กตรอนโวลต์ที่ขนาดพื้นที่ฉายรังสี 5x5 ตารางเซนติเมตรใน หุ่นจำลอง Water phantom และ (ข) และ (ง) หุ่นจำลองที่ใส่วัสดุที่เทียบเท่า กับปอด	10
7 (ก) กราฟของปริมาณรังสีตามความลึกได้ (depth-dose curve) ในพื้นที่ ที่มีความหนาแน่นแตกต่างกันและมีชั้นช้อน เช่น ในกรณีพลังงานสูง ขนาด พื้นที่ฉายรังสีขนาดเล็ก และความหนาแน่นต่ำ และ (ข) ผลของการเกิดความ ไม่สมดุลทางอนุภาคประจุที่เกิดจากบริเวณใกล้รอยต่อของตัวกลางที่มี ความหนาแน่นต่างกันในขนาดพื้นที่ฉายรังสีและช่วงของอิเล็กตรอนเท่ากัน... ..	11
8 แบบจำลองการกระจายปริมาณรังสีแบบ Density scaling for photon Scatter	15
9 แบบจำลองเชิงมุมของเคอร์เนลแบบจุด (Sphere point kernel Discretization).....	18
10 แผนภาพแนวคิดทฤษฎีเกี่ยวกับวิธีการประเมินค่าแกมมา	19
11 (ก) หุ่นจำลอง IMRT Thorax phantom รุ่น Inc model 002LFC และ (ข) ภาพเอกซเรย์คอมพิวเตอร์ที่แสดงตำแหน่งต่าง ๆ	25

สารบัญภาพ (ต่อ)

ภาพ	หน้า
12 เครื่องเอกซเรย์คอมพิวเตอร์จำลองการรักษา รุ่น Brilliance Big Bore ชีทอฟ Philip 16 slices	26
13 เครื่องฉายรังสีรุ่น TrueBeam (Varian Medical Systems).....	27
14 หัววัดไอออกไซน์เซชั่นแคมเบอร์ชนิดเวลโลเฟอร์ฟามอร์เจปี 65 จี (Scanditronix / Wellhofer Farmer Type Chamber FC65-G)	27
15 (ก) ลักษณะภายในนอก และ (ข) โครงสร้างภายในของฟิล์มชนิดภาพโครามิก อีบีที 3 (Gafchromic film EBT3)	28
16 เครื่องสแกนไมโครเทค Microtek ScanMaker 9800XL flatbed scanner.....	28
17 (ก) ระบบคอมพิวเตอร์วางแผนการรักษาด้วยห้องอิคลิปส์เวอร์ชัน 13.6 และ (ข) ระบบวางแผนการรักษาด้วยเรย์สเตรั่นเวอร์ชัน 6.....	29
18 หุ่นจำลองที่เป็นเนื้อดียากัน (Solid water phantom)	30
19 ลักษณะของการปิดพื้นที่ฉายรังสีและลักษณะการกระจายปริมาณรังสีของ ตัวอย่างของการปิดพื้นที่ฉายรังสีด้วย MLC (ก) แบบคอนคاف (Concave) (ข) แบบคอนเวกซ์ (Convex) (ค) แบบล็อกด้านขวาด้วย MLC (Block Right) (ง) แบบบล็อกด้านบนด้วย MLC (Block up) และ (จ) เปิดพื้นที่ ฉายรังสีรูปตัวที (T-shape)	35
20 (ก) การติดตั้งการจำลองหุ่นจำลองที่เป็นเนื้อดียากัน (Solid water phantom) สำหรับที่ระยะ 5 เซนติเมตร และ (ข) สำหรับที่ระยะ 10 เซนติเมตรจากผิวของหุ่นจำลองถึงหัววัดวังสี.....	35
21 ตัวอย่างการกระจายปริมาณรังสีในระนาบกลาง (central plane) สำหรับ การทดสอบตามขนาดพื้นที่ฉายรังสีช่อง 10x10 ตารางเซนติเมตร.....	37
22 ตัวอย่างการกระจายปริมาณรังสีในระนาบกลาง (ก) และ ตัวอย่าง BEV (ข) สำหรับกรณีพื้นที่ฉายรังสีมีบล็อกเฉพาะบริเวณมุม.....	38
23 ตัวอย่างการกระจายปริมาณรังสีในระนาบกลาง (central plane) สำหรับกรณีเปิดพื้นที่ฉายรังสีแบบ 4 ทิศทาง.....	39

สารบัญภาพ (ต่อ)

ภาพ	หน้า
24 (ก) ตัวอย่างการกระจายปริมาณรังสีในระนาบกลาง และ (ข) ตัวอย่าง BEV สำหรับกรณีที่บล็อกพื้นที่ฉายรังสีด้วย MLC ตามการเปิดพื้นที่การฉายรังสีด้วยจอร์.....	41
25 (ก) ตัวอย่างการกระจายปริมาณรังสีในระนาบกลาง และ (ข) ตัวอย่าง BEV สำหรับกรณีการฉายรังสีในมุมเฉียงบนพื้นที่ฉายรังสีแบบ Irregular และแบบบล็อกบริเวณกึ่งกลางของพื้นที่ฉายรังสี	42
26 ตัวอย่างการกระจายปริมาณรังสีในระนาบกลาง (central plane) สำหรับกรณีการฉายรังสีด้วยลำรังสีที่ไม่ได้อยู่ในแนวระนาบเดียวกันด้วยการหมุนเตียงและคอลลิเมเตอร์	43
27 (ก) ตำแหน่งของการวัดในหุ่นจำลอง IMRT thorax และการกระจายปริมาณรังสีในการทดสอบตามขนาดพื้นที่ฉายรังสีอ้างอิง 10x10 ตารางเซนติเมตร (ข) การบล็อกบริเวณมุมของพื้นที่ฉายรังสี (ค) การกำหนดพื้นที่ฉายรังสีแบบ 4 ทิศทางในแนวซ้าย ขวา หน้า หลัง (ง) การกำหนดขอบบล็อกของพื้นที่ฉายรังสีด้วย MLC (จ) การกำหนดพื้นที่ฉายรังสีรูปตัวแอลโดยล้ำรังสีตกกระทบแบบเฉียง (ช) การกำหนดพื้นที่ฉายรังสีโดยที่ล้ำรังสีไม่ได้อยู่ในระนาบ	46
28 (ก) ตำแหน่งที่ 5 ของฟิล์มของหุ่นจำลองสำหรับการวัดการกระจายปริมาณรังสี และ(ข) การกระจายปริมาณรังสีในแนวภาคตัดขวางในหุ่นจำลอง IMRT thorax	48
29 (ก) การติดฟิล์มในตำแหน่งที่ 5 ของหุ่นจำลอง IMRT thorax (ข) การติดตั้งหุ่นจำลองด้วย Laser ในตำแหน่งที่ 5 ของการติดฟิล์ม (ค) ตำแหน่งการวางฟิล์มที่ได้รับการฉายรังสีลงบนเครื่องสแกนฟิล์ม	48

สารบัญภาพ (ต่อ)

ภาพ	หน้า
30 ตัวอย่างหน้าต่างของโปรแกรมแมปเป็คโดยที่ (ก) การกระจายปริมาณรังสีที่วัดได้จากฟิล์ม (ข) การกระจายปริมาณรังสีที่คำนวณจากการรักษา(ค) และ (ง) ค่าความแตกต่างของการกระจายปริมาณรังสีระหว่างการวัดจากฟิล์มและระบบจานวนการรักษาด้วยเกณฑ์อัตราการผ่านเกมมาและ ประโยชน์ใน แนวแกนกลาง ตามลำดับ.....	49
31 (ก) กราฟค่าร้อยละความคลาดเคลื่อนของปริมาณรังสีแบบจุดระหว่างการวัดและการคำนวณด้วยอัลกอริทึม CCC และ AAA ของการทดสอบการเปิดพื้นที่ฉายรังสีสู่เหลี่ยมจัตุรัสโดยขยายระยะการฉายรังสีจากต้นกำเนิดรังสีถึงผิวของตัวกลางเป็นระยะทาง 110 เซนติเมตร ที่ความลึก 5 เซนติเมตร สำหรับพลังงาน 6 เมกะโวลต์ที่ไม่ใช้ตัวกรองปรับเรียบ (ข) สำหรับพลังงาน 10 เมกะโวลต์ที่ไม่ใช้ตัวกรองปรับเรียบ	58
32 (ก) กราฟค่าร้อยละความคลาดเคลื่อนของปริมาณรังสีแบบจุดระหว่างการวัดและการคำนวณด้วยอัลกอริทึม CCC และ AAA ของการทดสอบการเปิดพื้นที่ฉายรังสีสู่เหลี่ยมจัตุรัสโดยขยายระยะการฉายรังสีจากต้นกำเนิดรังสีถึงผิวของตัวกลางเป็นระยะทาง 110 เซนติเมตร ที่ความลึก 10 เซนติเมตร สำหรับพลังงาน 6 เมกะโวลต์ที่ไม่ใช้ตัวกรองปรับเรียบ (ข) สำหรับพลังงาน 10 เมกะโวลต์ที่ไม่ใช่ตัวกรองปรับเรียบ	60
33 กราฟค่าร้อยละความคลาดเคลื่อนของปริมาณรังสีแบบจุดระหว่างการวัดและการคำนวณด้วยอัลกอริทึม CCC และ AAA ของการทดสอบการเปิดพื้นที่ฉายรังสีแบบกล่องด้วยลำรังสี 4 ทิศทางสำหรับพลังงาน 6 เมกะโวลต์ที่ไม่ใช้ตัวกรองปรับเรียบ	62
34 กราฟค่าร้อยละความคลาดเคลื่อนของปริมาณรังสีแบบจุดระหว่างการวัดและการคำนวณด้วยอัลกอริทึม CCC และ AAA ของการทดสอบการเปิดพื้นที่ฉายรังสีแบบกล่องด้วยลำรังสี 4 ทิศทางสำหรับพลังงาน 10 เมกะโวลต์ที่ไม่ใช่ตัวกรองปรับเรียบ	64

สารบัญภาพ (ต่อ)

ภาพ	หน้า
35 ผลการเปรียบเทียบการกระจายปริมาณรังสีของอัลกอริทึม AAA ที่วิเคราะห์ด้วยค่าดัชนีเกณฑ์มาร้อยละ 3/3 มิลลิเมตร สำหรับพลังงาน 6 เมกะโวลต์ที่ไม่ใช้ตัวกรองปรับเรียบ.....	65
36 ผลการเปรียบเทียบการกระจายปริมาณรังสีของอัลกอริทึม CCC ที่วิเคราะห์ด้วยค่าดัชนีเกณฑ์มาร้อยละ 3/3 มิลลิเมตร สำหรับพลังงาน 6 เมกะโวลต์ที่ไม่ใช้ตัวกรองปรับเรียบ.....	66
37 ผลการเปรียบเทียบการกระจายปริมาณรังสีของอัลกอริทึม AAA ที่วิเคราะห์ด้วยค่าดัชนีเกณฑ์มาร้อยละ 3/3 มิลลิเมตร สำหรับพลังงาน 10 เมกะโวลต์ที่ไม่ใช้ตัวกรองปรับเรียบ.....	66
38 ผลการเปรียบเทียบการกระจายปริมาณรังสีของอัลกอริทึม CCC ที่วิเคราะห์ด้วยค่าดัชนีเกณฑ์มาร้อยละ 3/3 มิลลิเมตร สำหรับพลังงาน 10 เมกะโวลต์ที่ไม่ใช้ตัวกรองปรับเรียบ.....	67
39 (ก) ตัวอย่างการกระจายปริมาณรังสีบนภาพเอกซเรย์คอมพิวเตอร์ของผู้ป่วยในแนว Axial และ (ข) ตัวอย่าง graf Dose Volume Histograms (DVH) ของเครื่องคอมพิวเตอร์วางแผนการรักษาฐานเรย์สเตรน.....	68
40 (ก) และ (ข) ตำแหน่งของก้อนมะเร็งของผู้ป่วยที่มีผลต่อการเกิด Major deviation สำหรับ $R_{50\%}$ ของผู้ป่วยรายที่ 1 (ค) สำหรับผู้ป่วยรายที่ 3 (ง) สำหรับผู้ป่วยรายที่ 6 (จ) สำหรับผู้ป่วยรายที่ 7 (ฉ) สำหรับผู้ป่วยรายที่ 15	70
41 ตำแหน่งของก้อนมะเร็งของผู้ป่วยรายที่ 10 ที่มีผลต่อการเกิด Major deviation สำหรับ $V_{20\%}$ ของปริมาณรังสีที่ปอด.....	71
42 (ก) การวางแผน Solid water phantom ที่ระยะ SSD 100 เซนติเมตร (ข) การติดตั้งหุ่นจำลอง Solid water phantom สำหรับการฉายรังสีบนฟิล์ม.	95
43 (ก) กราฟความสัมพันธ์ระหว่างค่าปริมาณรังสีและค่าความด้านฟิล์ม (OD) ของพลังงาน 6 เมกะโวลต์ ที่ไม่ใช้ตัวกรองปรับเรียบ (ข) กราฟความสัมพันธ์ระหว่างค่าปริมาณรังสีและค่าความด้านฟิล์ม (OD) ของพลังงาน 10 เมกะโวลต์ ที่ไม่ใช้ตัวกรองปรับเรียบ	96

ຂໍ້ມູນຫຍ່ອ

CCC	=	Collapsed Cone Convolution algorithm
AAA	=	Anisotropic Analytical Algorithm
TPS	=	Treatment Planning System
MLC	=	Multileaf Collimator
FFF	=	Flattening Filter Free
MV	=	Megavoltage
SBRT	=	Stereotactic body radiotherapy
NSCLC	=	Non-small cell lung cancer
FS	=	Field size
TPS 430	=	Technical Report Series 430 Commissioning and quality assurance of computerized planning systems for radiation treatment of cancer
Gy	=	Gray (SI : Joule/Kilogram)
VMAT	=	Volumetric modulated arc radiotherapy
RTOG 0813	=	Radiation therapy oncology group 0813
SSD	=	Source to surface distance
SAD	=	Source axis distance
BEV	=	Beam eye view
DVH	=	Dose volume histogram
IC	=	Ionization chamber
PTV	=	Planning target volume
OAR	=	Organ at risk
MU	=	Monitor unit

บทที่ 1

บทนำ

ความเป็นมาของปัญหา

ในปัจจุบันการรักษาโรคมะเร็งปอดด้วยการฉายรังสี ได้นำมาใช้กันอย่างแพร่หลาย โดยเฉพาะอย่างยิ่งเทคนิคที่เรียกว่าการฉายรังสีร่วมพิกัดบริเวณลำตัว (Stereotactic body radiotherapy: SBRT) ซึ่งเป็นเทคนิคการการฉายรังสีบริเวณสูง 6-30 เกรย์ ต่อ 1-5 ครั้ง ที่บริเวณรอยโรคทำให้การควบคุมรอยโรคได้ดีใกล้เคียงกับการผ่าตัด หมายความว่ามะเร็งปอดที่มีขนาดไม่เกิน 5 เซนติเมตร ที่มีขอบเขตของรอยโรคชัดเจน เช่น ใน การรักษามะเร็งปอดชนิดเซลล์ตัวโต (Non-small cell lung cancer: NSCLC) [1] ซึ่งการรักษาด้วยเทคนิคดังกล่าวมีการใช้ระดับพลังงาน 6 และ 10 เมกะโวลด์ที่ไม่ใช้ตัวกรองปรับเรียบ (Flattening filter free: FFF) [7] เพื่อเพิ่มประสิทธิภาพในการรักษาสามารถให้อัตราปริมาณรังสีสูง (High dose rate) ทำให้ลดระยะเวลาในการฉายรังสีให้กับผู้ป่วย นอกจากนี้เทคนิค SBRT เป็นการฉายรังสีบนพื้นที่ฉายรังสี (Field size) ที่มีขนาดเล็กกว่า 10x10 ตารางเซนติเมตร ซึ่งทำให้อวัยวะปกติใกล้เคียงได้รับผลกระทบรังสีน้อยลง อย่างไรก็ตามบริเวณปอดมีความหนาแน่นของอิเล็กตรอนในแต่ละเนื้อเยื่อที่ต่างกันค่อนข้างมาก จึงเป็นปัญหาที่พบในการคำนวณปริมาณรังสีของระบบวางแผนการรักษาที่มีผลต่อความถูกต้องของการกระจายของอิเล็กตรอนทุติยภูมิในการคำนวณปริมาณรังสี ในปัจจุบันได้มีการพัฒนา อัลกอริทึมสำหรับการคำนวณปริมาณรังสีในระบบคอมพิวเตอร์วางแผนการรักษาในบริเวณที่มีความซับซ้อนดังกล่าวและใช้กันเป็นส่วนใหญ่ คืออัลกอริทึม Anisotropic analytical algorithm (AAA) ของระบบวางแผนการรักษาอิคลิปส์ และด้วยสถาบันที่ใช้ในการศึกษาวิจัยในครั้งนี้ได้ติดตั้ง ระบบคอมพิวเตอร์วางแผนการรักษาใหม่คือระบบวางแผนการรักษาเรย์สเตชั่น โดยใช้อัลกอริทึม Collapsed cone convolution (CCC) ซึ่งจำเป็นต้องการทราบความถูกต้องของอัลกอริทึมดังกล่าว ก่อนนำไปใช้ในการวางแผนการรักษากับผู้ป่วย ขอบเขตงานของการวิจัยครั้งนี้จึงได้ทำการศึกษา ข้อมูลย้อนหลังเกี่ยวกับตำแหน่งและขนาดของก้อนมะเร็งระยะแรกของผู้ป่วย ที่ทำการรักษาด้วย เทคนิค SBRT ที่คำนวณปริมาณรังสีด้วยอัลกอริทึม AAA จากนั้นจึงทำการทดสอบความถูกต้อง ของระบบคอมพิวเตอร์วางแผนการรักษาเรย์สเตชั่นก่อนการใช้ในทางคลินิก (Commissioning treatment planning system) โดยการเปรียบเทียบปริมาณรังสีที่คำนวณได้จากระบบวางแผนการ รักษาและการวัดโดยใช้หัววัดรังสีไอโอดีนชั้นชนิด FC65G ในหุ่นจำลองที่มีเนื้อเยื่อเดียวกันและ มีเนื้อเยื่อต่างกัน ซึ่งวิเคราะห์ผลจากความต่างของปริมาณรังสีแบบจุด (Point dose) ข้างต้นจาก

TPS 430 และ IAEA TECDOC 1583 ตามลำดับ จากนั้นได้เพิ่มการทดสอบความถูกต้องของปริมาณรังสีที่คำนวณจากทั้ง 2 อัลกอริทึมเทียบกับการวัดปริมาณรังสีในตัวกลังที่มีเนื้อเยื่อต่างกัน (IMRT thorax phantom) ด้วยฟิล์มนิวเคลียร์ฟลูออโรแกรมที่ประเมินด้วยอัตราการผ่านแกมมา ร้อยละ 3/3 มิลลิเมตร ที่ระดับร้อยละอัตราการผ่านแกมมา 90 [53] และประเมินแผนการรักษาระหว่างคำนวณด้วยอัลกอริทึม CCC ในผู้ป่วย 17 ราย และการคำนวณใหม่ด้วยอัลกอริทึม AAA โดยกำหนดลักษณะการปิดเปิดของวัตถุกำบังรังสี (multileaf collimator, MLC) และใช้มอนิเตอร์ยูนิต (MU) เพื่อกับการคำนวณปริมาณรังสีด้วยอัลกอริทึม CCC ประเมินด้วยมาตรฐาน RTOG 0813

จุดมุ่งหมายของการวิจัย

เพื่อตรวจสอบความถูกต้องของการคำนวณปริมาณรังสีของอัลกอริทึม AAA และ CCC สำหรับการฉายรังสีร่วมพิกัดบริเวณปอด (Lung SBRT) ที่ระดับพลังงาน 6 และ 10 เมกะโวลต์ที่ไม่ใช้ตัวกรองปรับเรี่ยบ

ขอบเขตของการวิจัย

- ศึกษาข้อมูลขนาดและตำแหน่งของก้อนมะเร็งระยะแรกของผู้ป่วยที่ทำการรักษาด้วยเทคนิค SBRT และมีการคำนวณปริมาณรังสีด้วยอัลกอริทึม AAA ในระบบวางแผนการรักษาอิคลิปส์ (Eclipse Treatment Planning System: Eclipse TPS) ในปี 2553-2559
- ตรวจสอบความถูกต้องของปริมาณรังสีสำหรับอัลกอริทึม AAA ในระบบวางแผนการรักษาอิคลิปส์และอัลกอริทึม CCC ในระบบวางแผนการรักษาเรย์สเตชัน (Commissioning Treatment Planning System) ในหุ่นจำลองที่มีเนื้อเยื่อเดียวกันและมีเนื้อเยื่อต่างกันโดยวัดปริมาณรังสีแบบจุดด้วยหัววัดไอโอดีโน๊เซ็นเซอร์ชนิดเกลล์โซเฟอร์ฟามอร์เจปี 65 จี
- ตรวจสอบความถูกต้องของการกระจายปริมาณรังสีที่คำนวณจากสองอัลกอริทึมด้วยเทคนิค VMAT เทียบกับปริมาณรังสีที่วัดด้วยฟิล์มนิวเคลียร์ฟลูออโรแกรมที่มีเนื้อเยื่อต่างกัน
- ประเมินแผนการรักษาที่คำนวณด้วยอัลกอริทึม CCC และ AAA ของผู้ป่วย 17 ราย ข้างต้นโดยมาตรฐาน RTOG 0813

สมมติฐานของการวิจัย

การคำนวณปริมาณรังสีของอัลกอริทึมชนิด AAA และ CCC สำหรับการฉายรังสีร่วมพิกัดบริเวณปอดที่พลังงาน 6 และ 10 เมกะโวลต์ที่ไม่ใช้ตัวกรองปรับเรี่ยบอยู่ในเกณฑ์มาตรฐาน

บทที่ 2

เอกสารและงานวิจัยที่เกี่ยวข้อง

ทฤษฎีพื้นฐาน

มะเร็งปอดชนิดเซลล์ตัวโต (Non-small cell lung cancer หรือ NSCLC)

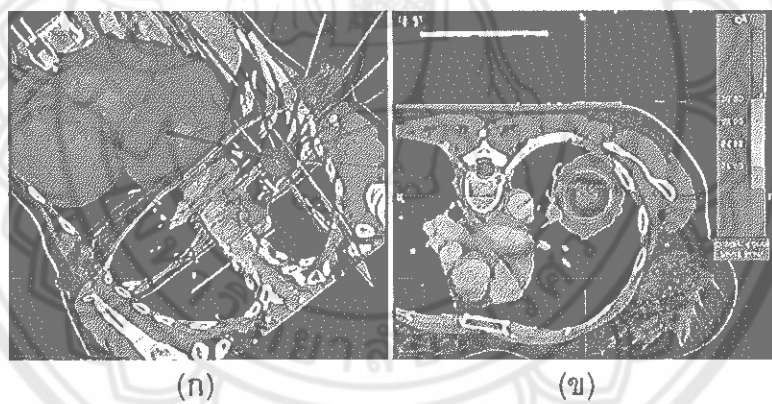
มะเร็งปอดชนิดเซลล์ตัวโตเป็นมะเร็งปอดชนิดที่เกิดจากเซลล์เยื่อบุผิวของหลอดลมในปอด ซึ่งเป็นมะเร็งที่จัดอยู่ในกลุ่มมะเร็ง Casinoma และเป็นมะเร็งปอดชนิดที่พบได้บ่อยที่สุด โดยพบได้ประมาณร้อยละ 80-90 ของมะเร็งปอดทุกชนิด โดยมะเร็งปอดชนิดเซลล์ตัวโตเป็นโรคมะเร็งที่มักพบในอายุตั้งแต่ 35 ปีขึ้นไป พบรูปในผู้ชายสูงกว่าในผู้หญิงประมาณ 2-3 เท่า มะเร็งปอดชนิดเซลล์ตัวโตเป็นมะเร็งที่พบได้บ่อยที่สุด โดยมีสถิติแตกต่างกันไปขึ้นกับแต่ละประเทศคือประมาณ 1 ถึงมากกว่า 100 รายต่อประชากร 1 แสนคน ทั้งนี้ในประเทศไทยไม่มีรายงานแยกชนิดของมะเร็งปอด แต่เป็นรายงานรวมมะเร็งปอดทุกชนิด โดยในปี พ.ศ. 2544 - 2546 ในผู้ชายพบได้ 24.9 รายต่อประชากร 1 แสนคน ในผู้หญิงพบได้ 9.7 รายต่อประชากร 1 แสนคน [2]

การฉายรังสีร่วมพิกัด (Stereotactic radiotherapy)

การฉายรังสีร่วมพิกัดเป็นวิธีการฉายรังสีชนิดหนึ่ง ซึ่งจะรวมลำรังสีไปยังก้อนเนื้องอกหรือมะเร็งเป้าหมายโดยต้องอาศัยการใช้ภาพเอกซเรย์คอมพิวเตอร์และ/หรือเครื่องกินิจฉัยด้วยคลื่นแม่เหล็กไฟฟ้า (MRI) เพื่อกำหนดตำแหน่งเป้าหมายการฉายรังสี วิธีนี้ต้องมีการจัดตำแหน่งการรักษาที่แม่นยำเพื่อลดความคลาดเคลื่อน ซึ่งการฉายรังสีร่วมพิกัดแบ่งได้ดังนี้

1. รังสีศัลยกรรมร่วมพิกัด (Stereotactic Radiosurgery: SRS) เป็นการฉายรังสีแบบครั้งเดียวโดยให้ปริมาณรังสีสูงมากเพียงครั้งเดียวที่ก้อนเนื้องอกหรือมะเร็งเป้าหมาย หรือไส้สันหลัง
2. รังสีร่วมพิกัด (Stereotactic radiotherapy: SRT) การฉายรังสีปริมาณสูงที่ก้อนเนื้องอกหรือมะเร็งเป้าหมาย หรือไส้สันหลัง เช่นเดียวกับ SRS แต่ให้ปริมาณรังสีสูงต่อการฉายรังสี 1-5 ครั้ง
3. รังสีร่วมพิกัดบิวตี้ ลำตัว (Stereotactic body radiation therapy: SBRT) เป็นการฉายรังสีปริมาณสูงที่ก้อนมะเร็งบิวตี้โดยลักษณะทิศทางการเข้าลำรังสีแสดงดังแสดงในภาพ 1(g) และการกระจายปริมาณรังสีแสดงดังภาพ 1(x) โดยใช้การฉายรังสี 6-30 เกรวตต์ต่อ 1-5 ครั้ง [3] การฉายรังสีร่วมพิกัดชนิด SBRT เหมาะสำหรับเนื้องอกขนาดเล็ก โดยแพทย์ใช้ภาพ CT หรือ MRI ในการประเมินตำแหน่งที่ต้องการฉาย และมีอุปกรณ์จัดท่าผู้ป่วย เพื่อให้มีการเคลื่อนไหวน้อยที่สุดในขณะฉายรังสี หรือเครื่องฉายรังสีอาจสามารถปรับช่วงการฉายแสงตามกา

เคลื่อนไหวของผู้ป่วย เช่น การหายใจ จากเทคนิคเหล่านี้ทำให้แพทย์สามารถให้ปริมาณรังสีต่อครั้ง ในปริมาณสูงแก่ผู้ป่วยด้วยการฉายรังสีเพียง 1-5 ครั้ง ซึ่งเมื่อเปรียบเทียบกับการฉายรังสีแบบปกติ ที่ต้องใช้เวลารักษาหลายสัปดาห์ ซึ่งข้อดีของ SBRT คือสามารถฉายรังสีปริมาณสูงที่ก้อนเนื้อ มะเร็งภายในระยะเวลาสั้นกว่าการฉายรังสีแบบปกติ นอกจากนี้ยังเป็นการฉายรังสีที่มีความถูกต้อง แม่นยำสูง และมีความคลาดเคลื่อนต่ำ ผลกระทบต่อเนื้อเยื่อปกติข้างเคียงจึงน้อยกว่าการฉายรังสีปกติ การฉายรังสีร่วมพิกัด ประกอบด้วย 1) การใช้ลำรังสีขนาดเล็กหลาย ๆ ลำ 2) เนื้อมะเร็งที่ต้องการฉายมีขนาดเล็กและขอบเขตชัดเจน 3) มีเครื่องช่วยจัดท่าผู้ป่วยระหว่างฉายรังสี เพื่อลดการเคลื่อนไหวขณะฉายรังสี และ 4) ปริมาณรังสีต่อครั้งสูงในขณะที่จำนวนครั้งในการฉายรังสีน้อย เช่น บริเวณทรวงอก ซองห้อง หรืออุ้งเชิงกรานที่ไม่สามารถผ่าตัด หรือรักษาด้วยการฉายรังสีแบบปกติไม่ได้ รวมทั้งมะเร็งที่มีการแพร่กระจายอย่างปอดหรือตับ อย่างไรก็ตามการใช้การฉายรังสีร่วมพิกัดจำเป็นต้องพิจารณาความเหมาะสมโดยพิจารณาถึงประโยชน์และความเสี่ยงที่อาจเกิดขึ้น [4]



ภาพ 1 (ก) ลักษณะการวางแผนการรักษาสำหรับการฉายรังสีร่วมพิกัดบริเวณปอด และ (ข) ลักษณะของการกระจายปริมาณรังสีในแนวภาคตัดขวาง [5]

ลำรังสีในช่วงพลังงานเมกะโวลต์ที่ไม่ใช้ตัวกรองปรับเรียน

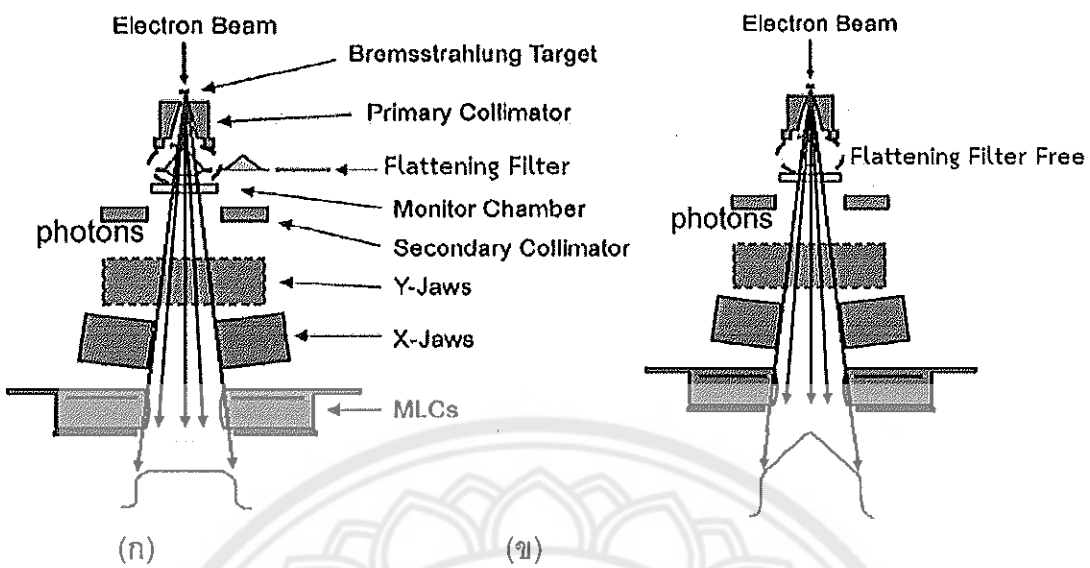
ลำรังสีไฟฟ่อนเกิดจากการระดมยิงเบ้าหมายที่มีเลขอะดอมสูงด้วยอิเล็กตรอนพลังงานสูง ซึ่งผลของลำรังสี megavoltage bremsstrahlung แสดงผลในรูปทรงระฆังที่มีความเข้มสูงสุดที่ตรงกลาง โดยความเข้มที่มีความสม่ำเสมอลดลงทันทีจากรังสีในเครื่องเร่งอนุภาคโดยทั่วไปนั้น ได้มาจากกระบวนการตัวกรองแบบเรียบ (Flattening filter) เข้าไปในลำรังสี อย่างไรก็ตามการรักษาด้วยรังสีสมัยใหม่ในปัจจุบันใช้เทคนิคการปรับความเข้มของลำรังสี เพื่อให้การกระจายปริมาณครอปคลูมก้อนมะเร็งมากขึ้น ในการนี้ เช่นนี้ตัวกรองแบบเรียบจะไม่จำเป็นในกระบวนการการผลิต

ลำรังสีสำหรับพื้นที่ฉายรังสีขนาดเล็ก (Small field) เช่น ใช้กับเทคนิค Stereotactic เนื่องจาก ลักษณะลำรังสีสำหรับ Small field ค่อนข้างเรียบเนื่องจากขนาดเพียงไม่ถึงหนึ่งตัวเมตร ดังนั้น ไม่จำเป็นต้องมีตัวกรองแบบเรียบ

ลำรังสีที่ไม่ใช้ตัวกรองปรับเรียบมีผลลัพธ์ที่มีประสิทธิภาพลดลง เช่นเดียวกับ Beam profile ที่มี peak ตรงกลางที่แตกต่างจากลำรังสีที่มีตัวกรองปรับเรียบ แต่รูปร่างโปรดไฟล์กับ Output ที่เพิ่มขึ้น (เพิ่มขึ้น 2-4 เท่า) ส่งผลให้ลำรังสีที่ไม่ใช้ตัวกรองปรับเรียบ มีประสิทธิภาพมากใน การรักษาเน้าหมายขนาดเล็กโดยใช้ Radiosurgery stereotactic (SRS) และ SBRT [6] ยิ่งไปกว่า นั้นการนำตัวกรองแบบเรียบออกน้ำไปสู่การลดการรั่วไหลของรังสีที่หัวเครื่องเร่งอนุภาคเชิงเส้น มากกว่าครึ่งและส่งผลให้ปริมาณรังสีที่อยู่บนอกของตัวผู้ป่วยโดยรวมลดลง ซึ่งปริมาณรังสีรอบ นอกจะมากขึ้นเมื่อผลลัพธ์งานสูงขึ้น [7]

การใช้งานทางคลินิกของลำรังสีที่ไม่ใช้ตัวกรองปรับเรียบนั้นถูกนำมาใช้เพื่อจะลด ระยะเวลาในการฉายรังสีให้กับผู้ป่วยเป็นเวลาของการรักษาด้วยเทคนิค SRS เนื่องจากการนำ ตัวกรองปรับเรียบออกจะช่วยเพิ่มอัตราปริมาณรังสี (Dose rate) ทำให้ความเข้มเพิ่มขึ้น 2-4 เท่า จึงเป็นประโยชน์อย่างยิ่งสำหรับการฉายรังสีร่วมพิกัดบริเวณศีรษะ และ หรือสำหรับการฉายรังสี ร่วมพิกัดบริเวณลำตัว (SBRT) เทคนิคโดยที่ไม่ใช้ตัวกรองปรับเรียบ ถูกนำมาใช้งานในทางคลินิกมา นานหลายปีแล้วโดยเริ่มจาก Scanditronix racetrack microtron MM50 [8, 9] นอกจากนี้ยังมี เครื่องเร่งอนุภาคความเร็วเชิงเส้นที่ตัดตัวกรองแบบเรียบออกไปคือ TomoTherapy รวมถึงเครื่อง CyberKnife [10, 11, 12] ดังนั้นเครื่องเร่งอนุภาคเชิงเส้นในปัจจุบันจึงมีผลลัพธ์งานที่ไม่ใช้ตัวกรอง ปรับเรียบรวมทั้งเป็นมาตรฐานในเครื่องเร่งอนุภาค

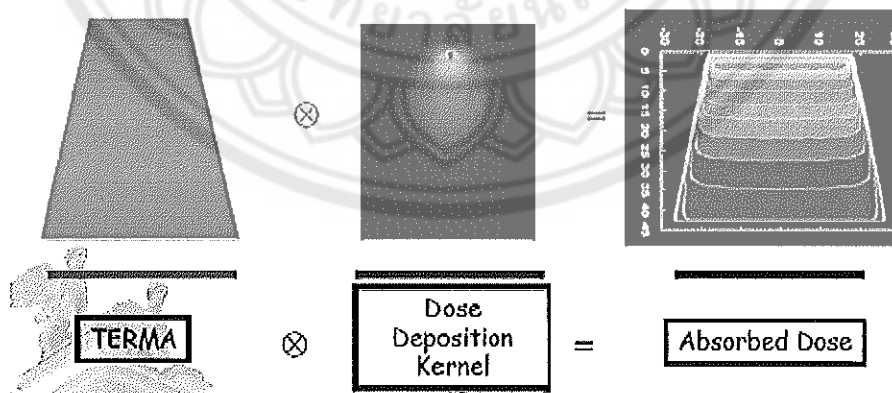
ลำรังสีที่ไม่ใช้ตัวกรองปรับเรียบมีลักษณะที่แตกต่างกันค่อนข้างมากเมื่อเทียบกับลำรังสี ที่ใช้ตัวกรองแบบเรียบ คือมีลักษณะลำรังสี (Beam profile) ที่แตกต่างกันและอัตราปริมาณรังสี (Dose rate) ที่สูงกว่า นอกจากนี้ยังมีสเปกตรัมของพลังงานไฟฟอนและคุณสมบัติของ Scatter ที่หัวเครื่องเร่งอนุภาคมีความแตกต่างกัน รวมถึงคุณสมบัติของลำรังสีที่มีความคงดั้งเดิมกว่า การกระจายของ Secondary electron จากหัวเครื่องเร่งอนุภาคน้อยกว่าและปริมาณรังสีที่อยู่นอก พื้นที่ฉายรังสีน้อยกว่าการตอบสนองของการวัดปริมาณรังสีที่เพิ่มการรวมตัวกันโดยอ่อน และอาจ เป็นไปได้ในการช่วยในเรื่องของผลทางรังสีที่มีต่อสิ่งมีชีวิต (Radiobiology)



ภาพ 2 (ก) ไดอะแกรมของตำแหน่งตัวกรองปรับเรียบและไปร์ไฟล์ของลำรังสีที่ใช้ตัวกรองปรับเรียบ และ (ข) สำหรับลำรังสีที่ไม่ใช่ตัวกรองปรับเรียบ

ອັດກອຣີທຶນສໍາຫຼັບການຄ້ານວຸນປະມານຮັງສື

การคำนวณปริมาณรังสีแบ่งออกเป็น 2 ส่วนหลัก ๆ คือ TERMA และ Dose kernels ซึ่งเป็นแบบจำลองในการคำนวณปริมาณรังสีดูดกลืน (Absorbed dose) ดังแสดงในภาพ 3 รวมถึง การแก้ค่าความไม่เป็นนோเรียเดียวกัน



ภาพ 3 หลักการคำนวณปริมาณรังสีตามแบบจำลอง Model based algorithms

พลังงานทั้งหมดต่อหน่วยมวล (Total energy released per unit mass: TERMA)

ปริมาณรังสีสะสม (Dose deposition) ของไฟต่อนพลังงานเดียวกับที่เป็นลำรังสีขนาดเล็ก ในทิศทางแกน z ของพลังงาน E ซึ่งฟลูเอนซ์ (Fluence) ที่ได้จะถูกจำลองอยู่ในตัวกลางที่เป็นเนื้อเดียวกัน (Homogeneity media) โดยทั่วไปนิยมใช้ตัวกลางที่เทียบเท่ากับน้ำ โดยพลังงานของฟลูเอนซ์ (Ψ : energy fluence) ของไฟต่อนปัจมุขมีลักษณะเป็นเส้นตรงตามด้วยค่าสัมประสิทธิ์การดูดกลืนรังสีไฟต่อน $\mu(E)$ ในน้ำที่จุดของการเกิดอันตรกิริยาของไฟต่อนปัจมุขมีที่ระยะ r ดังสมการที่ 1

$$\Psi(r) = \Phi(r_{\perp}, 0) E e^{-\mu E} \quad (1)$$

เมื่อ r คือพิกัดที่ตั้งจากกับทิศทางของลำรังสี โดยอัตราการเกิดอันตรกิริยาของไฟต่อนปัจมุขมีในตัวกลางกำหนดเป็น TERMA : $T(r)$ คือพลังงานทั้งหมดต่อหน่วยมวลที่ปล่อยออกมานอกจาก radiation field ที่สัมพันธ์กับความหนาแน่นของตัวกลาง ณ จุดใด ๆ ที่ระยะ r ดังสมการที่ 2

$$T(r) = \frac{\mu}{\rho}(\vec{r}) \Psi(\vec{r}) \quad (2)$$

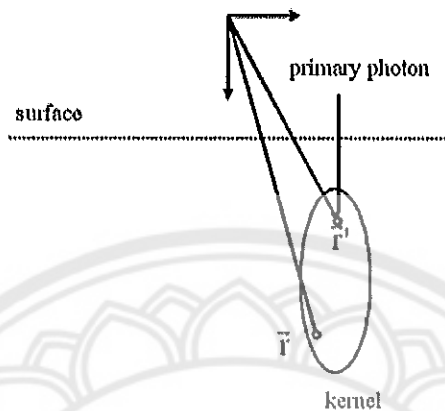
โดยพลังงานที่ปลดปล่อยออกมานอกจากใน Radiation field นี้จะส่งผ่านพลังงานจากจุดที่เกิดอันตรกิริยาที่ระยะ r ซึ่งอธิบายได้โดยแนวคิดของ Dose kernels

เคอร์เรนล (Dose kernel)

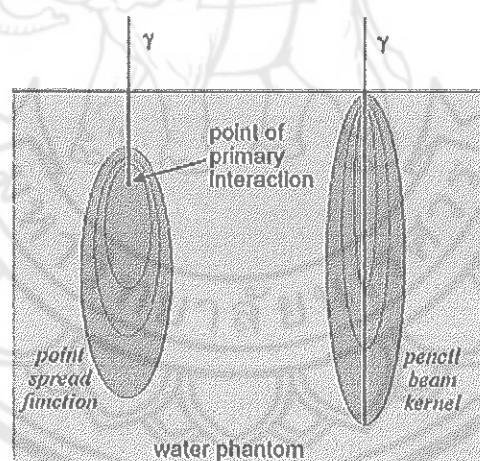
สำหรับเคอร์เรนล $k(\vec{r}, \vec{r}', E)$ ที่ใช้โดยทั่วไปในการจำลองของอัลกอริทึมพื้นฐานประกอบ 2 รูปแบบ คือ Point-spread kernel และ Pencil kernel โดยส่วนใหญ่ Point-spread kernel ถูกใช้เป็นแบบจำลองพื้นฐานสำหรับอัลกอริทึม ที่แสดงการกระจายของพลังงานที่ถูกดูดกลืนในน้ำที่พิกัด r' ณ จุดที่เกิดการทำอันตรกิริยาของไฟต่อนปัจมุขมีที่พิกัด r ซึ่งแสดงดังภาพที่ 4 โดยการสะสมปริมาณรังสีเคอร์เรนลของพลังงานเดียว (Mono-energetic dose deposition kernels) ได้มาจากการจำลองด้วยวิธีมอนติคาร์โล

ในปัจจุบันลักษณะการจำลอง Dose kernel ที่นิยมนำมาประยุกต์ใช้ในระบบคอมพิวเตอร์วางแผนการรักษาคือ Pencil beam kernel ซึ่งเกิดจากการรวมกันของ Point-spread kernels ทั้งหมดตามเส้นทางของรังสีไฟต่อนที่ผ่านอยู่ในตัวกลาง ดังแสดงในภาพที่ 5 ซึ่งการจำลองปริมาณรังสีเคอร์เรนลในน้ำตามแนวแกนกลางเป็นวิธีการสุมตัวอย่างหมายของ Point-spread kernel ดังนั้นในบริเวณที่มีความชั้บช้อนของเนื้อเยื่อจึงเป็นเรื่องยากสำหรับการคำนวณปริมาณรังสีที่ใช้เคอร์เรนลชนิด Pencil-beam แต่ในทางกลับกันการใช้แบบจำลอง Pencil-beam

ernels ถือเป็นข้อดีที่แสดงให้เห็นว่าเวลาในการคำนวณปริมาณรังสีเร็วกว่าแบบจำลอง Point-spread kernel



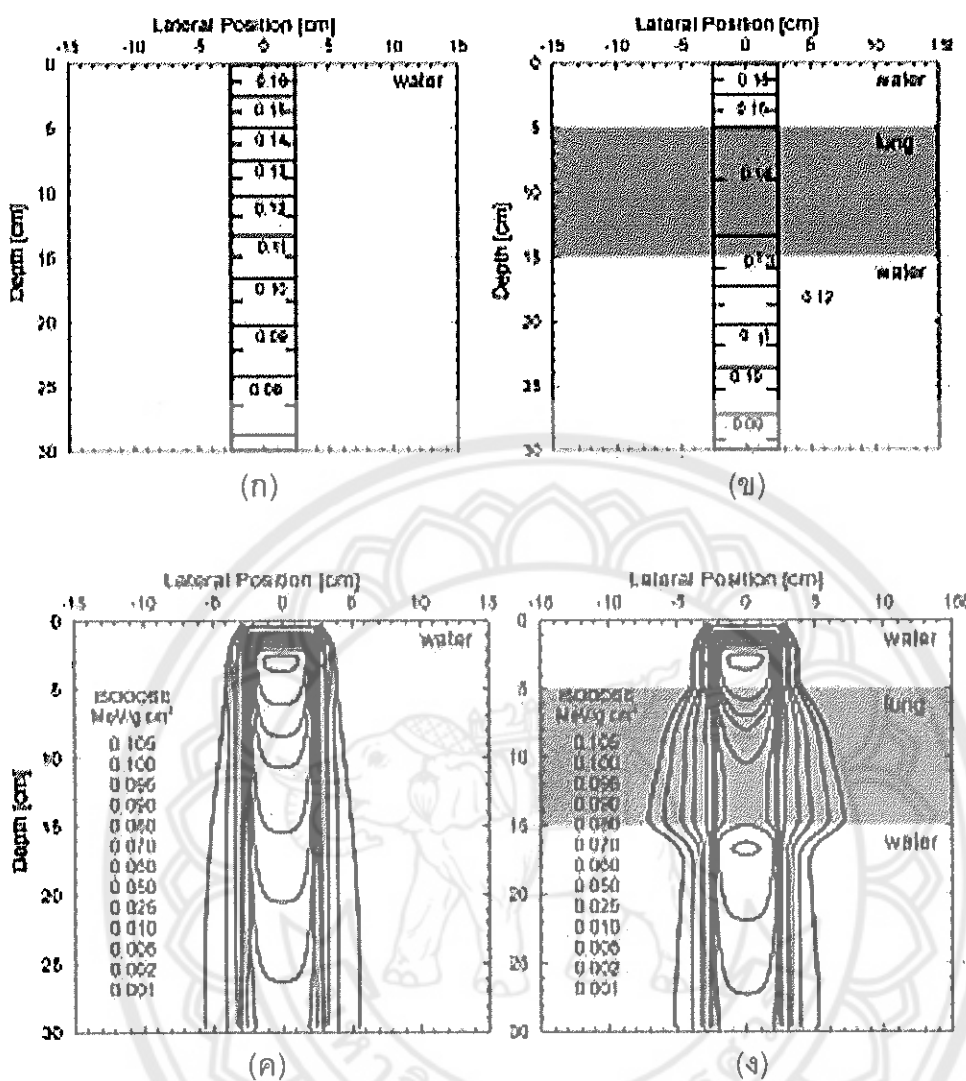
ภาพ 4 การกระจายปริมาณรังสีของ Point-spread kernel ที่จุด r' จากการทำอันตรกิริยาที่จุด r' [35]



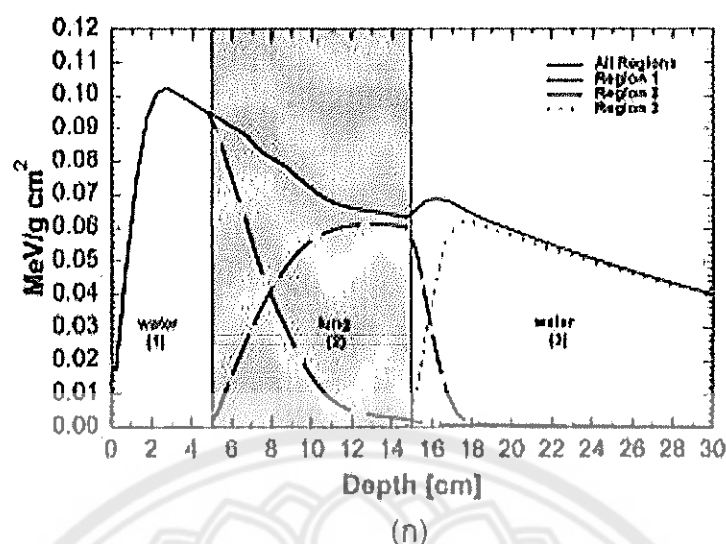
ภาพ 5 ลักษณะของ Point kernels และ Pencil-beam kernels จากการเกิดอันตรกิริยาที่จุดเริ่มต้นของรังสีปั๊มน้ำ [13]

อิทธิพลของความหนาแน่นของเนื้อเยื่อและเลขอะตอม (Influence of Tissue Density and Atomic Number) ที่ส่งผลต่อความถูกต้องของปริมาณรังสี [58]

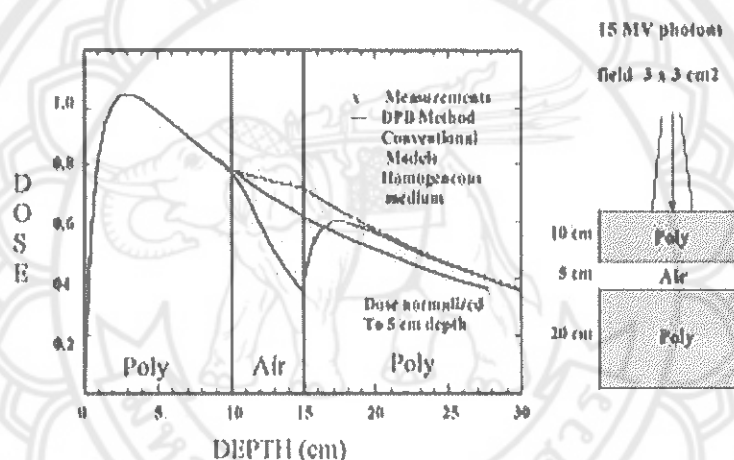
อิทธิพลของความหนาแน่นของอิเล็กตรอนต่อไฟต่อนฟลูอีโนน์และปริมาณรังสีแสดงให้เห็นอย่างเป็นอิสระในหุ่นจำลองที่มีความหนาแน่นต่ำสำหรับค่าไฟต่อนพลังงานเดียว 5 เมกะ อิเล็กตรอนโวลต์ ดังแสดงในภาพ 5 ซึ่งการเปลี่ยนแปลงการส่งผ่านไฟต่อนนั้นสามารถคำนวณได้ อย่างง่ายโดยใช้สเกลความหนาแน่นของแต่ละชั้น ดังแสดงในภาพ 6 (ก) และ 6 (ค) แต่ช่วงของ อิเล็กตรอนที่มีระยะการหดตัวนั้นมีความสำคัญต่อการส่งผ่านอิเล็กตรอนซึ่งจะถูกปล่อยออกมานอก ตัวกลางหนึ่งและถูกดูดกลืนในตัวกลางที่แตกต่างกัน โดยจะเริ่มจากการ "build-up" ของปริมาณ รังสีในร่างกายนั้นจะเกิดการ "build-down" ในบริเวณที่มีความหนาแน่นต่ำ และจะเริ่มกลับมา "rebuild-up" เมื่อเข้าสู่บริเวณที่มีความหนาแน่นเท่ากับน้ำดังแสดงในภาพ 6 (ข) และ 6 (ง) เมื่อพิจารณาเส้นกราฟของปริมาณรังสีตามความลึกได้ ๆ (depth-dose curve) ในพื้นที่ที่มีความ หนาแน่นแตกต่างกันและมีชั้นต่อชั้น เช่น ในกรณี พลังงานสูง ขนาดพื้นที่ฉายรังสีขนาดเล็ก และ ความหนาแน่นต่ำ การแก้ไขความไม่เป็นนีโอเดียร์กันของไฟต่อนฟลูอีโนน์หรือการลดทอนอาจไม่ เพียงพอดังแสดงในภาพ 7 (ก) และ 7 (ข) และนอกจากจะแสดงให้เห็นผลกระทบของความ หนาแน่นที่ค่าแกนกลางของไฟต่อนฟลูอีโนน์และปริมาณรังสีแล้ว ความหนาแน่นยังสามารถส่งผล ต่อ Beam penumbra ในเมืองที่เมืองจากการสูญเสียความสมดุลของอนุภาคประจุบวกทราบ ในแนวด้านข้าง (Transient charge particle equilibrium) ของขอบพื้นที่ฉายรังสี ดังนั้นขอบของ ลำรังสีจะเบลอในบริเวณที่มีความหนาแน่นต่ำเนื่องจากการเคลื่อนที่ในแนวด้านข้างของอนุภาค ประจุเพิ่มขึ้นดังที่แสดงในภาพ 6



ภาพ 6 (ก) และ (ค) ฟลูเอนซ์และการกระจายปริมาณรังสีของไฟต่อนพลังงานเดี่ยว 5 เมกะอิเล็กตรอนโวลต์ที่ขนาดพื้นที่จายรังสี 5×5 ตารางเซนติเมตร ในหุ่นจำลอง Water phantom และ (ก) และ (ง) หุ่นจำลองที่ใส่วัสดุที่เทียบเท่ากับปอด [58]



(ก)



(ข)

ภาพ 7 (ก) กราฟของปริมาณรังสีตามความลึกได้ๆ (depth-dose curve) ในพื้นที่ที่มีความหนาแน่นแตกต่างกันและมีชั้นช้อน เช่น ในกรณี พลังงานสูง ขนาดพื้นที่จ่ายรังสีขนาดเล็ก และความหนาแน่นต่ำ และ (ข) ผลของการเกิดความไม่สมดุลทางอนุภาคประจุที่เกิดจากบริเวณใกล้รอยต่อของตัวกลางที่มีความหนาแน่นต่างกัน ในขนาดพื้นที่จ่ายรังสีและช่วงของอิเล็กตรอนเท่ากัน [58]

อัลกอริทึมสำหรับการคำนวณปริมาณรังสีในบริเวณที่มีเนื้อเยื่อต่างกัน มีการพัฒนาเพื่อลดความผิดพลาดของการคำนวณปริมาณรังสีในบริเวณดังกล่าวเนื่องจากมีปัญหาในการคำนวณที่บริเวณรอยต่อของเนื้อเยื่อที่มีความหนาแน่นของอิเล็กตรอนที่ต่างกัน หรือบริเวณที่มีความหนาแน่นต่ำ (Low density) เช่น ปอด ซึ่งบริเวณนี้ส่งผลทำให้เกิดการขาดสมดุลทางอิเล็กทรอนิกส์

(Loss of electronic equilibrium) ทำให้การคำนวณปริมาณรังสีมีความยากและซับซ้อน จึงมีการพัฒนาอัลกอริทึมที่สามารถคำนวณรังสีในบริเวณที่มีความหนาแน่นต่างกันได้อย่างถูกต้องมากขึ้น ซึ่งอัลกอริทึมนี้นิยมใช้ในปัจจุบันสำหรับการคำนวณปริมาณรังสีในบริเวณที่ไม่เป็นเรียบเดียว กันคือ Anisotropic analytical algorithm (AAA) ซึ่งอยู่ในระบบวางแผนการรักษาของ อิคลิปส์และ Collapsed cone convolution algorithm (CCC) ซึ่งอยู่ในทั้งระบบวางแผนการรักษาของ เรย์สเตชั่น ระบบวางแผนการรักษาพินนาเคิล และระบบวางแผนการรักษาของ Tomotherapy เป็นต้น

1. อัลกอริทึมแอนิสโตรปิก convolution (AAA)

อัลกอริทึม AAA เป็นอัลกอริทึมแบบ 3D pencil beam superposition-convolution algorithm ซึ่งคำนวณปริมาณรังสีด้วยการจำลองไฟต่อนปฐมภูมิและการรวมเจิงของไฟต่อน (Primary and scattered extra-focal photons) ตลอดจนการรวมเจิงของอิเล็กตรอนที่เกิดจาก คออลิเมเตอร์ด้วยวิธีการมองติคาว์โล โดยในอัลกอริทึมนี้ได้นำหลักการของฟังก์ชันเลขเชิงกำลังหก ในแบบจำลองเพื่อคำนวณการกระจายปริมาณรังสีในแนวต้านข้าม นอกจากนี้ยังใช้อัลกอริทึม Analytical convolution ในการลดเวลาของการคำนวณปริมาณรังสี [14]

ในทางคลินิกอัลกอริทึม AAA นั้นถูกแบ่งออกเป็นสององค์ประกอบอยู่: การกำหนดค่าและการคำนวณปริมาณรังสี ส่วนแรกถูกออกแบบมาเพื่อวับพารามิเตอร์พื้นฐานที่ จำเป็นของลำรังสี เช่น สเปกตรัมพลังงานไฟต่อนและอิเล็กตรอนซึ่งจะถูกใช้ในการคำนวณปริมาณรังสีที่เกิดขึ้นจริงในภายหลัง เพื่อธิบายองค์ประกอบที่ซับซ้อนของลำรังสี อัลกอริทึม AAA ได้ใช้ หลักแหล่งกำเนิดรังสีเพื่อจำลองลำรังสีโดยมีเพียงไฟต่อนหลักเท่านั้นที่ถูกพิจารณาว่าเป็น แหล่งกำเนิดรังสีปฐมภูมิ และในส่วนของการรวมเจิงของไฟต่อนพร้อมกับอิเล็กตรอนจะถือว่าเป็น แหล่งกำเนิดรังสีทุกภูมิที่แยกต่างหาก

สำหรับการสร้างแบบจำลองแหล่งกำเนิดรังสีปฐมภูมิ (Primary source) อัลกอริทึม AAA ได้ใช้แบบจำลอง phase space ที่ใช้พารามิเตอร์ทางกายภาพที่ได้รับในระหว่างกระบวนการ Commissioning ซึ่งในการกำหนด Energy spectrum อัลกอริทึมนี้จะดำเนินถึงคุณลักษณะของ Flattening filter และพลังงานเฉลี่ยของลำรังสีที่ขึ้นอยู่กับระยะวัสดุจากแกนกลาง (Central axis) สำหรับแบบจำลองแหล่งกำเนิดรังสีทุกภูมิจะมีแหล่งกำเนิดรังสีเสมือนที่อยู่ที่ Exit point ของ Flattening filter และรวมถึง Energy spectrum ที่ถูกปรับอัตราส่วนเพื่อให้ได้พลังงานเฉลี่ยเฉพาะ (Specified mean energy) โดยที่ไม่มีการแปรผันที่บริเวณนอกแกน (Off-axis) มาเกี่ยวข้อง

เคอร์เนลแรกเกิล (Original scatter kernels) ได้จากข้อมูลที่คำนวณล่วงหน้าจาก Monte Carlo โดย Scatter kernels ให้ข้อมูลเกี่ยวกับลักษณะการรวมเจิงของลำรังสีที่แตกต่างกัน

เนื่องจากลำรังสีที่เกิดขึ้นจริงนั้นเป็น Polyenergetic จึงมีการคำนวณเป็น Multiple monoenergetic kernels ในน้ำด้วยวิธีมอนติคาวาร์โลจาก Polyenergetic kernel ที่เป็นผลรวมค่าถ่วงน้ำหนักเฉพาะของ kernels เหล่านี้ ซึ่งในการคำนวณปริมาณรังสีจริงนั้น จะคำนึงถึงความแตกต่างระหว่างความหนาแน่นของน้ำและความหนาแน่นที่ได้จากการจำลองภาพเอกซ์เรย์คอมพิวเตอร์ (CT) โดยลำรังสีทางคลินิกแบ่งออกเป็นลำรังสีขนาดจำกัดที่มีขนาดเล็ก (Beamlets) ด้วย Multiple convolutions จากแหล่งกำเนิดแหล่งรังสีป้อมภูมิและทุติยภูมิ และในขั้นตอนสุดท้ายของการคำนวณปริมาณรังสี 3 มิติจะเสร็จสมบูรณ์โดยการรวมซ้อนทับกัน (Superposition) ของ Beamlets กล้ายเป็นปริมาณรังสี 3 มิติ (Final 3D dose calculation) [14]

การแก้ค่าความแตกต่างของตัวกลางที่มีเนื้อเยื่อต่างกัน (Heterogeneity correction) ของอัลกอริทึม AAA ประกอบด้วย 2 ส่วนคือ Lateral scatter และ Depth-directed โดยการสร้างแบบจำลองขององค์ประกอบด้านข้างโดยใช้ฟังก์ชันเอ็กโพเนนเชียลเพื่อให้เกิดความถูกต้องของ Lateral scatter สภาพแวดล้อมที่แตกต่างกัน ส่วนองค์ประกอบ Depth-directed แสดงถึงพลังงานที่สะสมได้ทั้งหมด (Total deposited energy) ซึ่งคำนวณโดยใช้ฟังก์ชันของ Lateral scatter ในแต่ละระนาบ การ Convolution ของส่วนประกอบนี้คำนึงถึงผลที่เกิดจากต่อรอยต่อเนื้อเยื่อ (Tissue interface) ด้วยระยะทางที่เพียงพอจากการอยู่ต่อของค่าความหนาแน่นสูงไปต่ำนั้นผลการคำนวณด้วยอัลกอริทึม AAA นั้นเทียบได้กับการจำลองด้วยวิธีการมอนติคาวาร์โล และด้วยเทคนิคที่มีข้อจำกัดบางประการในการวางแผนการรักษาในปอดที่มี Filed size ขนาดเล็กและพลังงานที่สูงเนื่องจากเสียสมดุลทางอิเล็กทรอนิกส์ตามแนวแกนกลาง [15] จึงมีการปรับปรุงอัลกอริทึมการคำนวณปริมาณรังสี AAA ในพื้นที่ของแบบจำลองความแตกต่างของเนื้อเยื่อและความถูกต้องของ scattered dose calculation จึงทำให้อัลกอริทึม AAA เป็นหนึ่งในอัลกอริทึมพื้นฐานที่มีความถูกต้องในการคำนวณปริมาณรังสีและยังเป็นที่นิยมใช้ในปัจจุบัน

สำหรับหลักการทางคณิตศาสตร์ของอัลกอริทึม AAA อธิบายได้โดยฟังก์ชันของการลดตอนของรังสีไฟตอนเป็นฟังก์ชันการสะสมพลังงานที่ขึ้นกับความหนาแน่น (Energy deposition density function: $I_\beta(z,\rho)$) และส่วนการกระจายของรังสีไฟตอนเป็นการกระจายตัวของเคอร์เนล ($K_\beta(x, y, z, \rho)$) ที่ได้จากการกระจายตัวของปริมาณรังสีในทิศทางด้านข้าง (Lateral dose) ซึ่งทั้งสองฟังก์ชัน I และ K ถูกกำหนดไว้ในแต่ละส่วนของ (Beamlet: β) นั่น ๆ ซึ่ง Dose distribution ที่เกิดจาก Beamlet: β ในพื้นที่ที่อยู่ในจุดที่เกิดอันตรกิริยาจะถูกคำนวณด้วยวิธีการที่เรียกว่า คอนโวลูชัน (Convolution) ดังสมการที่ 3

$$D_{\beta,ph}(\vec{X}, \vec{Y}, \vec{Z}) = \Phi_{\beta} \times I_{\beta}(z, \rho) \times \iint_{(u,v) \in Area(\beta)} K_{\beta}(u - x, v - y, z; \rho) du dv \quad (3)$$

สำหรับวิธีการคณิตลู่ชั้น เป็นการคำนวณที่ต่ำแห่งพิกัดของ beamlet ที่เกิดจากอันตรายร้ายเริ่มต้น ($\vec{X}, \vec{Y}, \vec{Z}$) โดยฟลูเอนซ์ของไฟต่อน Φ_{β} สมมติจากพื้นที่ภาคตัดขวางของ beamlet: β พังก์ชั้นของการสะสมพลังงานตามความหนาแน่น $I_{\beta}(z, \rho)$ หมายถึงปริมาณรังสีในพื้นที่เหนือแนวระนาบตามขวางของ Pencil beam ที่ความลึก z โดยพังก์ชั้น Polyenergetic $I_{\beta}(z, \rho)$ ซึ่งอยู่กับสเปกตรัมของลำรังสีไฟต่อนที่ได้จากการสะสมพลังงานค่าเดียว (Monoenergetic) ด้วยวิธีการ superposition ที่คำนวณໄว้ล่วงหน้า ซึ่งความหนาแน่นของพังก์ชั้นการสะสมพลังงาน $I(z, \rho)$ จะคำนึงถึงตัวกลางที่มีเนื้อเยื่อต่างกันโดยใช้แนวความคิดในการปรับขนาดรังสี โดยกำหนดค่า $I(z, \rho) = I(z')$ เมื่อ z' คือความลึกของรังสี หาได้ดังสมการที่ 4

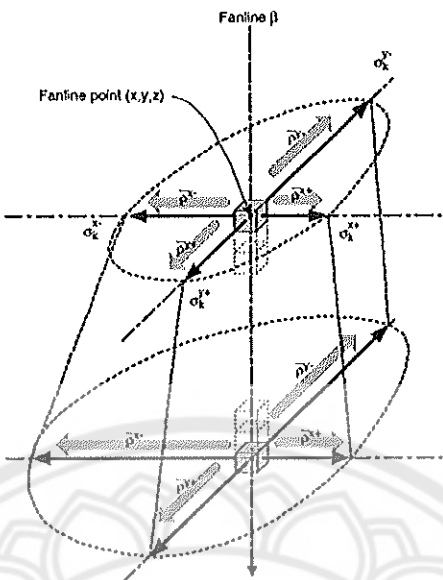
$$z' = \int_0^Z \frac{\rho(t)}{\rho_{water}} dt \quad (4)$$

เมื่อ ρ คือ ความหนาแน่นของอิเล็กตรอน

โดยเครอร์เนลของไฟต่อน $K_{\beta}(x, y, z, \rho)$ ประกอบด้วยค่าผลรวมถ่วงน้ำหนักของสี่พังก์ชั้น Gaussian ดังแสดงในสมการที่ 5

$$K_{\beta}(x, y, z, \rho) = \sum_{k=0}^3 c_k(z) \frac{1}{\pi \sigma_k^2(z)} \exp \left[-\frac{x^2 + y^2}{\sigma_k^2(z)} \right] \quad (5)$$

เครอร์เนลเกาส์เตียน (Gaussian kernels) เป็นเครอร์เนลที่กำหนดด้วย weighting ของสี่เครอร์เนลเกาส์เตียน โดยพารามิเตอร์ชั้งต้นของการกระจายเครอร์เนล $K_{\beta}(x, y, z, \rho)$ จะถูกกำหนดโดยการใช้วิธีมอนติคาวิโลในการคำนวณการกระจายของเครอร์เนลและสเปกตรัมของลำรังสีไฟต่อน พลังงานเดียว ซึ่งมีลักษณะเป็นมาตราฐาน σ_k ดังแสดงในภาพ 8



ภาพ 8 แบบจำลองการกระจายปริมาณรังสีแบบ Density scaling for photon scatter [16]

สำหรับการสเกลความหนาแน่นสำหรับเคอร์เนล (Density scaling for photon scatter kernels) ทำโดยการแยกตามทิศทางด้านข้างทั้งสี่ด้านที่ขึ้นกับความหนาแน่นเฉลี่ยและความลึก ตามทิศทางดังกล่าว ซึ่งการกระจายของเคอร์เนล (σ_k) จะถูกกำหนดด้วยของค่าประกอบของตัวกลางที่ เทียบเท่ากับน้ำ ซึ่งค่า σ_k ในตัวกลางที่ไม่เป็นเนื้อเดียวกันในสมการที่ 8 จะถูกแทนที่ด้วยความ หนาแน่นที่สเกลเป็นค่า σ_k^{-d} ($k \neq 0$) ในระหว่างการคำนวณการกระจายปริมาณรังสี σ_k ตามแนว เส้นผ่านศูนย์กลางจากระดับความลึก z_0 ถึง z_n ที่มีความหนาแน่นที่ต่างกัน แตะยะสั้นๆ σ_0 จะไม่ได้ถูกสเกล ซึ่งการสเกลค่าความหนาแน่นยังพิจารณาถึงความไม่เป็นเนื้อเดียวกันใน voxels ที่ใกล้กัน ดังนั้น σ_k จะถูกสเกลแยกจากกันสำหรับความหนาแน่นทั้งสี่ทิศทางหลักด้านข้าง ซึ่งถูก กำหนดด้วย $d \in \{+, -x, +y, -y\}$ ดังแสดงในภาพที่ 5 ค่าการกระจายของเคอร์เนล σ_k จะถูกสเกล ตามค่าเฉลี่ยของความหนาแน่น ρ_d ที่คำนวณจากทางที่มีผลต่อ σ_k ตามแนวทิศทางด้านข้าง d ในสมการที่ 6

$$\bar{\sigma}_k^d(z_n) = \sigma_k(z_n) \times \left(\frac{\rho_{\text{water}}}{\rho^{-d}(z_n)} \right) \text{ for } d \in \{x+, -x, y+, -y\} \quad (6)$$

ดังนั้นโดยภาพรวมแล้วไฟต่อนที่กระจายอยู่ในบริเวณที่ไม่เป็นเนื้อเดียวกันจึงถูกจำลอง ตามหลัก ศวีริพยาโดยการสเกลขนาดของเคอร์เนลที่กระจายไปในทุกทิศทาง และลักษณะสำคัญ ของเคอร์เนลแบบเก้าส์เรียน คือเป็นโมเดลที่สมบูรณ์และนำไปใช้กับการแสดงผลรวมของ

พึงรับค่า ความผิดพลาด ซึ่งเครื่องนelderังกล่าวจะช่วยให้วิธีการคอนโวจูชั่นสามารถลดเวลาในการคำนวณการกระจายตัวของปริมาณรังสีลงได้

2. อัลกอริทึมคอลแลปส์คอนคอนโวจูชั่น (CCC)

จากปัญหาที่พบในวิธีการซ้อนทับ (Superposition method) คือใช้เวลาในการคำนวณปริมาณรังสีเป็นเวลานานซึ่งอาจใช้เวลาหลายชั่วโมงสำหรับเทคนิค IMRT ซึ่งเป็นเทคนิคที่ซับซ้อนแม้ว่าจะใช้เทคโนโลยีอาร์ดแวร์อันทันสมัย (Schulze, 1995) ดังนั้นจึงมีการประมาณค่าต่าง ๆ เพื่อทำให้การคำนวณปริมาณรังสีในเทคนิคการซ้อนทับเร็วขึ้น ซึ่งวิธีหนึ่งที่นำมาใช้คือ เทคนิค collapsed cone-beam จากแนวคิดของ Ahnesjö (1989) เป็นวิธีการสุมตัวอย่างจำเพาะของ dose kernels นอกจากนี้ยังให้ความสำคัญที่แกนของ point-spread kernels ที่สอดคล้องกับรังสีไฟฟอนเดิมที่ใช้ในการกำหนดค่า TERMA ภายในผู้ป่วย และจากการวิจัยของ Ahnesjö 1989; Scholz et al., 2003b; Sharpe, & Battista, 1993 พบว่าเมื่อไม่มีการเอียงมุมของเครื่องนelderังสีจะช่วยประยัดเวลาในการคำนวณได้มากขึ้น (Sharpe, & Battista 1993; Liu et al., 1997) แต่ผลกระทบอื่นที่อาจจะเกิดขึ้นตามมา คือ hardening of the photon-energy และจากการวิจัยของ Liu et al. (1997) และ Metcalfe et al. (1990) กล่าวไว้ว่ามีผลในทางคลินิกค่อนข้างเล็กน้อย [17]

สำหรับการคำนวณปริมาณรังสีด้วยอัลกอริทึม CCC ในระบบคอมพิวเตอร์วางแผนการรักษาถูกแบ่งเป็นสองขั้นตอน [18]

ขั้นตอนแรกคือการคำนวณค่า TERMA ซึ่งได้จาก Photon fluence ที่ปลดปล่อยออกมานผ่านผู้ป่วยตลอดจนการลดทอนพลังงานไฟตอนปฐมภูมิที่ถูกคำนวณตามแนวเส้นทางการผ่าน (Ray-trace) ของรังสีไฟฟอนปฐมภูมิ รวมถึงตัวปรับลำรังสีและอื่น ๆ โดยเรย์แทค (Ray-trace) ซึ่งค่าฟลูเอนซ์หาได้จากสมการที่ 7 และแสดงข้อมูลการเกิดอันตราริยะตั้งแต่ไฟตอนตอกจะหบทดับผู้ป่วยจนผ่านตัวผู้ป่วยไปหรือเรียกว่า Total Energy Release per unit mass: TERMA ดังแสดงในสมการที่ 8

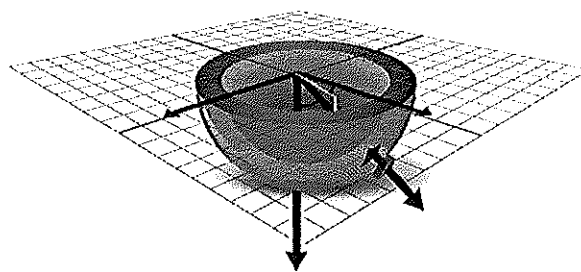
$$\Psi_{E_t}(\vec{r}') = \Psi_{0E_t} \times \frac{r^2}{r'^2} \times \exp(-\mu_{0E_t} d(\vec{r}')) \quad (7)$$

$$\text{TERMA}(\vec{r}') = \frac{\mu(E_{\text{spectrum}}(\vec{r}'))}{\rho_m(\vec{r}')} \times \sum_{E_t} \Psi_{E_t}(\vec{r}') \quad (8)$$

ขั้นตอนที่สองเรียกว่า Superposition of point spread kernels (PSK) เป็นเครื่องเนลที่ถูกยุบตามแนวรัศมีของ Rays ในระบบพิกัดทรงกลมที่แบ่งย่อยเครื่องเนลแบบจุดออกเป็นแต่ละเชิงมุมโดยกำหนดค่าพารามิเตอร์สำหรับแต่ละส่วนของเชิงมุม (กรวย) ในการสะสมผลลัพธ์งานต่อระบบรัศมีดังแสดงในภาพ 9 โดยคำนึงถึงบริเวณที่มีเนื้อเยื่อต่างกัน และยังให้ความถูกต้องมากกว่า Pencil beam algorithm [44] และแสดงให้เห็นดังตารางที่ 1 ซึ่ง Point spread kernels ได้จากการคำนวณแบบ Pre-computed ด้วยวิธีมอนติคาโรใน EGSnrc simulation package ลักษณะเครื่องเนลนี้เป็นทรงกรวยบอกแบบสมมาตร ที่ถูกจัดเก็บไว้ใน Polar grid สองมิติที่มีรัศมีและมุมตามแนวแกนหักของ PSK(r, θ, E) เมื่อถูกประยุกต์ใช้กับ Heterogeneous geometry ระบบรัศมีของตัวกลางถูกเปลี่ยนด้วย Radiological distance ซึ่งเครื่องเนลจะอธิบายถึงการกระจายปริมาณรังสีรอบ ๆ ตำแหน่งที่เกิดปฏิกิริยาของไฟต่อนในน้ำ (First scatter, second scatter) การกระจายเชิงมุมของไฟต่อนและอิเล็กตรอนทุติยภูมิจาก Compton scattering กระจายไปในทิศทางไปข้างหน้าของไฟต่อนเริ่มต้น ที่บริเวณขอบของ Large field ไม่ได้ขนาดกับแนวแกนกลางของลำรังสี (Central axis beam) สำหรับ Point spread kernels tracking ใน Raystation 6 เครื่องเนลหักมุมจะลดคลื่นกับแกนกลางของลำรังสี จะช่วยให้ประหยัดเวลาในการคำนวณมากขึ้น การประมาณนี้เป็นที่ยอมรับได้สำหรับทางคณิติกส่วนใหญ่ แต่สำหรับ Large fields และระบบ SSD ล้าน ๆ การอ้างมุมจะส่งผลต่อค่าความคลาดเคลื่อนของปริมาณรังสีที่มากกว่าร้อยละ 3 ในแนวแกนกลาง (Overestimation) และที่บริเวณ Off-axis และนอกขอบ Field จะประมาณค่าต่ำกว่าความเป็นจริง (Underestimation) [21, 22, 23] นอกจากนี้ยังมีส่วนของการแก้ด้วย Inverse square law de-scaling ของ TEMA และ Rescaling ของปริมาณรังสีเพื่อลดความผิดพลาด [23]

ในขั้นตอนสุดท้ายค่า TERMA ถูกรวมกับ PSK ด้วยวิธีการ Superposition โดยที่ปรับค่าถ่วงน้ำหนักของเครื่องเนลให้เหมาะสมตามบริเวณที่มีเนื้อเยื่อต่างกันซึ่งมีค่าความหนาแน่นของอิเล็กตรอนที่ต่างกัน โดยกำหนด Point kernel (hp) เป็นขนาดย่อย ๆ โดยคำนวณจากความหนาแน่นมวล (Mass density : ρ_0) ของตัวกลางที่เป็นเนื้อเดียวกัน (ความหนาแน่นของอิเล็กตรอนระหว่างจุดที่ปลดปล่อยพลังงานและจุดที่มีการสะสมพลังงาน) ที่ได้มาซึ่งปริมาณรังสีถูกกลืน หาได้จากสมการที่ 9

$$D(\vec{r}) = \sum_{\vec{r}'} T_{TERMA}(\vec{r}', \dots) PSK(\vec{r} - \vec{r}', \dots) \quad (9)$$



ภาพ 9 การแบ่งแยกอย่างเชิงมุมของเคอร์เนลแบบจุด (Sphere point kernel discretization) [20]

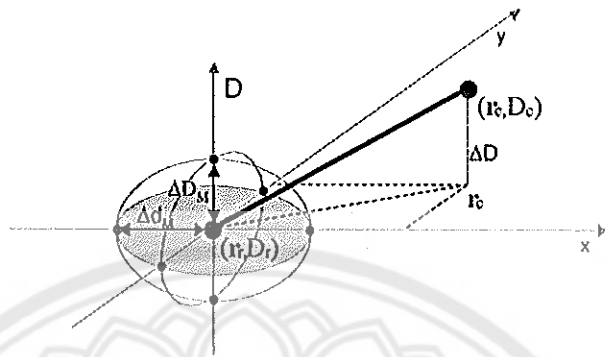
ตาราง 1 ประสิทธิภาพในการคำนวณปริมาณรังสีของอัลกอริทึมต่าง ๆ ที่แก้ไขความต่างของเนื้อเยื่อ โดยที่ (+) และ (-) แสดงถึงระดับประสิทธิภาพของอัลกอริทึม [24]

วิธีการ คำนวณ	อัลกอริทึม	ส่วนประกอบของปริมาณ			การแก้ เนื้อเยื่อ	ความ ถูกต้อง ของการ คำนวณ	ความเร็ว ในการ คำนวณ			
		รังสี								
		ไฟต่อน ปฐม ภูมิ	การ กระเดิง	อิเล็กตรอน ประปนอยู่						
Superposition Convolution	Pencil beam kernel (AAA)	+	+	+	3D	+++	++			
	Point kernels (CCC)	+	+	++	3D	++++	++			
LBT	AXB	+	+	+++	3D	++++	+			
MC	MC	+	+	+++	3D	+++++	-			

การวิเคราะห์ผลด้วยค่าดัชนีแกรมมา (Gamma passing rate) [25]

ดัชนีแกรมมาถูกใช้เพื่อหาค่าความแตกต่างระหว่างการกระจายตัวของปริมาณรังสีที่ได้จากการวัดและการคำนวณในระบบวางแผนการรักษาด้วยหลักการตั้งนี้ วิธีการประเมินค่าแกรมมา เป็นวิธีการเบรียบเทียบการกระจายตัวของปริมาณรังสีของการวัด ($D_i(r)$) ซึ่งใช้เป็นค่าอ้างอิง และ

การกระจายตัวของปริมาณรังสีจาก การคำนวณที่เป็นค่าสำหรับการประเมิน ($D_c(r)$) ดังแสดงในภาพ 10



ภาพ 10 แผนภาพแนวคิดทฤษฎีเกี่ยวกับวิธีการประเมินด้วยค่าแกมมา [25]

โดยเกณฑ์การยอมรับจะแสดงด้วย ΔD_M สำหรับความแตกต่างของปริมาณรังสีและ Δd_M คือระยะทางที่ยอมรับได้ (Distance-to-agreement: DTA) สำหรับจุดอ้างอิงที่ตำแหน่ง r_c ที่ได้รับปริมาณรังสี D_c ที่ผิวแทนเกณฑ์การยอมรับบริเวณที่เป็นรูปทรงรีที่แสดงดังภาพที่ 10 โดยจากสมการที่ 10

$$1 = \sqrt{\frac{\Delta r^2}{\Delta d_M^2} + \frac{\Delta D^2}{\Delta D_M^2}} \quad (10)$$

เมื่อ $\Delta r = |r_c - r_r|$ คือระยะทางระหว่างจุดอ้างอิงและจุดเบรี่ยบเทียบ $\Delta D = |D_c(r_c) - D_r(r_r)|$ คือ ความต่างของปริมาณรังสีที่ตำแหน่ง r_c ที่สัมพันธ์กับปริมาณรังสีอ้างอิง D_r ในตำแหน่ง r_r สำหรับการเบรี่ยบเทียบการกระจายตัวของปริมาณรังสี เพื่อให้สอดคล้องกับปริมาณรังสีอ้างอิงในตำแหน่ง r_r จะต้องมีอย่างน้อยหนึ่งจุด (r_c, D_c) อยู่ภายในเครื่องหมายรูป ellipsoid ของการยอมรับ ซึ่งเป็นไปตามสมการที่ 11

$$\Gamma_r(r_c, D_c) = \sqrt{\frac{\Delta r^2}{\Delta d_M^2} + \frac{\Delta D^2}{\Delta D_M^2}} \leq 1 \quad (11)$$

ความถูกต้องของการวัดเชิงปริมาณจะถูกกำหนดโดยจุด (Point) ที่มีส่วนเบี่ยงเบนน้อยที่สุดจากจุดอ้างอิงนั้นคือจุด $\Gamma_r(r_c, D_c)$ มีค่าน้อยที่สุด ค่าที่น้อยที่สุดนี้เรียกว่าดัชนีคุณภาพ $\gamma(r_r)$ ของจุดอ้างอิง ซึ่งเกณฑ์การฝ่ายและไม่ผ่านการยอมรับเป็นดังนี้

$\gamma(r_r) \leq 1$ แสดงว่าฝ่านเกณฑ์การยอมรับที่กำหนด
 $\gamma(r_r) > 1$ แสดงว่าไม่ฝ่านเกณฑ์การยอมรับที่กำหนด
 เมื่อฝ่านเกณฑ์ที่กำหนด(ค่าความต่างของปริมาณรังสีและระยะที่ยอมรับได้) แสดงให้เห็นถึงคุณภาพของการคำนวณอย่างมีนัยสำคัญ

งานวิจัยที่เกี่ยวข้อง

ปี ค.ศ. 2013 Han et al. [27] ได้ศึกษาผลของการคำนวณปริมาณรังสีของอัลกอริทึม Acuros XB ในมะเร็งปอดด้วยเทคนิคการฉายรังสีแบบปรับความเข้ม (IMRT) และเทคนิคการฉายรังสีแบบปรับความเข้มพร้อมกับหมุนรอบตัวผู้ป่วย (VMAT) โดยการวางแผนการรักษาในหุ่นจำลองทรวงอกของศูนย์ฟิสิกส์รังสีวิทยาด้วยระบบวางแผนการรักษาอิคลิปส์เวอร์ชัน 11.0 โดยที่ใส่หัววัดรังสีที่แอลดี (TLD) และฟิล์มนิวเคลียฟิวโรมิค (Gafchromic EBT2 film) ในหุ่นจำลองเพื่อวัดปริมาณรังสี ปริมาณรังสีที่ได้จากการวัดจะถูกเปรียบเทียบกับปริมาณรังสีที่คำนวณได้จากอัลกอริทึม Acuros XB เวอร์ชัน 11.0.21 และอัลกอริทึม AAA เวอร์ชัน 11.0.21 อัลกอริทึม Acuros XB จะมี nondose แสดงผลของปริมาณรังสี 2 แบบคือ dose-to-medium in medium ($D_{m,m}$) และ dose-to-water in medium ($D_{w,m}$) สำหรับใช้ในการศึกษาครั้งนี้ โดยวิเคราะห์ผลปริมาณรังสีแบบจุด (Point dose), ปริมาณรังสีแบบระนาบหรือ 2 มิติ (Dose profiles) ด้วยดัชนี gamma (3D Gamma index) และเวลาในการคำนวณของ 2 อัลกอริทึม ซึ่งจากการศึกษาพบว่า ปริมาณรังสีที่คำนวณด้วยอัลกอริทึม AAA และ Acuros XB ได้ผลที่ดีสำหรับการวัดโดยใช้หัววัด TLD และฟิล์มไม่ว่าจะเป็นแผนการรักษาด้วย IMRT หรือ VMAT ซึ่งปริมาณรังสีที่วัดได้จาก TLD อยู่ในช่วงร้อยละ 0.4 -4.4 สำหรับอัลกอริทึม Acuros XB (ทั้ง $D_{m,m}$ และ $D_{w,m}$) และร้อยละ 2.5 - 6.4 สำหรับอัลกอริทึม AAA สำหรับผลการเปรียบเทียบค่าดัชนี gamma ของฟิล์ม (เกณฑ์การประเมินร้อยละ $\pm 3/3$ มิลลิเมตร) มีค่าร้อยละ เท่ากับ 94.97 และ 98 สำหรับอัลกอริทึม AAA Acuros XB_ $D_{m,m}$ และ Acuros XB_ $D_{w,m}$ ตามลำดับ และความแตกต่างของปริมาณรังสีระหว่างอัลกอริทึม Acuros XB และ AAA พบร่วมกับกราฟแสดงความถี่ของปริมาตรที่ได้รับรังสี (Dose volume histogram) มีปริมาณรังสีเคลื่อนที่ไม่เกินร้อยละ 2 ที่ Planning target volume :PTV ปอด หัวใจ และน้อยกว่าร้อยละ 5 สำหรับกระดูกสันหลัง ยกเว้นบริเวณรอยต่อของปอดและเนื้อเยื่อ มีความแตกต่างของปริมาณรังสีที่คำนวณด้วยอัลกอริทึมระหว่าง Acuros XB และ AAA ถึงร้อยละ 8 และพบว่าอัลกอริทึม AAA ใช้เวลาในการคำนวณปริมาณรังสีเร็วกว่าอัลกอริทึม Acuros XB ถึง 5-6 เท่าสำหรับเทคนิค IMRT ในขณะที่อัลกอริทึม Acuros XB คำนวณเร็วกว่าอัลกอริทึม AAA 4-5 เท่าของเทคนิค VMAT ซึ่งจากการศึกษาครั้งนี้แสดงให้เห็นว่าอัลกอริทึม Acuros XB มีความแม่นยำในการคำนวณหา

ปริมาณรังสีในมะเร็งปอดได้เป็นที่พอกใจทั้งแผนการรักษาด้วยเทคนิค IMRT และ VMAT ซึ่งความต่างของปริมาณรังสีระหว่าง 2 อัลกอริทึมมีความต่างกันเล็กน้อย ยกเว้นในบริเวณที่เป็นรอยต่อของเนื้อเยื่อ และสำหรับการคำนวณด้วยอัลกอริทึม Acuros XB_D_{w,m} และ D_{m,m} ให้ผลที่ไม่ต่างกันในบริเวณเนื้อเยื่อและบริเวณปอด นอกจากนี้อัลกอริทึม Acuros XB ยังเป็นประโยชน์ในการวางแผนการรักษามะเร็งปอดด้วยเทคนิค VMAT เนื่องจากเพิ่มความถูกต้องและลดเวลาในการคำนวณปริมาณรังสีลงได้

ปี ค.ศ. 2015 Zhen et al. [28] ได้ศึกษาการเปรียบเทียบผลการคำนวณปริมาณรังสีระหว่างอัลกอริทึม AcurosXB CCC และ AAA ของการฉายรังสีร่วมพิกัดบริเวณลำตัว (SBRT) ในมะเร็งปอดที่มีการแพร่กระจายไปยังกระดูกสันหลังโดยวางแผนการรักษาด้วยเทคนิค IMRT และ VMAT ซึ่งอัลกอริทึมทั้ง 3 จะถูกตรวจสอบความถูกต้องของการคำนวณปริมาณรังสีโดยใช้หัววัดไอออโนเซอร์ช์เมบอร์และฟิล์มภาพครามิกอีบีที 2 (Gafchromic film EBT2) ในหุ่นจำลองแบบ Heterogeneous slab-geometry water phantom และหุ่นจำลองแบบ Anthropomorphic และขั้นตอนต่อไปนี้จะแสดงการรักษาด้วยเทคนิค IMRT และ VMAT ในผู้ป่วย 8 คนในระบบวางแผนการรักษาของพินาเคิล (Pinnacle) ที่อ้างอิงตามโปรแกรม SBRT ของการแพร่กระจายในกระดูกสันหลังที่คำนวณด้วยอัลกอริทึม CCC โดยแผนการรักษาดังกล่าวจะถูกส่งไปยังระบบวางแผนการรักษาของอิคลิปส์ (Eclipse) เพื่อคำนวณปริมาณรังสีใหม่ด้วยอัลกอริทึม AAA และจากการศึกษาพบว่าในบริเวณที่ได้รับปริมาณรังสีเกินร้อยละ 50 ของปริมาณรังสีที่กำหนด โดยปริมาณรังสีที่คำนวณด้วยอัลกอริทึม CCC จะได้ปริมาณรังสีเฉลี่ย (Mean dose) สูงกว่าการคำนวณด้วย AcurosXB ประมาณร้อยละ 3.1 ถึง 4.1 ของแผนการรักษาด้วยเทคนิค IMRT และสูงกว่าร้อยละ 2.8 ถึง 3.5 สำหรับแผนการรักษาด้วยเทคนิค VMAT ในขณะที่ปริมาณรังสีเฉลี่ยของการคำนวณด้วยอัลกอริทึม AAA คือร้อยละ 1.5 ถึง 2.4 สำหรับแผนการรักษาด้วยเทคนิค IMRT และร้อยละ 1.2 ถึง 1.6 สำหรับแผนการรักษาด้วยเทคนิค VMAT ซึ่งต่ำกว่าเมื่อเทียบกับอัลกอริทึม AXB โดยมีความแตกต่างอย่างมีนัยสำคัญทางสถิติ ($p < 0.05$) สำหรับปริมาณรังสีใน GTV และ PTV ที่คำนวณปริมาณรังสีด้วยอัลกอริทึม CCC และ AcurosXB ของเทคนิค IMRT และ VMAT ขณะที่ความแตกต่างระหว่างการคำนวณด้วยอัลกอริทึม AAA กับ AcurosXB ไม่แตกต่างอย่างมีนัยสำคัญทางสถิติ แสดงให้เห็นว่าการวางแผนการรักษาด้วย SBRT ของ T-spine ที่คำนวณปริมาณรังสีด้วยอัลกอริทึม CCC จะได้ปริมาณรังสีเฉลี่ย (Mean dose) ในปริมาตรของเป้าหมาย (Target volume) สูงกว่าเมื่อเทียบกับการคำนวณด้วยอัลกอริทึม AcurosXB อย่างมีนัยสำคัญทาง

สถิติ ในขณะที่การคำนวณด้วยอัลกอริทึม AAA ได้ปริมาณรังสีเฉลี่ยใน PTV ต่ำกว่าเมื่อเทียบกับ การคำนวณด้วยอัลกอริทึม AcurosXB อย่างไม่มีนัยสำคัญทางสถิติ

ปี ค.ศ. 2017 Zheng et al. [29] ศึกษาผลการคำนวณปริมาณรังสีด้วยอัลกอริทึมพื้นฐาน ชนิด A และ B (Type A: Correction based dose calculation algorithm B: Model based dose calculation algorithm) ในการรักษาด้วยปริมาณรังสีร่วมพิกัดบริเวณปอด(Lung SBRT) ด้วยเทคนิค IMRT VMAT และ DCA เทียบกับอัลกอริทึมชนิด C (Type C: Monte Carlo based and Linear Boltzmann transport equation) โดยเลือกแผนการรักษาของผู้ป่วยทั้งหมด 20 คนที่ วางแผนการรักษาด้วยเทคนิค IMRT และ DCA (Dynamic conformal arc) ที่คำนวณปริมาณรังสี ด้วยอัลกอริทึมชนิด A และแผนการรักษาของผู้ป่วยอีก 20 คนที่วางแผนการรักษาด้วยเทคนิค IMRT VMAT และ DCA ที่คำนวณด้วยอัลกอริทึมชนิด B ดังนั้นจะมีแผนการรักษาในการศึกษาครั้ง นี้ทั้งหมด 100 แผนการรักษา จะถูกนำมาคำนวณใหม่ (Recalculation) ด้วยอัลกอริทึมชนิด C โดย กำหนดพารามิเตอร์ที่เท่ากับอัลกอริทึมชนิด A และ B คือ ลักษณะลำรังสีและมอนิเตอร์ยูนิต (Monitor unit) ซึ่งการหาค่าคลาดเคลื่อนของปริมาณรังสีที่ PTV โดยใช้กราฟทดสอบนัยสำคัญทาง สถิติชนิด Wilcoxon signed-rank (ค่า $p < 0.05$ สำหรับนัยสำคัญทางสถิติ) ซึ่งค่าความ คลาดเคลื่อนของปริมาณรังสีที่ PTV ถูกเปรียบเทียบระหว่างแผนการรักษาด้วยเทคนิค IMRT กับ DCA และ VMAT กับ DCA ที่คำนวณด้วย 2 อัลกอริทึมพื้นฐาน ระดับของการปรับความเข้มลำ รังสีจะถูกประเมินโดยใช้อัตราส่วนของมอนิเตอร์ยูนิตของแผนการรักษาเทคนิค IMRT และVMAT ต่อแผนการรักษาด้วยเทคนิค DCA และใช้ความสัมพันธ์เชิงลดด้วยเชิงเส้น (Linear Regression) ในกระบวนการคำนวณปริมาณรังสีด้วยอัลกอริทึมชนิด A มา กว่าชนิด B แต่แผนการรักษาด้วยเทคนิค IMRT และ VMAT ไม่พบค่าความคลาดเคลื่อนของปริมาณรังสีที่มีค่ามากเมื่อเทียบกับแผนการ รักษาด้วยเทคนิค DCA และการวิเคราะห์การลดด้วยเชิงเส้นไม่แสดงถึงความสัมพันธ์อย่างมี นัยสำคัญระหว่างการปรับระดับความเข้มของลำรังสีและค่าความคลาดเคลื่อนของปริมาณรังสี สัมพัทธ์ ดังนั้นจึงสรุปได้ว่าการปรับความเข้มของลำรังสีไม่มีผลทำให้ค่าความคลาดเคลื่อนของ ปริมาณรังสีเพิ่มขึ้นสำหรับแผนการรักษาที่ให้ปริมาณรังสีแบบ SBRT ที่คำนวณปริมาณรังสีด้วย อัลกอริทึมพื้นฐาน

ในปี ค.ศ. 2017 Zhou et al. [30] ได้ประเมินการคำนวณปริมาณรังสีของอัลกอริทึมชนิด C ด้วยproto colปัจจุบันเพื่อแสดงถึงผลกระทบของปริมาณรังสีและความจำเป็นของการวางแผน

แผนการรักษาที่มีการเปลี่ยนอัลกอริทึมในการคำนวนปริมาณรังสีจากชนิด B เป็นชนิด C สำหรับแผนการรักษาของผู้ป่วยจำนวน 52 คน ที่ฉายรังสีร่วมพิกัดบริเวณปอด (Lung SBRT) ซึ่งในแต่ละแผนการรักษาใช้เทคนิค VMAT โดยใช้เกณฑ์ $D_{95\%}$ คือปริมาณรังสีที่ปริมาตรของก้อนมะเร็งร้อยละ 95 ได้รับเท่ากับปริมาณรังสีที่กำหนดในอัลกอริทึมชนิด B ซึ่งจะถูกเปรียบเทียบกับแผนการรักษาที่คำนวนใหม่จากอัลกอริทึมชนิด C (Re calculation) โดยกำหนดพารามิเตอร์ให้เหมือนกับชนิด B นอกจากนี้ได้เปรียบเทียบแผนการรักษาที่ Normalized ใหม่ด้วยอัลกอริทึม C (เกณฑ์ $D_{95\%}$ คือปริมาณรังสีที่ปริมาตรของก้อนมะเร็งร้อยละ 95 ได้รับเท่ากับปริมาณรังสีที่กำหนด) และยังเปรียบเทียบที่ทำการ optimized ใหม่ในอัลกอริทึมชนิด C ด้วยเช่นกัน ในส่วนการประเมินปริมาณรังสีระหว่างอัลกอริทึมชนิด B และ C นั้นได้อ้างอิงจากเกณฑ์ RTOG 0813 และ RTOG 0915 ($R_{100\%}$, $R_{50\%}$, D_{2cm} , $V_{105\%}$, และ ปอด V_{20}) สำหรับปริมาณรังสีที่ก้อนมะเร็ง (Dose to PTV) และนอกจากนี้ยังประเมินด้วย D_{min} D_{max} D_{mean} $D_{90\%}$ PTV coverage ($V_{100\%}$) Homogeneity index (HI) และ Paddick conformity index (PCI) จากการศึกษาพบว่าปริมาณรังสีที่คำนวนใหม่ด้วยอัลกอริทึมชนิด C มีค่า D_{min} ของ PTV ลดลงด้วยค่าความต่างเฉลี่ยร้อยละ 5.2 และ D_{max} ที่เพิ่มขึ้นด้วยค่าความต่างเฉลี่ยร้อยละ 3.1 ซึ่งใกล้เคียงกับเกณฑ์ของ RTOG แต่การครอบคลุมของปริมาณรังสีที่ก้อนมะเร็งลดลงด้วยค่าเฉลี่ยร้อยละ 2.5 สำหรับ $D_{95\%}$ และร้อยละ 3.1 สำหรับ $V_{100\%}$ ตามลำดับ ส่วน 7 แผนการรักษาที่มีค่า $D_{95\%}$ ลดลงมากกว่าร้อยละ 5 (ค่าการลดลงสูงสุดเท่ากับร้อยละ 16.7) และ 18 แผนการรักษา มีค่า $V_{100\%}$ ลดลงมากกว่าร้อยละ 5 (ค่าการลดลงสูงสุดเท่ากับร้อยละ 60) สำหรับการ Re-normalized ด้วยอัลกอริทึมชนิด C มีผลทำให้การครอบคลุมของปริมาณรังสีเพิ่มมากขึ้น แต่ค่า Conformity ยังคง (ค่าเฉลี่ยของ PCI ลดลงร้อยละ 4) และการประเมินตามเกณฑ์ RTOG ยังคงใน 11 แผนการรักษาของค่า $R_{50\%}$ D_{2cm} และ $R_{100\%}$ ยกเว้นใน 1 กรณีที่ Re-optimized ด้วยอัลกอริทึมชนิด C แล้วเป็นไปตามเกณฑ์ RTOG หากนี่เป็นไปตามแผนการรักษาเริ่มต้นของอัลกอริทึมชนิด B ส่งผลให้ค่าปริมาณรังสีที่ใกล้เคียงกัน แต่มีความแตกต่างของปริมาณรังสีที่ก้อนมะเร็งสูงกว่าแผนการรักษาเดิมเล็กน้อย (ค่าเฉลี่ย HI เพิ่มขึ้นร้อยละ 13.2) แผนการรักษาที่คำนวนปริมาณรังสีชนิด B จะประมาณค่าปริมาณรังสีที่ครอบคลุมก้อนมะเร็งที่สูงเกินไปในผู้ป่วยบางรายซึ่งจำเป็นต้องใช้การ Re-normalization หรือ Re-optimization ด้วยอัลกอริทึมชนิด C ซึ่งเกณฑ์สำหรับปริมาณรังสีในปัจจุบันของ RTOG แสดงให้เห็นว่ายังหมายความสำหรับการนำมาใช้เป็นเกณฑ์การประเมินปริมาณรังสีต่อไป

บทที่ 3

วิธีดำเนินการวิจัย

ประชากรและกลุ่มตัวอย่าง

1. แผนการรักษาของผู้ป่วยมะเร็งปอดชนิดเซลล์โต (Non-small cell lung cancer) ที่ฝ่ายการรักษาด้วยเทคนิค SBRT ในโรงพยาบาลจุฬาภรณ์ จำนวน 17 แผนการรักษาตั้งแต่ปี 2553-2559
2. ภาพเอกซเรย์คอมพิวเตอร์ของหุ่นจำลองที่เป็นเนื้อเยื่ออเดียกันที่ใช้หุ่นจำลอง Solid water phantom ที่ความลึก 5 และ 10 เซนติเมตร อย่างละ 1 ชุด
3. ภาพเอกซเรย์คอมพิวเตอร์ของหุ่นจำลองมีเนื้อเยื่อต่างกันในที่นี้ใช้ IMRT Thorax phantom ที่กำหนดความหนาของสไลด์เท่ากับ 2.5 มิลลิเมตร จำนวน 1 ชุด

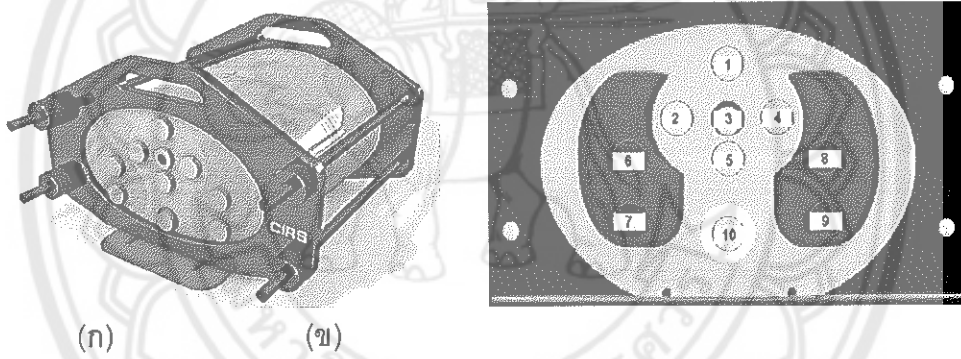
เครื่องมือที่ใช้ในการวิจัย

1. หุ่นจำลองทรวงอก (IMRT Thorax phantom)

เป็นหุ่นจำลองทรวงอกที่มีรูปร่างเป็นวงรีและแทนสัดส่วนของมนุษย์แสดงดังภาพ 11 (ก) ความหนาแน่นและโครงสร้างเป็นสองมิติ ในส่วนของตัวหุ่นจำลองนี้ทำจากพลาสติก ที่สมมูลกับน้ำ ในส่วนของปอดและกระดูกจะมีรูสำหรับใส่หัววัดไอโอดีนซ์เชชันแคมเบอร์ได้หลาย ตำแหน่งภายในหุ่นจำลอง ใช้สำหรับการวัดปริมาณรังสีแบบจุด (Point dose) และใส่คุปกรณ์วัด รังสีเข้าออกได้ นอกจากนี้บริเวณหลังต่อจากบริเวณที่ใส่หัววัดรังสี ถูกแบ่งออกเป็น 12 ส่วน แต่ละ ส่วนหนา 1 เซนติเมตร เพื่อรองรับการใส่ฟิล์มที่สามารถตรวจสอบความถูกต้องของปริมาณรังสี แบบ 2 มิติ (Dose distribution) ซึ่งหุ่นจำลองนี้เป็นเขตที่ได้รับการรับรองในเรื่องของความ หนาแน่นของอิเล็กตรอนภายในหุ่นจำลอง (กล้ามเนื้อ กระดูก ปอด และเนื้อเยื่ออ่อนสมมูล) แสดง ในตาราง 2 โดยไม่แตกต่างตำแหน่งของรู (Hole) ที่แทนความหนาแน่นของอิเล็กตรอนในเนื้อเยื่อ ภายในปอดโดยรูที่ 1 แทนน้ำ (Water equivalent) รูที่ 2 แทนกล้ามเนื้อ (Muscle substitute) รูที่ 3 ซองรูที่ใส่น้ำ (Syringe filled with water) รูที่ 4 แทนไขมัน (Adipose substitute) รูที่ 5 แทนน้ำ (Water equivalent) รูที่ 6 แทนปอด (Lung substitute) รูที่ 7 แทนอากาศ (Should be empty to represent air) รูที่ 8 และ 9 แทนปอด (Lung substitutes) รูที่ 10 แทนกระดูก (Bone substitute) ดังแสดงในภาพ 11 (ก) [26]

ตาราง 2 วัสดุอ้างอิงที่ผ่านการรับรองสำหรับความหนาแน่นที่อยู่ในคู่มือการใช้งานของหุ่นจำลองทรวงอก (IMRT CIRS Phantom) [26]

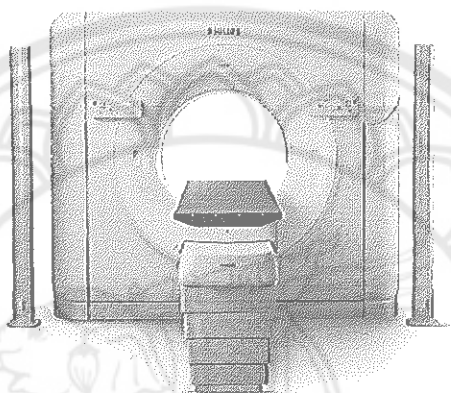
	Density (g/cm ³)	Electron density per cm ³ × 10 ²³	Electron density relative to water
Lung	0.21	0.69	0.207
Bone	1.60	5.03	1.506
Muscle	1.06	3.48	1.042
Adipose	0.96	3.17	0.949
Plastic water (body)	1.04	3.35	1.003



ภาพ 11 (ก) หุ่นจำลอง IMRT Thorax phantom รุ่น Inc model 002LFC และ (ข) ภาพเอกซเรย์คอมพิวเตอร์ที่แสดงตำแหน่งต่าง ๆ [26]

2. เครื่องเอกซเรย์คอมพิวเตอร์จำลองการรักษา รุ่น Brilliance Big Bore [31]

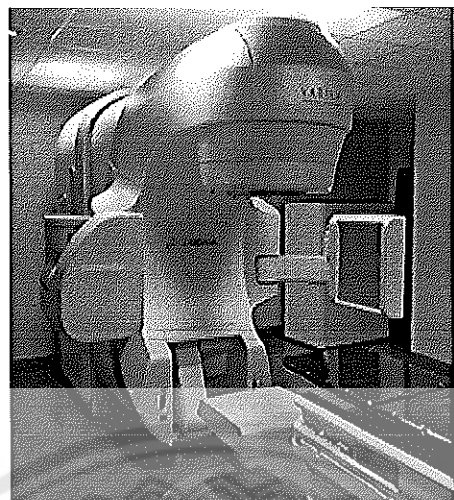
เครื่องเอกซเรย์คอมพิวเตอร์จำลองการรักษา รุ่น Brilliance Big Bore ณ งานรังสีรักษา โรงพยาบาลจุฬาภรณ์ ดังแสดงในภาพ 12 โดยคุณลักษณะของเครื่องคือ มีเส้นผ่านศูนย์กลางของอุโมงค์เครื่องเท่ากับ 85 เซนติเมตร เพื่อรองรับผู้ป่วยพร้อมกับอุปกรณ์ยึดตึงโดยพื้นที่การสแกน (Scan Field of View: SFOV) ประมาณ 60 เซนติเมตร และในการหมุนของเครื่องเอกซเรย์คอมพิวเตอร์ 1 ครั้งจะได้ภาพหั่นหนด 16 slide



ภาพ 12 เครื่องเอกซเรย์คอมพิวเตอร์จำลองการรักษา รุ่น Brilliance Big Bore
ชื่อห้อง Philip 16 slices [9]

3. เครื่องฉายรังสีรุ่น TrueBeam (Varian Medical Systems)

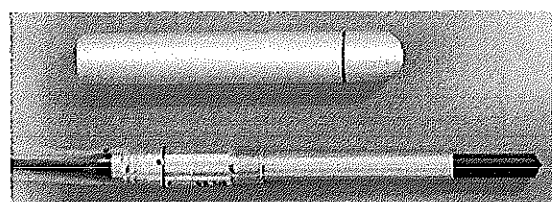
เครื่องฉายรังสีรุ่น TrueBeam ดังแสดงในภาพ 13 คุณสมบัติการให้เอกซเรย์พลังงาน 6 10 15 เมกะโวลต์แบบมีตัวกรองปรับเรียบ และพลังงานที่ไม่ใช้ตัวกรองปรับเรียบ 6 และ 10 เมกะโวลต์ สำหรับอิเล็กตรอนพลังงาน 6 ถึง 22 เมกะอิเล็กตรอนโวลต์ และ Multileaf collimator เท่ากับ 120 Leaf MLC (60 คู่ของ MLC) โดยความกว้างของ Center MLC เท่ากับ 5 มิลลิเมตร \times 40 คู่ ความกว้างของ MLC ด้านขอน 10 มิลลิเมตร \times 20 คู่ และพื้นที่ของการฉายรังสีสูงสุด (Maximum static field size) เท่ากับ 40 \times 40 ตารางเซนติเมตร [32]



ภาพ 13 เครื่องฉายรังสีรุ่น TrueBeam (Varian Medical Systems) [32]

4. หัววัดไอออกไนซ์เซชันแคมเบอร์ชนิดเวลโซเฟอร์ฟามิอร์ເອີຟີ 65 ຈີ (Scanditronix / Wellhofer Farmer Type Chamber FC65-G)

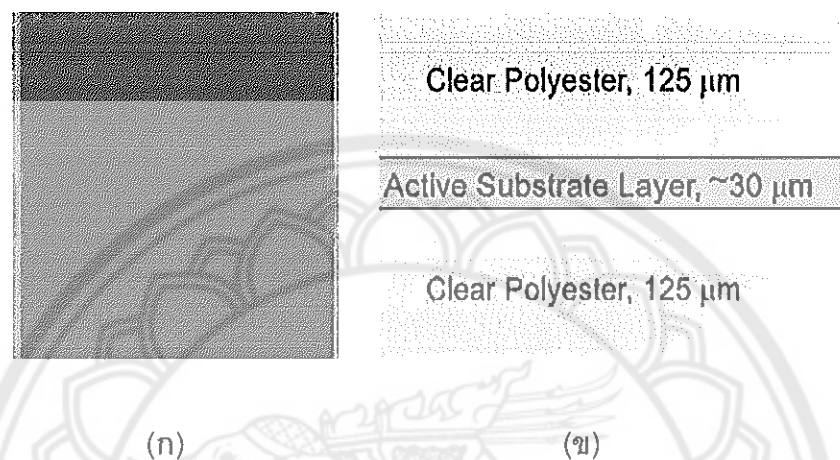
หัววัดไอออกไนซ์เซชันแคมเบอร์ชนิดเวลโซเฟอร์ฟามิอร์ເອີຟີ 65 ຈີ ດັ່ງແສດງໃນກາພ 14 ເປັນອຸປະກອນທີ່ຖືກອອກແບບມາສໍາຮັບກາວັດບໍລິມານວັງສີຈາກກາຈານນັບວັດກາເຕາທຳຂອງອາກາສ ກາຍໃນຫວັດ ນອກຈາກນີ້ຢັ້ງເປັນຫວັດອ້າງອີງມາຕຽບສູານສໍາຮັບກາວັດບໍລິມານວັງສີດຸດກລື່ນ ໂດຍມີ ຄຸນສົມບັດດັ່ງນີ້ ກັນນໍາໄດ້ ກາຍໃນປົວມາທີ່ຕອບສົນອອກຈາກ ມີວັດຄຸດຄອບ (Build-up Cap) ແລະ ຄຸນລັກຊະນະເລີພາະຂອງຫວັດໜີນີ້ເຄື່ອງ ບໍລິມານວັງສີບໍລິເການທີ່ຕອບສົນອອກຈາກ ຮັບສົມຂອງບໍລິເການທີ່ຕອບສົນອອກຈາກ (Cavity Volume) 0.65 ຊມ³ ຄວາມຍາວຂອງບໍລິເການທີ່ຕອບສົນອອກຈາກ (Cavity Length) 23.1 ມີລັດເມຕຣ ຮັບສົມຂອງບໍລິເການທີ່ຕອບສົນອອກຈາກ (Cavity Radius) 3.1 ມີລັດເມຕຣ ວັດຖຸຂອງຜົນງ້າງຫວັດສົ່ງຈາກ ແກຣີຟີ໌ ຄວາມໜາຂອງຜົນງ້າງຫວັດ 0.073 ກຣັມ/ຕາງໆເຫັນຕີເມຕຣ ແລະ ວັດຖຸສໍາຫວັບອີເລີກໂທຮດກລາງ (Central Electrode Material) ເປັນອະລຸມືນີ້ຍົມ [33]



ກາພ 14 ຫວັດໄອອົກໄນ້ໜີເໜັນແຄມບເບອ້ໜີນິດເວລສູເພອ້ໝາເມອ້ເອີຟີ 65 ຈີ (Scanditronix/ Wellhofer Farmer Type Chamber FC65-G) [33]

5. ฟิล์มชนิดภาพโครมิคอีบีที 3 (Gafchromic film EBT3)

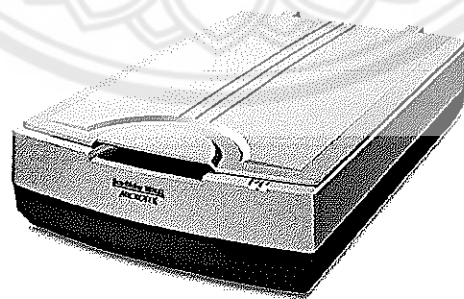
ฟิล์มชนิดภาพโครมิคอีบีที 3 เป็นอุปกรณ์ที่ใช้ตรวจสอบความถูกต้องของบริมาณรังสีในลักษณะ 2 มิติ (Dose distribution) ดังแสดงในภาพ 15 (ก) และโครงสร้างภายในแสดงดังภาพที่ 15 (ข)



ภาพ 15 (ก) ลักษณะภายในนอก และ (ข) โครงสร้างภายในของฟิล์มชนิดภาพโครมิคอีบีที 3 (Gafchromic film EBT3) [34]

6. เครื่องสแกนไมโครเทคโนโลยี Microtek ScanMaker 9800XL flatbed scanner

เครื่องสแกนไมโครเทคโนโลยี เป็นเครื่องสแกนที่ใช้สำหรับอ่านค่าความด้ามของพิล์มปริมาณรังสีภายในพิล์ม ดังแสดงในภาพ 16

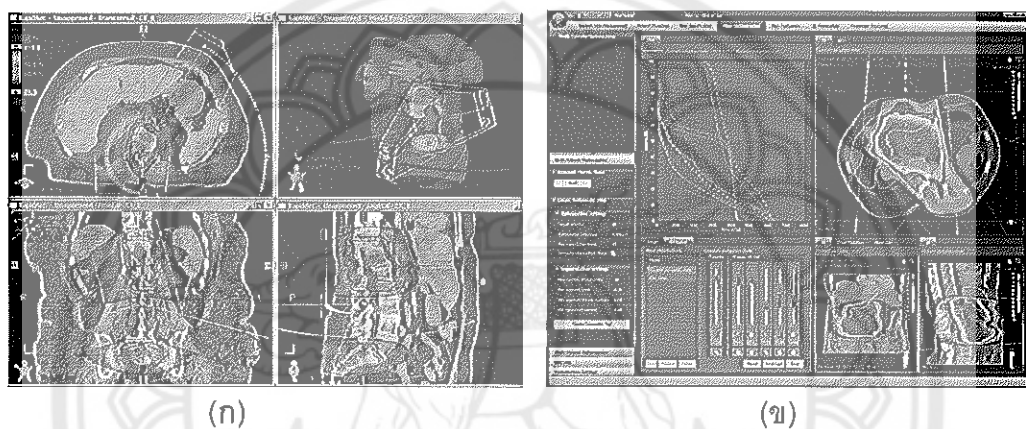


ภาพ 16 เครื่องสแกนไมโครเทคโนโลยี Microtek ScanMaker 9800XL flatbed scanner [35]

7. ระบบคอมพิวเตอร์วางแผนการรักษา

7.1 ระบบคอมพิวเตอร์วางแผนการรักษาโดยใช้ห้องอิคลิปส์เวอร์ชัน 13.6 (Eclipse treatment planning system: Version 13.6, Varian Medical Systems, Palo Alto, CA) ที่ใช้อัลกอริทึมชนิด AAA สำหรับการคำนวนปริมาณรังสี ดังแสดงในภาพ 17(ก)

7.2 ระบบคอมพิวเตอร์วางแผนการรักษาโดยใช้ห้องเรย์สเตชัน (RayStation treatment planning system: Version 6) ที่ใช้อัลกอริทึมชนิด CCC สำหรับการคำนวนปริมาณรังสี ดังแสดงในภาพ 17(ข)

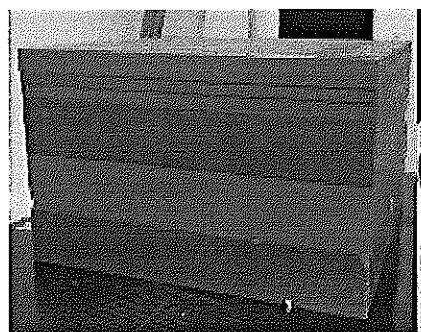


ภาพ 17 (ก) ระบบคอมพิวเตอร์วางแผนการรักษาโดยใช้ห้องอิคลิปส์เวอร์ชัน 13.6 [36]

และ (ข) ระบบวางแผนการรักษาโดยใช้ห้องเรย์สเตชันเวอร์ชัน 6 [37]

8. หุ่นจำลองที่เป็นน้ำเดียวกัน (Solid water phantom) [54]

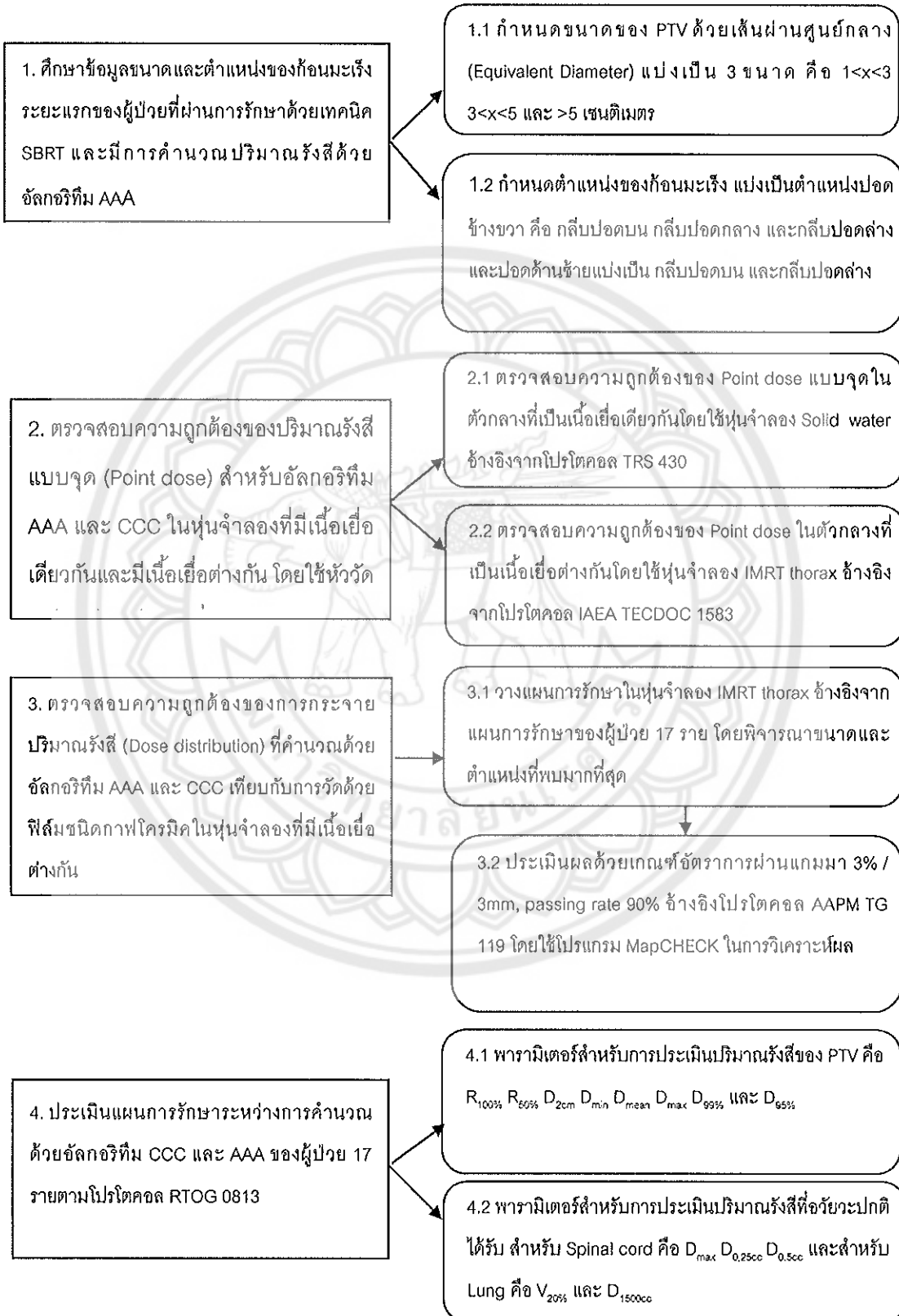
หุ่นจำลอง Solid water phantom เป็นหุ่นจำลองที่เทียบเท่ากับน้ำ (Water equivalent) มีขนาดเท่ากับ 30×30 ตารางเซนติเมตร ดังแสดงในภาพ 18 และมีความหนาที่แตกต่างกัน เช่น 0.5, 1, 1.5, 2 และ 5 เซนติเมตร ทั้งนี้ขึ้นอยู่กับการใช้งาน ใช้เป็นตัวกลางสำหรับการวัดปริมาณรังสี โดยมีซองหรืออุปกรณ์รองรับหัวดชนิดไออกโนไซด์เช่นสำหรับรังสีฟอตตอนและอิเล็กตรอน และนอกจากนี้ยังใช้กับการทำประกายคุณภาพของงานรังสีรักษาเช่นเดียวกัน



ภาพ 18 หุ่นจำลองที่เป็นเนื้อเดียวกัน (Solid water phantom) [54]



การเก็บรวบรวมข้อมูลและการวิเคราะห์ข้อมูล



1. การศึกษาข้อมูลขนาดและตำแหน่งของก้อนมะเร็งระยะแรกของผู้ป่วยที่ผ่านการรักษาด้วยเทคนิค SBRT และมีการคำนวณปริมาณรังสีตัวย่ออัลกอริทึม AAA ในระบบวางแผนการรักษาอิคลิปส์ (Eclipse Treatment Planning System: Eclipse TPS)

การศึกษานี้ใช้ข้อมูลของผู้ป่วยในคอมเพิงปอดชนิดเซลล์โตที่รักษาด้วยเทคนิค SBRT ในโรงพยาบาลจุฬาภรณ์ โดยมีลำดับขั้นตอนในการศึกษา ดังนี้

1.1 กำหนดขนาดของก้อนมะเร็งด้วยขนาดเส้นผ่าศูนย์กลางของก้อน (Equivalent Diameter) แบ่งเป็น 3 ขนาด คือ $1 < x < 3$, $3 < x < 5$ และ > 5 เซนติเมตร (โดยที่ x หมายถึงขนาดของก้อนมะเร็ง)

1.2 กำหนดตำแหน่งของก้อนมะเร็งที่อ้างอิงจาก Lung Lobe Anatomy [61] แบ่งเป็นตำแหน่งปอดข้างขวา คือ กลีบปอดบน (Upper lobe) กลีบปอดกลาง (Middle lobe) และ กลีบปอดล่าง (Lower lobe) และปอดด้านซ้ายแบ่งเป็น กลีบปอดบน (Upper lobe) และกลีบปอดล่าง (Lower lobe) และบันทึกผลการศึกษาที่แสดงในตาราง 3

ตาราง 3 ตัวอย่างการศึกษาข้อมูลขนาดและตำแหน่งของก้อนมะเร็งปอดชนิดเซลล์ トイของผู้ป่วยที่ทำการรักษาด้วยเทคนิค SBRT ณ โรงพยาบาลจุฬาภรณ์

ที่	พัฒนา	ขนาดเส้นผ่าศูนย์กลาง					ตำแหน่งของก้อนมะเร็ง (PTV)				
		ของ PTV (เซนติเมตร)			ปอดด้านขวา		ปอดด้านซ้าย				
		6	10	$1 < X < 3$	$3 < X < 5$	> 5	กลีบปอด บน (RUL)	กลีบปอด กลาง (RML)	กลีบปอด ล่าง (RLL)	กลีบปอด บน (LUL)	ปอดล่าง (LLL)
1											
2											
3											
4											
5											
:											
สรุป											

หมายเหตุ: กลีบปอดบนซ้าย (Left upper lobe: LUL) กลีบปอดบนขวา (Right upper lobe: RUL) กลีบปอดล่างซ้าย (left lower lobe: LLL) กลีบปอดล่างขวา (Right lower lobe: RLL) และกลีบปอดกลาง (Right middle lobe: RML)

2. การตรวจสอบความถูกต้องของปริมาณรังสีแบบจุด (Point dose) สำหรับอัลกอริทึม AAA ในระบบวางแผนการรักษาอิคลิปส์และอัลกอริทึม CCC ในระบบวางแผนการรักษาเรย์สเตชั่นในหุ่นจำลองที่มีเนื้อเยื่ออเดียวกันและมีเนื้อเยื่อต่างกัน

กำหนดปริมาณรังสีสำหรับการทดสอบทั้งในหัวกลางที่เป็นเนื้อเยื่ออเดียวกันและเนื้อเยื่อต่างกันเท่ากับ 2 เกรย์ต่อครั้ง (2 Gy/F) อัตราปริมาณรังสี 1400 มอนิเตอร์ยูนิตต่อนาที สำหรับพลังงาน 6 เมกะโวลต์ที่ไม่ใช้ตัวกรองป้องกันเรย์บ และ 2400 มอนิเตอร์ยูนิตต่อนาที สำหรับพลังงาน 10 เมกะโวลต์ที่ไม่ใช้ตัวกรองป้องกันเรย์บ

2.1 การตรวจสอบความถูกต้องของปริมาณรังสีแบบจุดที่คำนวนด้วยอัลกอริทึม AAA และ CCC ในตัวกลางที่เป็นเนื้อเยื่ออเดียวกัน

2.1.1 นำหุ่นจำลอง Solid water ขนาด $30 \times 30 \times 30$ ลูกบาศก์เซนติเมตร พร้อมใส่หัวดัดรังสีไอโอดีนเข้าในเข็มเบอร์ชันนิค FC65G ไปถ่ายภาพเอกซเรย์คอมพิวเตอร์ (CT scanner) ด้วยเครื่องเอกซเรย์คอมพิวเตอร์รุ่น Brilliance Big Bore ซึ่งกำหนดความหนาของสไลด์เท่ากับ 0.3 เซนติเมตร ติดตั้ง หุ่นจำลองสำหรับการจำลองการรักษา โดยกำหนดให้ระยะจากผิวหุ่นจำลองถึงหัวดัดเป็นระยะทาง 5 และ 10 เซนติเมตร

2.1.2 นำภาพเอกซเรย์คอมพิวเตอร์จากข้อที่ 2.1.1 เข้าสู่ระบบคอมพิวเตอร์วางแผนการรักษาอิคลิปส์และเรย์สเตชั่นเพื่อวางแผนการรักษาบนภาพเอกซเรย์คอมพิวเตอร์ของ Solid water phantom โดยเปิดพื้นที่ฉายรังสีในลักษณะต่าง ๆ ดังภาพ 19 ที่อ้างอิงจาก TRS 430 ดังตาราง 4 ทดสอบที่ความลึก 5 และ 10 เซนติเมตร

2.1.3 ลงข้อมูลแผนการรักษาจากระบบคอมพิวเตอร์วางแผนการรักษาอิคลิปส์ และเรย์สเตชั่นไปยังระบบควบคุมที่ห้องฉายรังสีเพื่อฉายรังสีตามการทดสอบที่ได้วางแผนการรักษาไว้

2.1.4 วัดปริมาณรังสี โดยใช้หัววัดไอโอดีนเข็มเบอร์ชันนิค FC65G ด้วยเทคนิค SAD ตามเงื่อนไขในแต่ละขอบเขตการฉายรังสีและความความลึก ดังแสดงในภาพ 20 ที่กำหนดไว้ทั้ง 2 ระบบแผนการรักษา แล้ววัดปริมาณรังสี 5 ครั้ง ตามแต่ละเงื่อนไข แล้วแก้ค่าพารามิเตอร์ต่าง ๆ คือ K_s , K_{pol} , K_{TP} , $K_{Q,QO}$ และ N_{DW} [34]

2.1.5 คำนวนเปอร์เซนต์ความต่างระหว่างปริมาณรังสีที่คำนวนจากระบบคอมพิวเตอร์วางแผนการรักษาและการวัดรังสีแบบ Point dose ในหุ่นจำลอง Solid water โดยทำเท่าเดียวกันทั้ง 2 ระบบวางแผนการรักษา

2.1.6 การประเมินความต่างของปริมาณรังสีระหว่างการวัดและการคำนวนใช้เกณฑ์ร้อยละ 2 สำหรับพื้นที่ฉายรังสีปกติ และร้อยละ 3 สำหรับพื้นที่ฉายรังสีที่มีความซับซ้อน อ้างอิงตามมาตรฐาน TRS 430

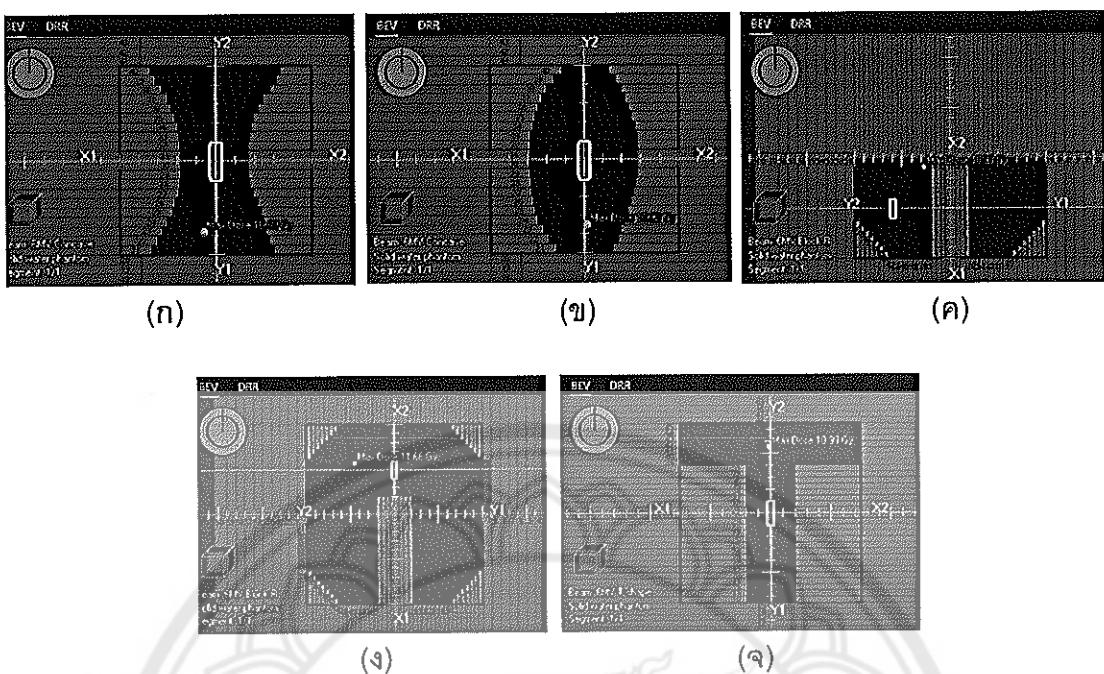
ตาราง 4 ลักษณะของการทดสอบความถูกต้องของระบบคอมพิวเตอร์วางแผนการรักษาสำหรับตัวกลางที่เป็นเนื้อเยื่อเดียวกันตามมาตรฐาน TRS 430 [38]

ประเภทการทดสอบ	วัตถุประสงค์การทดสอบ	ลักษณะการทดสอบ
ลักษณะการเปิดพื้นที่ฉายรังสีแบบรังสีปีกติ	ทดสอบพื้นที่ฉายรังสีแบบสี่เหลี่ยมจตุรัส (Square field) ทดสอบพื้นที่ฉายรังสีแบบสี่เหลี่ยมผืนผ้า (Rectangular field) พื้นที่ฉายรังสีที่กำหนดด้วย MLC (Shape Field)	5x5 10x10 20x20 และ 40x40 ตารางเซนติเมตร 5x30 และ 30x5 ตารางเซนติเมตร Concave, Convex, Block up, Block Right , T-shape
ระยะจากแหล่งกำเนิดรังสีถึงผิวของตัวกลาง	ทดสอบพื้นที่ฉายรังสีแบบสี่เหลี่ยมจตุรัสโดยขยายระยะจากต้นกำเนิดรังสีถึงผิwt ตัวกลาง 110 เซนติเมตร	Extended SSD 110 เซนติเมตร.
ลักษณะรูปร่างของผู้ป่วย (Patient shape)	ทดสอบการทดสอบกระหบของลำรังสีในแนวเฉียง 30 องศา	FS = 20x20 ตารางเซนติเมตร; Oblique incidence 30 องศา

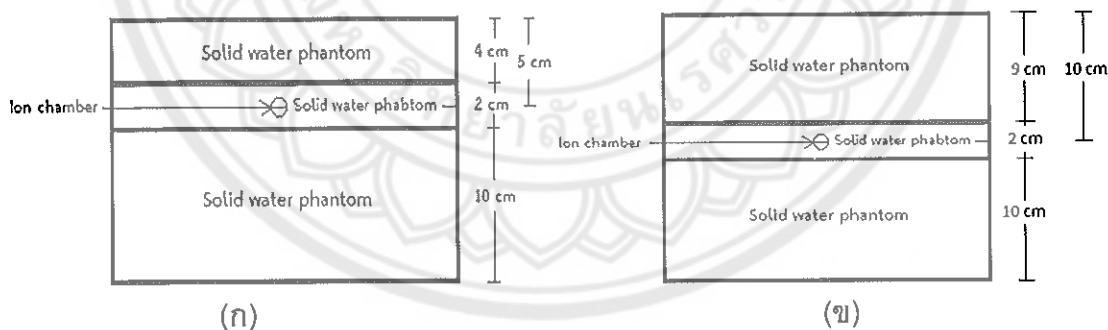
ซึ่งวิธีการหาค่าร้อยละความคลาดเคลื่อนของปริมาณรังสีแบบจุดระหว่างการคำนวณด้วยสองอัลกอริทึมและการวัดทั้งสำหรับการทดสอบในหุ่นจำลองที่เป็นเนื้อเยื่อเดียวกัน จากสมการที่ 12 [38]

$$\text{Error (\%)} = \frac{D_{\text{cal}} - D_{\text{meas}}}{D_{\text{meas}}} \quad (12)$$

เมื่อ Error (%) คือ ค่าร้อยละความคลาดเคลื่อนของปริมาณรังสีแบบจุด
 D_{cal} คือ ปริมาณรังสีแบบจุดที่คำนวณจากคอมพิวเตอร์วางแผนการรักษา
 D_{meas} คือ ปริมาณรังสีแบบจุดที่ได้จากการวัดที่ตำแหน่ง Isocenter



ภาพ 19 ลักษณะของการเปิดพื้นที่ฉายรังสีและลักษณะการกระชายบวมตามรังสีของตัวอย่างของการเปิดพื้นที่ฉายรังสีด้วย MLC (ก) แบบคอนคิฟ (Concave) (ข)
แบบคอนเวกซ์ (Convex) (ค) แบบล็อกด้านขวาด้วย MLC (Block Right) (ง) แบบ
บล็อกด้านบนด้วย MLC (Block up) และ (จ) เปิดพื้นที่ฉายรังสีรูปตัวที (T-shape)



ภาพ 20 (ก) การติดตั้งการจำลองหุ่นจำลองที่เป็นเนื้อเยื่อเดียวกัน (Solid water phantom)
สำหรับที่ระยะ 5 เซนติเมตร และ (ข) สำหรับที่ระยะ 10 เซนติเมตรจากผิวของ
หุ่นจำลองถึงหัววัดรังสี

2.2 การตรวจสอบความถูกต้องของปริมาณรังสีแบบจุดที่คำนวณด้วยอัลกอริทึม AAA และ CCC ในตัวกลางที่เป็นเนื้อยื่อต่างกัน

การทดสอบนี้อ้างอิงจากมาตรฐาน IAEA-TECDOC-1583 [26] หั้งหมวด 6 เงื่อนไข โดยใช้ตัวกลางเป็นหุ่นจำลอง IMRT thorax

2.2.1 การทดสอบตามขนาดพื้นที่ฉายรังสีอ้างอิง 10×10 ตารางเซนติเมตร (Testing for reference conditions based on CT data) [11]

เป็นการตรวจสอบการคำนวณที่พื้นที่ฉายรังสีอ้างอิงขนาด 10×10 ตารางเซนติเมตร ด้วยมุมเกนที่ 0 องศา และมุมคอลลิเมเตอร์ 0 องศา เพื่อยืนยันข้อมูลของลำรังสี เป็นองค์น ซึ่งจุดของการวัดอยู่กึ่งกลางรูสำหรับใส่หัววัดที่ 1 3 5 9 และ 10 ซึ่งแทนบีเวน Water equivalent syringe Water equivalent Lung substitutes และ Bone substitutes ตามลำดับ ของหุ่นจำลอง IMRT thorax

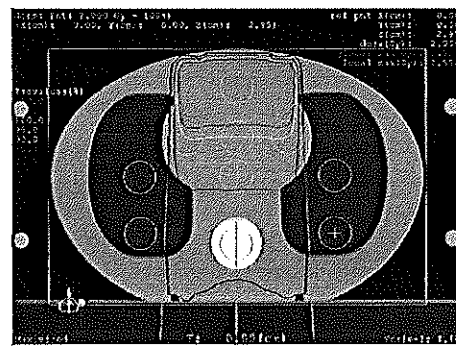
1) นำภาพเอกซเรย์คอมพิวเตอร์ของหุ่นจำลอง IMRT thorax มาวางแผนการรักษาด้วยระบบคอมพิวเตอร์วางแผนการรักษาเรย์ส忒เรชั่นตามเงื่อนไขดังตาราง 5 และกำหนดปริมาณรังสี 2 เ�รย์ ณ จุดอ้างอิงที่ 3

2) เมื่อคำนวณปริมาณรังสีแล้วจะมีลักษณะการกระจายรังสีดังแสดงในภาพ 21 จดบันทึกค่าปริมาณรังสีที่ 1 3 5 9 และ 10

3) จากนั้นทำการวัดปริมาณรังสีโดยโหลดแผนการรักษาเข้าสู่ระบบควบคุมเครื่องฉายรังสีเพื่อปรับให้หุ่นจำลองอยู่ในตำแหน่งของ Isocenter ของแผนการรักษานั้น ตามเงื่อนไขในตาราง 6 และใส่หัววัดไปอุ่นในเซ็นเซอร์ชนิด FC65G ที่ตำแหน่ง 1 3 5 9 และ 10

4) นำค่าสัญญาณที่นับวัดได้จากข้อ 2.2.1.3 มาแก้ค่าพารามิเตอร์ที่มีผลต่อกำลังวัดต่าง ๆ (N_{DW} , k_{pol} , k_s , k_{QQ_0} , k_{TP}) [34]

5) วิเคราะห์ผลเทียบค่าปริมาณรังสีระหว่างการวัดและการคำนวณโดยเกณฑ์ค่าร้อยละที่ยอมรับได้ คือ ร้อยละ 2 2 2 4 และ 3 สำหรับตำแหน่ง 1 3 5 9 และ 10 ตามลำดับ



ภาพ 21 ตัวอย่างการกระจายปริมาณรังสีในระนาบกลาง (central plane)
สำหรับการทดสอบตามขนาดพื้นที่ฉายรังสีอ้างอิง 10x10 ตารางเซนติเมตร

2.2.2 กรณีพื้นที่ฉายรังสีมีบล็อกเฉพาะบริเวณมุม (Significant blocking of the field corners) [26]

การตรวจสอบการคำนวณของพื้นที่ฉายรังสีที่มีบล็อก ทำโดยกำหนดพื้นที่การฉายรังสีขนาด 14x14 ตารางเซนติเมตร มุมของคอลลิเมเตอร์ 45 องศา แล้วบล็อกพื้นที่ฉายรังสีขนาด 10x10 ตารางเซนติเมตร ซึ่งเป็นบล็อกพื้นฐานหรือบล็อกด้วย MLC ซึ่งดำเนินการวัดที่กึ่งกลางของรูที่ 3

1) นำภาพเอกซเรย์คอมพิวเตอร์ของหุ่นจำลอง IMRT thorax มาวางแผนการรักษาด้วยระบบคอมพิวเตอร์วางแผนการรักษาเรย์สเตชัน ด้วยเงื่อนไขดังตารางที่ 5 โดยการบล็อกมุมด้วย MLC และดูผลในภาพ 22 (ข) และกำหนดปริมาณรังสี 2 เกรย์ที่จุดอ้างอิงที่ 3

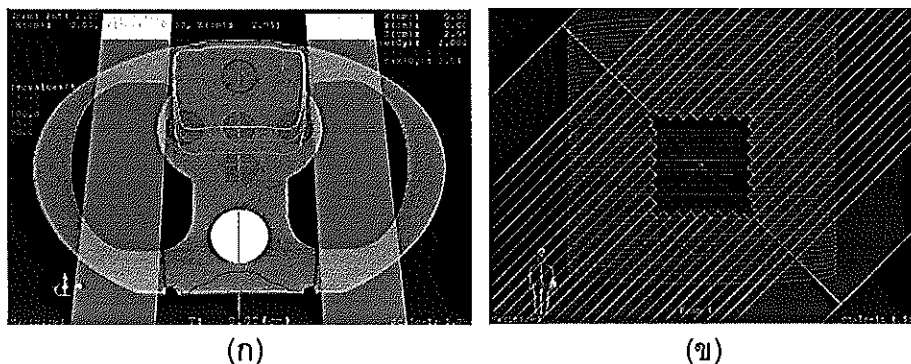
2) หลังคำนวณปริมาณรังสีแล้วลักษณะการกระจายปริมาณรังสีจะแสดงดังภาพที่ 22 (ก) จากนั้นบันทึกค่าปริมาณรังสีที่คำนวณได้จากระบบคอมพิวเตอร์วางแผนการรักษาดำเนินที่ 3

3) ให้ลดแผนการรักษาที่เข้าสู่ระบบควบคุมเครื่องฉายรังสีเพื่อปรับให้หุ่นจำลอง IMRT thorax "ป้ออยู่ในตำแหน่ง Isocenter" สำหรับแผนการรักษาดังกล่าว

4) ใส่หัววัด "ไอโอดีโนเซ็นทรัลเมบอร์ชนิด FC65G" ที่ตำแหน่ง 3 และนับวัดค่าสัญญาณไฟจากอิเล็กตรอนิฟฟาร์มิเตอร์ทั้ง 3 ครั้ง

5) นำค่าสัญญาณที่นับวัดได้จากข้อ 4) มาแก้ค่าพารามิเตอร์ที่มีผลต่อการนับวัดต่าง ๆ (N_{DW} , k_{pol} , k_s , k_{QQO} , k_{TP}) [34]

6) วิเคราะห์ผลเทียบค่าปริมาณรังสีระหว่างการวัดและการคำนวณโดยเกณฑ์ค่าร้อยละที่ยอมรับได้ (Agreement criteria) คือ ร้อยละ 3 สำหรับตำแหน่งที่ 3



ภาพ 22 ตัวอย่างการกระจายปริมาณรังสีในระบบกษา (g) และ ตัวอย่าง BEV (x)
สำหรับกรณีพื้นที่ฉายรังสีมีบล็อกเฉพาะบริเวณมุน

2.2.3 กรณีพื้นที่ฉายรังสีประกอบด้วยลำรังสี 4 ทิศทาง (Four field box) [26]

การตรวจสอบการคำนวณปริมาณรังสีในลักษณะปริมาณรังสีทั้งหมด (Total dose) จากพื้นที่ฉายรังสีแบบ Four field box ทำโดยการทำหนด 4 ลำรังสีที่มีน้ำหนัก (Weighted equally) และพารามิเตอร์เหมือนกัน ซึ่งตำแหน่งที่วัดคือกึ่งกลางของรู 5.6 และ 10

1) นำภาพเอกซเรย์คอมพิวเตอร์ของหุ่นจำลอง IMRT thorax มาวางแผน การรักษาด้วยระบบคอมพิวเตอร์วางแผนการรักษาเรย์สเตชันด้วยเงื่อนไข ดังตาราง 5 และกำหนด ปริมาณรังสี 2 เกรย์ที่จุดอ้างอิงที่ 5

2) เมื่อคำนวณปริมาณรังสีแล้วลักษณะการกระจายปริมาณรังสีแสดงดัง ภาพ 23 จากนั้นจุดบันทึกค่าปริมาณรังสีที่คำนวณได้จากระบบคอมพิวเตอร์วางแผนการรักษา ตำแหน่งที่ 5.6 และ 10

3) ให้ลดแผนการรักษาที่เข้าสู่ระบบควบคุมเครื่องฉายรังสีเพื่อปรับให้ หุ่นจำลอง IMRT thorax ไปอยู่ในตำแหน่ง Isocenter สำหรับแผนการรักษาดังกล่าว

4) ใส่หัววัดไอโอดีนเข้าชั้นเซมเบอร์ชนิด FC65G ที่ตำแหน่ง 5 โดยหมุน เกนทวีและคอลลิเมเตอร์ไปที่ 0 องศา เปิดพื้นที่ฉายรังสีขนาด 15x10Ant และนับวัดค่า สัญญาณไฟฟ้าจากอิเล็กโทรมิเตอร์ทั้ง 3 ครั้ง

5) จากนั้นเปลี่ยนขนาดพื้นที่ฉายรังสีเป็น 15x10Post หมุนเกนทวีและ คอลลิเมเตอร์ไปที่ 180 และ 0 ตามลำดับ และนับวัดค่าสัญญาณไฟฟ้าจากอิเล็กโทรมิเตอร์ทั้ง 3 ครั้ง

6) จากนั้นเปลี่ยนขนาดพื้นที่ฉายรังสีเป็น 15×8 RL หมุนเกนท์และคอลลิเมเตอร์ไปที่ 270 และ 0 องศา ตามลำดับและนับวัดค่าสัญญาณไฟฟ้าจากอิเล็กโทรมิเตอร์ทั้ง 3 ครั้ง

7) เปลี่ยนขนาดพื้นที่ฉายรังสีเป็น 15×8 RL หมุนเกนท์และคอลลิเมเตอร์ไปที่ 90 และ 0 องศา ตามลำดับและนับวัดค่าสัญญาณไฟฟ้าจากอิเล็กโทรมิเตอร์ทั้ง 3 ครั้ง

8) นำค่าสัญญาณที่นับวัดได้จากข้อ 4) – 7) มาแก้ค่าพารามิเตอร์ที่มีผลต่อการรับวัดต่าง ๆ (N_{DW} , k_{pol} , k_s , k_{QQo} , k_{TP}) [34]

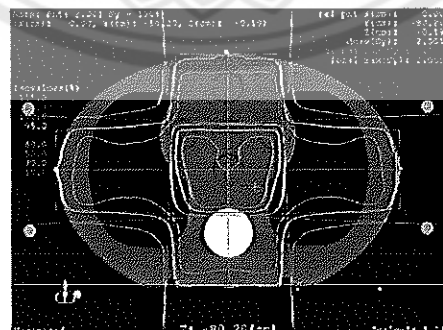
9) จากนั้นเปลี่ยนตำแหน่งการวัดจากตำแหน่งที่ 5 เป็น 6 และ 10 ตามลำดับ โดยดำเนินการเหมือนกับข้อที่ 4) – 8)

10) วิเคราะห์ผลเทียบค่าปริมาณรังสีระหว่างการวัดและการคำนวณโดยเกณฑ์ค่าร้อยละที่ยอมรับได้ (Agreement criteria) คือ

10.1) ตำแหน่งที่ 5 (ร้อยละ 2 3 3 และ 3 สำหรับขนาดพื้นที่ฉายรังสีและเกนท์ที่เป็น 15×10 Ant และ 0 องศา 15×10 Post และ 180 องศา 15×8 RL และ 270 องศา และ 15×8 LL และ 90 องศา ตามลำดับ)

10.2) ตำแหน่งที่ 6 (ร้อยละ 4 3 3 และ 4 สำหรับขนาดพื้นที่ฉายรังสีและเกนท์ที่เป็น 15×10 Ant และ 0 องศา 15×10 Post และ 180 องศา 15×8 RL และ 270 องศา และ 15×8 LL และ 90 องศา ตามลำดับ)

10.3) ตำแหน่งที่ 10 (ร้อยละ 3 4 4 และ 3 สำหรับขนาดพื้นที่ฉายรังสีและเกนท์ที่เป็น 15×10 Ant และ 0 องศา 15×10 Post และ 180 องศา 15×8 RL และ 270 องศา และ 15×8 LL และ 90 องศา ตามลำดับ)



ภาพ 23 ตัวอย่างการกระจายปริมาณรังสีในระนาบกลาง (central plane) สำหรับกรณีเปิดพื้นที่ฉายรังสีแบบ 4 ทิศทาง

2.2.4 กรณีที่บล็อกพื้นที่ฉายรังสีด้วย MLC ตามการเปิดพื้นที่การฉายรังสีด้วย จอร์ (Automatic expansion and customized blocking) [26]

การตรวจสอบการทำงานแบบอัตโนมัติของ Aperture ในระบบคอมพิวเตอร์วางแผนการรักษาและการกำหนดบล็อกด้วย MLC สำหรับการคำนวณปริมาณรังสีในปอดที่มีเนื้อเยื่อต่างกันและวัดที่ตำแหน่งกึ่งกลางชูที่ 2 และ 7 ตามขั้นตอน ดังนี้

1) นำภาพเอกซเรย์คอมพิวเตอร์ของหุ่นจำลอง IMRT thorax มาวางแผนการรักษาด้วยระบบคอมพิวเตอร์วางแผนการรักษาเรย์สเต็กชั้นด้วยเงื่อนไขดังตาราง 5 และลักษณะการบล็อกด้วย MLC แสดงดังภาพ 24 (x) และกำหนดปริมาณรังสี 2 เגרย์ที่จุดอ้างอิงที่ 2

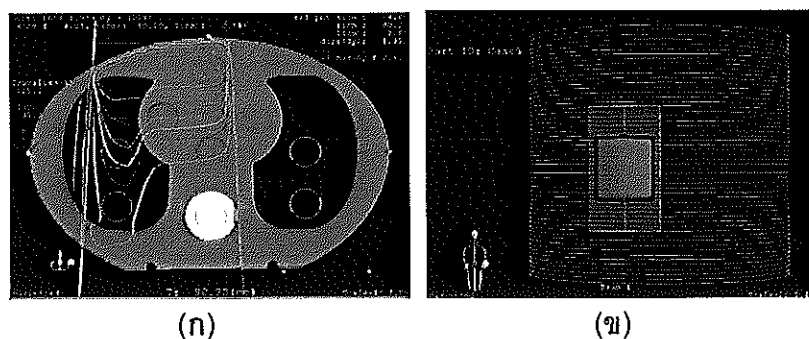
2) เมื่อคำนวณปริมาณรังสีแล้วลักษณะการกระจายปริมาณรังสีแสดงดังภาพ 24 (g) จากนั้นจดบันทึกค่าปริมาณรังสีที่คำนวณได้จากระบบคอมพิวเตอร์วางแผนการรักษาตำแหน่งที่ 2 และ 7

3) โหลดแผนการรักษาที่เข้าสู่ระบบควบคุมเครื่องฉายรังสีเพื่อปรับให้หุ่นจำลอง IMRT thorax ไปอยู่ในตำแหน่ง Isocenter สำหรับแผนการรักษาดังกล่าว แล้วเลื่อนเตียงแนว Lateral และแนว Vertical (Down) 4 เซนติเมตร และ 3 เซนติเมตร ตามลำดับ (ซึ่งเป็น Isocentre ที่ hole #2) และใส่ custom block หรือ conform MLC

4) ใช้วัดไอโอดีนเซ็นเซอร์ชนิด FC65G ในตำแหน่งที่ 2 และนับวัดค่าสัญญาณไฟฟ้าจากอิเล็กโทรมิเตอร์ทั้ง 3 ครั้ง

5) จากนั้นเปลี่ยนตำแหน่งการวัดเป็นตำแหน่งที่ 7 และนับวัดค่าสัญญาณไฟฟ้าจากอิเล็กโทรมิเตอร์ทั้ง 3 ครั้งแก้ค่าพารามิเตอร์ที่มีผลต่อการนับวัดต่าง ๆ (N_{ow} , k_{pol} , k_S , k_{QQo} , k_{TP}) [34]

6) วิเคราะห์ผลเทียบค่าปริมาณรังสีระหว่างการวัดและการคำนวณโดยเกณฑ์ค่าร้อยละที่ยอมรับได้ (Agreement criteria) คือร้อยละ 2 และ 4 สำหรับตำแหน่งที่ 2 และ 7 ตามลำดับ



ภาพ 24 (ก) ตัวอย่างการกระจายปริมาณรังสีในระนาบกลาง และ (ข) ตัวอย่าง BEV สำหรับกรณีที่บล็อกพื้นที่ฉายรังสีด้วย MLC ตามการเปิดพื้นที่การฉายรังสีด้วยจอร์ [26]

2.2.5 กรณีการฉายรังสีในมุมเฉียงบนพื้นที่ฉายรังสีแบบ Irregular และแบบบล็อกบริเวณกึ่งกลางของพื้นที่ฉายรังสี (Oblique incidence with irregular field and blocking the center of the field) [26]

เป็นการตรวจสอบการคำนวนปริมาณรังสีในพื้นที่ฉายรังสีแบบ Irregular โดยการบล็อกตรงกลางพื้นที่ฉายรังสี ซึ่งกำหนด Isocentre อยู่ตำแหน่งที่ 5 โดยเปิดพื้นที่ฉายรังสีด้วยจอร์ ขนาด 20×10 ตารางเซนติเมตร มุมของเกนที่ 45 องศาและมุมของคอลลิเมเตอร์ 90 องศา ซึ่งพื้นที่ฉายรังสีถูกบล็อกด้วย MLC เป็นรูปตัวแอล (L-shaped) ขนาด 6×12 ตารางเซนติเมตร

- 1) นำภาพเอกซเรย์คอมพิวเตอร์ของหุ่นจำลอง IMRT thorax มาวางแผนการรักษาด้วยระบบคอมพิวเตอร์วางแผนการรักษาเรย์เทชันด้วยเงื่อนไขดังตาราง 5 และลักษณะการเปิดพื้นที่ฉายรังสีเป็นรูปตัวแอลด้วยการเคลื่อนที่ของ MLC ดังแสดงในภาพ 25(ก) กำหนดปริมาณรังสี 2 เกรย์ที่จุดอ้างอิงที่ 3

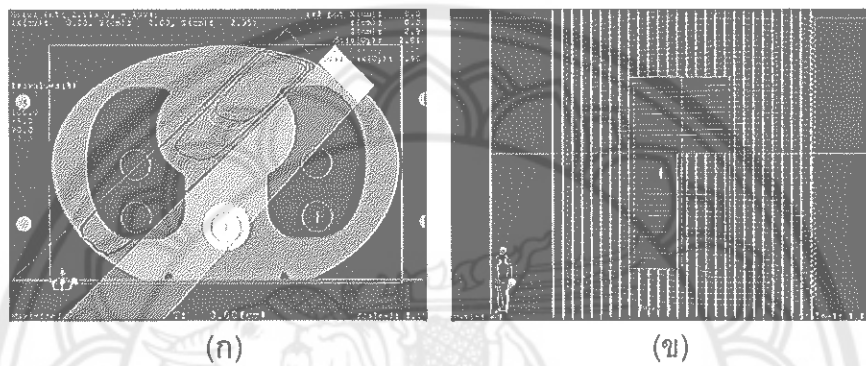
- 2) เมื่อคำนวนปริมาณรังสีแล้วลักษณะการกระจายปริมาณรังสีแสดงดังภาพ 25(ก) จากนั้นจดบันทึกค่าปริมาณรังสีที่คำนวนได้จากระบบคอมพิวเตอร์วางแผนการรักษาตำแหน่งที่ 3 7 และ 10

- 3) ให้ลดแผนการรักษาที่เข้าสู่ระบบควบคุมเครื่องฉายรังสีเพื่อปรับให้หุ่นจำลอง IMRT thorax ไปอยู่ในตำแหน่ง Isocenter สำหรับแผนการรักษาดังกล่าว

- 4) ใส่หัววัดไอโอดีนเข้าแทนเบอร์นิด FC65G ในตำแหน่งที่ 3 และใส่ custom block หรือบล็อกด้วย MLC และนับวัดค่าสัญญาณไฟฟ้าจากอิเล็กโทรมิเตอร์ทั้ง 3 ครั้ง

5) จากนั้นเปลี่ยนตำแหน่งการวัดเป็นตำแหน่งที่ 7 และ 10 และนับวัดค่าสัญญาณไฟฟ้าจากอิเล็กโทรมิเตอร์ตำแหน่งละ 3 ครั้ง จากนั้นแก้ค่าพารามิเตอร์ที่มีผลต่อการนับวัดต่าง ๆ (N_{DW} , k_{pol} , k_s , k_{QD} , k_{TP}) [34]

6) วิเคราะห์ผลเทียบค่าปริมาณรังสีระหว่างการวัดและการคำนวนโดยเกณฑ์ค่าร้อยละที่ยอมรับได้ (Agreement criteria) คือร้อยละ 3 4 และ 5 สำหรับตำแหน่งที่ 3 7 และ 10 ตามลำดับ



ภาพ 25 (ก) ตัวอย่างการฉายปริมาณรังสีในระบบกางสาม แล้ว (ข) ตัวอย่าง BEV สำหรับกรณีการฉายรังสีในมุมเฉียงบนพื้นที่ฉายรังสีแบบ Irregular และแบบบล็อกบริเวณกึ่งกลางของพื้นที่ฉายรังสี [26]

2.2.6 กรณีการฉายรังสีด้วยลำแสงที่ไม่ได้อยู่ในแนวระนาบเดียวกันด้วยการหมุนเตียงและคอลลิเมเตอร์ (Non-coplanar beams with couch and collimator rotation) [26]

การตรวจสอบการคำนวนด้วยการหมุนเตียงและคอลลิเมเตอร์ ทำโดยกำหนด 3 พื้นที่ฉายรังสีที่มุม/genที่ 3 และมุมคอลลิเมเตอร์ต่างกัน ซึ่งให้ค่าถ่วงน้ำหนักเท่ากัน และตำแหน่ง Isocenter ของวูที่ 5 และวัดที่ตำแหน่งกึ่งกลางวูที่ 5

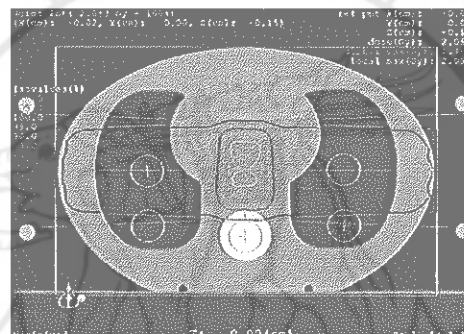
1) นำภาพเอกซเรย์คอมพิวเตอร์ของหุ่นจำลอง IMRT thorax มาวางแผนการรักษาด้วยระบบคอมพิวเตอร์วางแผนการรักษาอิคลิปส์ตามเงื่อนไขดังตาราง 5 และกำหนดปริมาณรังสี 2 เกรย์ที่จุดอ้างอิงที่ 5

2) เมื่อคำนวนปริมาณรังสีแล้วลักษณะการกระจายปริมาณรังสีแสดงดังภาพ 26 จากนั้นบันทึกค่าปริมาณรังสีที่คำนวนได้จากระบบคอมพิวเตอร์วางแผนการรักษาตำแหน่งที่ 5

3) โหลดแผนการรักษานี้เข้าสู่ระบบควบคุมเครื่องฉายรังสีเพื่อปรับให้หุ่นจำลอง IMRT thorax ไปอยู่ในตำแหน่ง Isocenter สำหรับแผนการรักษาดังกล่าว

4) ใส่หัววัดไอโอดีโนเข้าชั้นแมมเบอร์ไนด์ FC65G ในตำแหน่งที่ 5 และนับวัดค่าสัญญาณไฟฟ้าจากอิเล็กโทรมิเตอร์ทั้ง 3 ครั้งในแต่ละขนาดของพื้นที่ฉายรังสี, คอลลิเมเตอร์และเกนที่ ดังตาราง 13 จากนั้นแก้ค่าพารามิเตอร์ที่มีผลต่อการนับวัดต่าง ๆ (N_{DW} , k_{pol} , k_s , k_{QD} , k_{TP}) [34]

5) วิเคราะห์ผลเทียบค่าปริมาณรังสีระหว่างการวัดและการคำนวณโดยเกณฑ์ค่าร้อยละที่ยอมรับได้ (Agreement criteria) คือ ร้อยละ 3 3 และ 3 ที่มุนเงนที่เท่ากับ 90 270 และ 30 องศา สำหรับตำแหน่งที่ 5 ตามลำดับ



ภาพ 26 ตัวอย่างการกระจายปริมาณรังสีในระนาบกลาง (central plane) สำหรับกรณีการฉายรังสีด้วยลำรังสีที่ไม่ได้ออกซูในแนวระนาบเดียวกันด้วยการหมุนเตียงและคอลลิเมเตอร์ [26]

2.2.7 สรุปแผนการรักษาจากข้อที่ 2.2.1-2.2.6 เข้าสู่ระบบคอมพิวเตอร์วางแผนการรักษาอิคลิปส์ เพื่อคำนวณปริมาณรังสีด้วยอัลกอริทึม AAA โดยกำหนดพารามิเตอร์สำหรับการคำนวณปริมาณรังสีเหมือนกับการคำนวณด้วยอัลกอริทึม CCC ในระบบวางแผนการรักษาเรย์สเตชัน และเปรียบเทียบปริมาณรังสีที่วัดได้จริงและผลวิเคราะห์ผลตามดังตาราง 6 และลักษณะการกระจายปริมาณรังสีทั้ง 6 เส้นในของระบบวางแผนการรักษาเรย์สเตชันดังแสดงในภาพ 27

ตาราง 5 เสื่อนไขสำหรับการวางแผนการรักษาสำหรับการทดสอบในตัวกลางที่มีเนื้อเยื่อต่างกันตามมาตรฐาน IAEA TECDOC 1583 [26]

Case	Number	Set up	Reference point	Measurement point	FS (cm ²) (LxW)	Gantry angle	Collimator angle	Beam modifiers
		of beam						
1	1			1				None
		SSD=	3	3	10×10	0	0	
		100		5				
		cm		9				
				10				
3	1	SSD=	3	3	14x14	0	45	Block or
		SAD			Shaped to			MLC
					10x10			
4	4	SAD	5	5	15x10Ant	0	0	None
				6	15x10Post	180	0	
				10	15x8 RL	270	0	
					15x8 LL	90	0	
5	1	SAD	2	2	defined	0	45	Custom
				7	by block			block or
					or MLC			MLC
6	1	SAD	3	3	L-shaped	45	90	Custom
				7	10x20			block or
				10				MLC
8	3	SAD	5	5	4x16 LL	90	330	None
					4x16 RL	270	30	
					4x4 (table	30	0	
					270)			

**ตาราง 6 เกณฑ์การตรวจสอบความถูกต้องของการคำนวณปริมาณรังสีในระบบ
คอมพิวเตอร์วางแผนการรักษาสำหรับตัวกลางที่มีเนื้อเยื่อต่างกัน [26]**

ลักษณะการทดสอบ	การทดสอบที่	ตัวแหน่ง ที่วัด	การยอมรับ (ร้อยละ)
การทดสอบตามขนาดพื้นที่ฉายรังสีอ้างอิง 10×10 ซม. ²	1	1 3*) 5 9 10	2 2 2 4 3
การล็อกบริเวณมุขของพื้นที่ฉายรังสี	3	3*)	3
กำหนดพื้นที่ฉายรังสีในลักษณะเป็นกล่องด้วย 4 ทิศทางของลำรังสีในแนวซ้าย ขวา หน้า หลัง	4	5*) 0° 90° 270° 180° 6*) 0° 90° 270° 180° 10*) 0° 90° 270° 180°	2 3 3 3 4 3 4 3 3 4 3 4
กำหนดล็อกของพื้นที่ฉายรังสีด้วย MLC	5	2*) 7	3 4
วางแผนสำหรับพื้นที่ฉายรังสีรูปตัวแอล (L) โดย ลำรังสีตัดกรอบแบบเจียง	6	3*) 7 10	3 5 5
วางแผนสำหรับพื้นที่ฉายรังสีโดยที่ลำรังสีไม่ได้ อยู่ในระนาบ	8	90° 270° 30°	3 3 3

หมายเหตุ: *) หมายถึงตำแหน่งดังกล่าวเป็นตำแหน่ง Isocenter

ซึ่งวิธีการหาค่าร้อยละความคลาดเคลื่อนของปริมาณรังสีแบบจุดระหว่างการคำนวณด้วยสองขั้นตอนหรือทีมและการวัดทั้งสำหรับการทดสอบในหุ่นจำลองที่มีเนื้อเยื่อต่างกัน จากสมการที่ 13 [26]

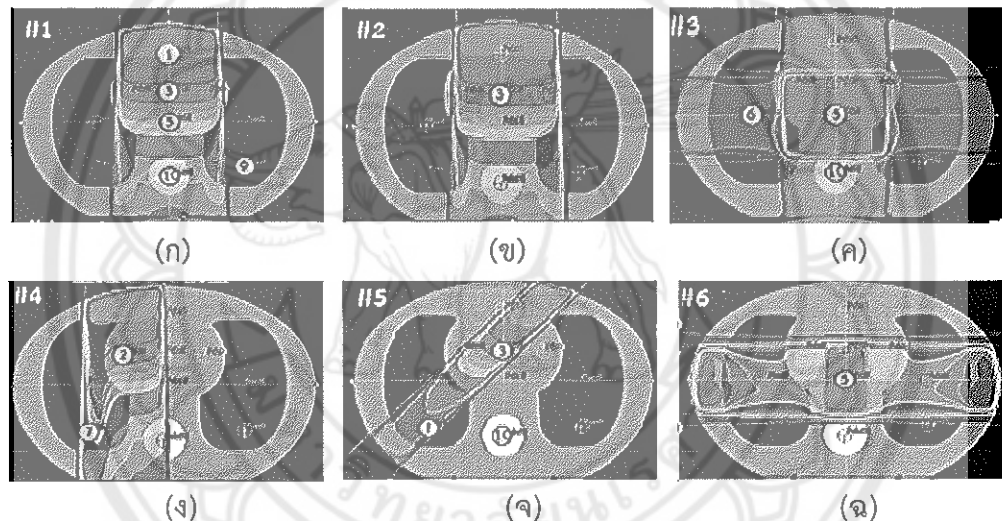
$$\text{Error (\%)} = \frac{D_{\text{cal}} - D_{\text{meas}}}{D_{\text{meas,ref}}} \quad (13)$$

เมื่อ Error (%) คือ ค่าร้อยละความคลาดเคลื่อนของปริมาณรังสีแบบจุด

D_{cal} คือ ปริมาณรังสีแบบจุดที่คำนวณจากคอมพิวเตอร์วางแผนการรักษา

D_{meas} คือ ปริมาณรังสีแบบจุดที่ได้จากการวัดที่ทำແเน່ງໄດ້

$D_{\text{meas,ref}}$ คือ ปริมาณรังสีแบบจุดที่ได้จากการวัดในทำແเน່ງอ้างอิงของแต่ละการทดสอบ



ภาพ 27 (ก) ทำແນ່ງของการวัดในหุ่นจำลอง IMRT thorax และการกระจายปริมาณรังสีในการทดสอบตามขนาดพื้นที่ฉายรังสีอ้างอิง 10×10 ตารางเซนติเมตร (ຂ) การบล็อกบริเวณมุมของพื้นที่ฉายรังสี (ຄ) การกำหนดพื้นที่ฉายรังสีแบบ 4 ทิศทางในแนวซ้าย ขวา หน้า หลัง (ງ) การกำหนดดูบล็อกของพื้นที่ฉายรังสีด้วย MLC (ຈ) การกำหนดพื้นที่ฉายรังสีรูปตัวแอลโดย捺รังสีตกกระทบแบบเฉียง (ລ) การกำหนดพื้นที่ฉายรังสีโดยที่捺รังสีไม่ได้อยู่ในระนาบ

3. การตรวจสอบความถูกต้องของการกระจายปริมาณรังสี (Dose distribution) ที่คำนวณด้วยอัลกอริทึม CCC และ AAA เทียบกับการวัดด้วยฟิล์มนิคภาพโครมิกในหุ่นจำลองที่มีเนื้อเยื่อต่างกัน

3.1 นำหุ่นจำลอง IMRT thorax ไปถ่ายภาพเอกซเรย์คอมพิวเตอร์ ซึ่งความหนาของสไลด์ของภาพเท่ากับ 2.5 มิลลิเมตร และนำภาพเข้าสู่เครื่องคอมพิวเตอร์วางแผนการรักษา เรย์สเตชั่น

3.2 วัดขอบเขตของก้อนมะเร็งระหว่างตำแหน่งที่ 5 และ 6 ของหุ่นจำลอง IMRT thorax ในตำแหน่งปอดด้านขวาลิบล่างที่มีขนาดเส้นผ่านศูนย์กลางเฉลี่ย (Diameter equivalent) เท่ากับ 4 เซนติเมตร ดังแสดงในภาพ 28(ก) ซึ่งเป็นข้อมูลที่ศึกษาในผู้ป่วยมะเร็งปอดชนิดเซลล์โต ในขั้นตอนที่ 1 และอยู่ระหว่างไอล์เดียงคีอ ปอด และกระดูกสันหลัง โดยกำหนดปริมาณรังสีที่ก้อนมะเร็งได้รับ 60 เกรย์ (20 เกรย์ต่อ 3 ครั้ง) และอัตราปริมาณรังสี 1400 มอนิเตอร์ยูนิตต่อนาที สำหรับพลังงาน 6 เมกะโวლต์ที่ไม่ใช้ตัวกรองปรับเรี่ยบ และ 2400 มอนิเตอร์ยูนิตต่อนาที สำหรับพลังงาน 10 เมกะโวลต์ที่ไม่ใช้ตัวกรองปรับเรี่ยบ

3.3 กำหนดทิศทางของลำรังสีโดยหมุนเต็ม 2 รอบ (2 Full arcs) จากมุม 179 – 181 องศา จำนวน 1 รอบตามเข็มนาฬิกา และ 1 รอบทางเข็มนาฬิกา ด้วยเทคนิคปรับความเบี้ยวลำรังสี แบบหมุนรอบตัวผู้ป่วย (VMAT) ไฟต่อนพลังงาน 6 และ 10 เมกะโวลต์ที่ไม่ใช้ตัวกรองปรับเรี่ยบ โดยอ้างอิงจากเกณฑ์ RTOG 0813 สำหรับการปรับความเหมาะสมของปริมาณรังสีในขั้นตอนการ Optimization จากนั้นคำนวณปริมาณรังสีด้วยอัลกอริทึม CCC และมีการกระจายปริมาณรังสี ดังแสดงในภาพ 28(ข)

3.4 จากนั้นส่งแผนการรักษาจากเรย์สเตชั่นเข้าสู่ระบบคอมพิวเตอร์วางแผนการรักษาอิเล็กตรอนเพื่อคำนวณปริมาณรังสีใหม่ด้วยอัลกอริทึม AAA โดยกำหนดลักษณะการเคลื่อนที่ของ MLC และค่ามอนิเตอร์ยูนิตเท่ากับแผนการรักษาจากเรย์สเตชั่น (อัลกอริทึม CCC)

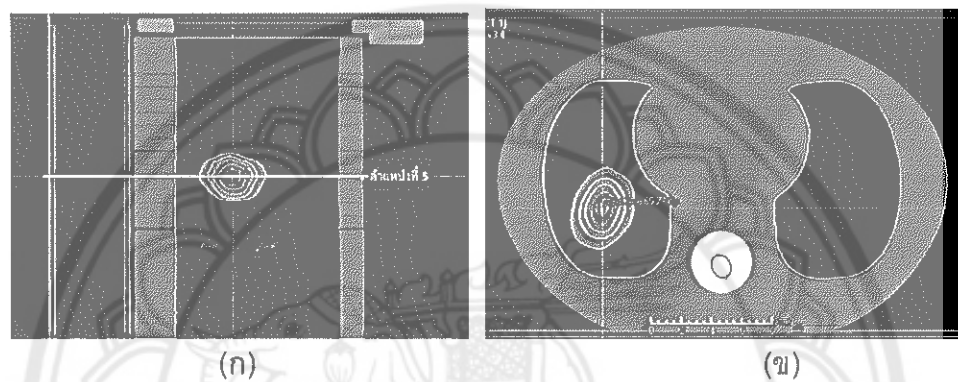
3.5 สำหรับการวัดปริมาณรังสีในหุ่นจำลอง IMRT thorax

3.5.1 ทำการคลิปสีที่ตำแหน่งที่ไม่ใช้ตัวกรองปรับเรี่ยบก่อนการฉายรังสีตามแผนการรักษาเพื่อปรับเทียบค่าปริมาณรังสีในช่วงค่าปริมาณรังสีสูง สำหรับการฉายรังสีแบบ SBRT กับค่าความด้าของฟิล์ม ซึ่งแสดงในภาพผนวก ๖

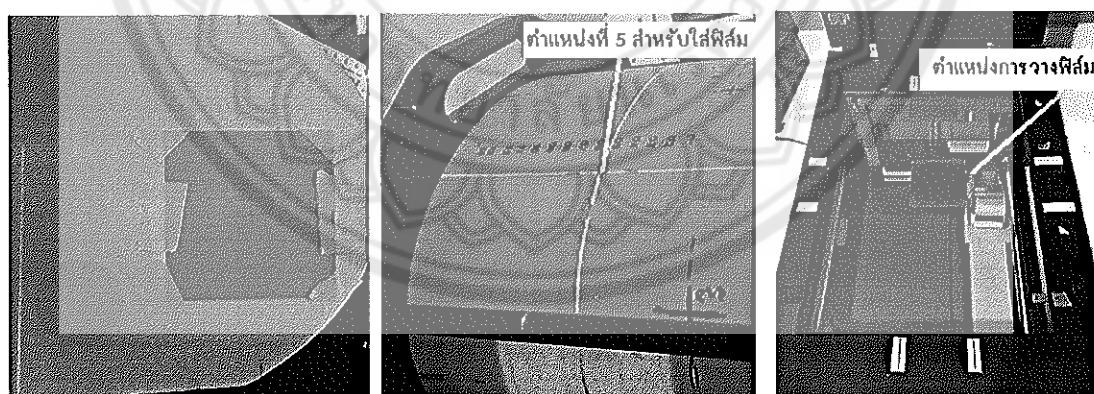
3.5.2 วางฟิล์มที่ในหุ่นจำลองระหว่างตำแหน่งที่ 5 และ 6 ซึ่งเป็นตำแหน่งของก้อนมะเร็ง ดังแสดงในภาพ 29 (ก) และโหลดแผนการรักษาในระบบควบคุมเครื่องฉายรังสีเพื่อติดตั้งหุ่นจำลองให้เป็นไปตามแผนการรักษา ดังแสดงในภาพ 29 (ข) ทั้งพลังงาน 6 และ 10 เมกะโวลต์ที่ไม่ใช้ตัวกรองปรับเรี่ยบ

3.6 นำฟิล์มที่ฉายรังสีทึ้งไว้เป็นเวลา 24 ชั่วโมง จากนั้นนำฟิล์มเข้าเครื่องอ่านฟิล์มโดยการวางฟิล์มให้อยู่กึ่งกลางตั้งแสดงในภาพ 29 (ค) เเล้วสแกนฟิล์มให้ได้ค่าความชำรุดที่เทียบเท่ากับค่าปริมาณรังสีเพื่อนำไปวิเคราะห์เปรียบเทียบกับลักษณะการกระจายปริมาณรังสีของแผนกรังสีทั่วๆ ที่คำนวณจากทั้งสองอัลกอริทึมโดยใช้โปรแกรมแมปเช็ค (MapCHECK) ดังแสดงในภาพ 30

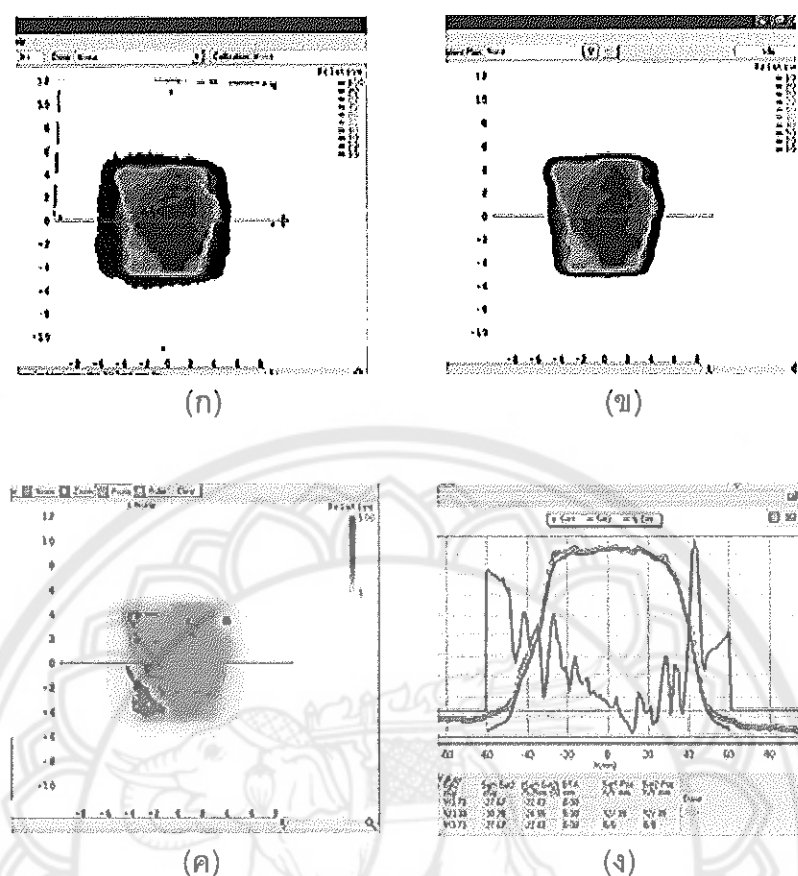
3.6.1 เลือกการประเมินแบบปริมาณรังสีสัมพัทธ์ (Relative dose) ใช้ค่าอัตราการฝานแกมมา ร้อยละ 3/3 มิลลิเมตร ที่ระดับร้อยละอัตราการฝานแกมมา 90 [53]



ภาพ 28 (ก) ตำแหน่งที่ 5 ของฟิล์มของหุ่นจำลองสำหรับการวัดการกระจายปริมาณรังสี และ(ข) การกระจายปริมาณรังสีในแนวภาคตัดขวางในหุ่นจำลอง IMRT thorax



ภาพ 29 (ก) การติดฟิล์มในตำแหน่งที่ 5 ของหุ่นจำลอง IMRT thorax
 (ข) การติดตั้งหุ่นจำลองด้วย Laser ในตำแหน่งที่ 5 ของการติดฟิล์ม
 (ค) ตำแหน่งการวางฟิล์มที่ได้รับการฉายรังสีลงบนเครื่องสแกนฟิล์ม



ภาพ 30 ตัวอย่างหน้าต่างของโปรแกรมแมปเช็คโดยที่ (ก) การกระจายปริมาณรังสีที่วัดได้จากพิล์ม (ข) การกระจายปริมาณรังสีที่คำนวณจากการวางแผนการรักษา (ค) และ (ง) ค่าความแตกต่างของการกระจายปริมาณรังสีระหว่างการวัดจากพิล์ม และระบบวางแผนการรักษาด้วยเกณฑ์อัตราการผ่านแกมมา และ โปรไฟล์ในแนวแกนกลาง ตามลำดับ

4. การประเมินแผนการรักษาและห่วงการคำนวณด้วยอัลกอริทึม CCC และ AAA ของผู้ป่วย 17 รายตามมาตรฐาน RTOG 0813

4.1 ส่งแผนการรักษาของผู้ป่วย 17 รายที่ถูกขยายรังสีครบตามแผนการรักษาที่คำนวณด้วยอัลกอริทึม AAA ของเครื่องคอมพิวเตอร์วางแผนการรักษาอิคลิปส์ เข้าสู่เครื่องคอมพิวเตอร์วางแผนการรักษาเรย์สเตรชัน

4.2 วางแผนการรักษาโดยกำหนดปริมาณรังสี พลังงาน และทิศทางของลำรังสี เมื่อกับแผนการรักษาดังเดิมในแต่ละแผนการรักษา คือ 48 เกรย์ (12 เกรย์ต่อ 4 ครั้ง) 50 เกรย์ (10 เกรย์ต่อ 5 ครั้ง) หรือ 60 เกรย์ (20 เกรย์ต่อ 3 ครั้ง) อัตราปริมาณรังสีที่ใช้ 1400 และ 2400 มอนิเตอร์ ยูนิตต่อนาทีสำหรับพลังงาน 6 และ 10 เมกะโวลด์ที่ไม่ใช้ตัวกรองปรับเรียบตามลำดับ และ Optimization ให้ฝ่านเกณฑ์มาตรฐาน RTOG 0813 ดังตาราง 7 และ 8

4.3 ส่งแผนการรักษาของเรย์สเตรชันจากข้อที่ 4.2 เข้าสู่เครื่องคอมพิวเตอร์วางแผนการรักษาอิคลิปส์แล้วคำนวณปริมาณรังสีด้วยอัลกอริทึม AAA ในมี โดยกำหนดลักษณะของ MLC และค่าอนิเตอร์ยูนิตสำหรับขยายรังสีเท่ากับแผนการรักษาของเรย์สเตรชัน

4.4 การประเมินผลสำหรับปริมาณรังสีที่คำนวณได้จากอัลกอริทึม CCC และ AAA ด้วยเกณฑ์ การประเมิน RTOG 0813

4.4.1 สำหรับปริมาณรังสีของก้อนมะเร็ง (PTV)

1) พิจารณาปริมาณรังสีสูง (High dose spillage) ในลักษณะปริมาตร และตำแหน่งที่ได้รับปริมาณรังสีสูงด้วย $R_{100\%}$ ทั้งนี้ขึ้นกับปริมาตรของ PTV ซึ่งเมื่อ $R_{100\%} < 1.2$ กำหนดเป็น Non deviation ถ้ามีค่า $1.2 < R_{100\%} < 1.5$ กำหนดเป็น Minor deviation และ $R_{100\%} > 1.5$ กำหนดเป็น Major deviation (Major deviation แสดงถึงแผนการรักษาที่มีประสิทธิภาพไม่เป็นไปตามเกณฑ์ RTOG 0813) ดังแสดงตาราง 7 ซึ่งค่า $R_{100\%}$ คำนวณหาได้จากการที่ 14

$$\frac{\text{Prescription Isodose Volume}}{\text{PTV Volume}}$$

(14)

เมื่อ Prescription Isodose Volume คือปริมาตรของก้อนมะเร็งที่เส้นปริมาณรังสีร้อยละ 100 คลุม Prescription Isodose Volume คือปริมาตรของก้อนมะเร็งทั้งหมด

2) พิจารณาปริมาณรังสีต่ำ (Low dose spillage) ในลักษณะปริมาตร และตำแหน่งที่ได้รับปริมาณรังสีต่ำด้วย $R_{50\%}$ และ D_{2cm} ตามลำดับ ทั้งนี้ขึ้นกับปริมาตรของ PTV แสดงถึงค่า $R_{50\%}$ และ D_{2cm} ที่มีค่าต่างกันออกໄไป เช่น เมื่อ PTV มีปริมาตรเท่ากับ 3.8 ลูบิกเมตร

เซนติเมตร เมื่อคำนวณค่า $R_{50\%}$ < 5.5 กำหนดเป็น Non deviation ถ้ามีค่า $5.5 < R_{50\%} < 6.5$ กำหนดเป็น Minor deviation และ $R_{50\%} > 6.5$ กำหนดเป็น Major deviation เป็นต้น ถ้าปริมาตรของ PTV ไม่ได้มีค่าตรงกับค่าในตารางเกณฑ์การประเมินให้ทำการ Interpolation ระหว่างค่าปริมาตรที่ใกล้เคียงกับปริมาตรที่สนใจ ซึ่งค่า $R_{50\%}$ คำนวณได้จากสมการที่ 15

$$\frac{50\% \text{ Prescription Isodose Volume}}{\text{PTV Volume}} \quad (15)$$

เมื่อ 50% Prescription Isodose Volume คือปริมาตรของก้อนมะเร็งที่ได้รับปริมาณรังสีร้อยละ 50 คลูม

Prescription Isodose Volume คือปริมาตรของก้อนมะเร็งทั้งหมด

ส่วน $D_{2\text{cm}}$ ได้จากการวัดขอบเขตออกไปเป็นระยะ 2 เซนติเมตรจากขอบของ PTV เพื่อแสดงให้เห็นถึงตำแหน่งที่เกิดค่าปริมาณรังสีต่ำ (Low dose region) สำหรับแผนกรักษาด้วยเทคนิค SBRT

3) พิจารณาปริมาณรังสีของ PTV ด้วย Dose volume histogram (DVH) ด้วยการประเมินค่า D_{\max} D_{\min} D_{mean} $D_{95\%}$ และ $D_{99\%}$ เพื่อแสดงให้เห็นถึงค่าปริมาณรังสีสูงสุด ปริมาณรังสีต่ำสุด ปริมาณรังสีเฉลี่ย ของแผนกรักชานั้น ๆ โดยใช้สถิติ Wilcoxon sign rank test ในโปรแกรม Excel เพื่อแสดงให้เห็นถึงความแตกต่างอย่างมีนัยสำคัญทางสถิติ

4.4.2 การประเมินปริมาณรังสีของอวัยวะเสี่ยงที่ได้รับ โดยเกณฑ์การประเมินแสดงดังตารางที่ 8

- 1) สำหรับปอด (Lung total) ประเมินด้วยค่า $V_{20\%}$ และ $D_{1500\text{cc}}$
- 2) สำหรับกระดูกสันหลัง (Spinal cord) ประเมินด้วยค่า D_{\max} $D_{0.5\text{cc}}$ และ $D_{0.25\text{cc}}$

ตาราง 7 ค่าการยอมรับของเกณฑ์การประเมินแผนกรักษาของของprotocol RTOG
0813 [42]

PTV Volume (cc)	$R_{100\%}$		$R_{50\%}$		D_{2cm} (Gy)		$V_{20\%}$ (Lung)	
	Deviation		Deviation		Deviation		Deviation	
	None	Minor	None	Minor	None	Minor	None	Minor
1.8	<1.2	<1.5	<5.9	<7.5	<50.0	<57.0	<10	<15
3.8	<1.2	<1.5	<5.5	<6.5	<50.0	<57.0	<10	<15
7.4	<1.2	<1.5	<5.1	<6.0	<50.0	<58.0	<10	<15
13.2	<1.2	<1.5	<4.7	<5.8	<50.0	<58.0	<10	<15
22.0	<1.2	<1.5	<4.5	<5.5	<54.0	<63.0	<10	<15
34.0	<1.2	<1.5	<4.3	<5.3	<58.0	<68.0	<10	<15
50.0	<1.2	<1.5	<4.0	<5.0	<62.0	<77.0	<10	<15
70.0	<1.2	<1.5	<3.5	<4.8	<66.0	<86.0	<10	<15
95.0	<1.2	<1.5	<3.3	<4.4	<70.0	<89.0	<10	<15
126.0	<1.2	<1.5	<3.1	<4.0	<73.0	>91.0	<10	<15
163.0	<1.2	<1.5	<2.9	<3.7	<77.0	>94.0	<10	<15

ตาราง 8 ค่าการยอมรับของปริมาณรังสีและปริมาตรจำกัดสำหรับอวัยวะเสี่ยงของ
โปรต็อกอล RTOG 0813 [42]

Serial Tissue	Volume (cc)	Volume Max (Gy)	Max Point Dose (Gy)	Avoidance Endpoint
Spinal cord	<0.25	22.5 Gy (4.5 Gy/fx)	30 Gy(6 Gy/fx)	myelitis
	<0.25	13.5 Gy (2.7 Gy/fx)		
Ipsilateral Brachial	<0.3	30 Gy(6 Gy/fx)	32Gy(6.4 Gy/fx)	neuropathy
Skin	<10	30 Gy(6 Gy/fx)	32Gy(6.4 Gy/fx)	Ulceration
Parallel Tissue	Critical Volume	Critical Volume Dose Max (Gy)		Avoidance Endpoint
	1500	12.5 Gy (2.5 Gy/fx)		Basic Lung Function
Lung (Right & Left)	1000	12.5 Gy (2.5 Gy/fx)		Pneumonitis

บทที่ 4

ผลการวิจัย

ผลการศึกษาข้อมูลขนาดและตำแหน่งของก้อนมะเร็งระยะแรกของผู้ป่วยที่ผ่านการรักษาด้วยเทคนิค SBRT และมีการคำนวณปริมาณรังสีด้วยอัลกอริทึม AAA ในระบบวางแผนการรักษาอิเล็กตรอนิกส์

จากการศึกษาข้อมูลของขนาดและตำแหน่งของก้อนมะเร็งปอดชนิดเชลล์ติณ โรงพยาบาลจุฬาภรณ์ในปี พ.ศ. 2553-2559 แสดงรายละเอียดดังตารางที่ 8 ซึ่งพบว่า มีผู้ป่วยทั้งหมด 17 ราย

- สำหรับขนาดเส้นผ่านศูนย์กลางของ PTV (Diameter equivalent) ในช่วง $1 < x < 3$ เคลื่อนเท่ากับ 2.3 เซนติเมตร ส่วนช่วง $3 < x < 5$ เคลื่อนเท่ากับ 4.0 ซม และในช่วง $x > 5$ เซนติเมตร
- สำหรับตำแหน่งของก้อนมะเร็ง (PTV) จากการศึกษาพบว่าจำนวน PTV ของปอดด้านขวากลีบบน (RUL) เท่ากับ 3 PTV ปอดด้านขวากลีบกลาง (RML) เท่ากับ 3 PTV ปอดด้านขวากลีบล่าง (RLL) เท่ากับ 8 PTV ปอดด้านซ้ายกลีบบน (LUL) เท่ากับ 5 PTV และปอดด้านซ้ายกลีบล่าง (LLL) เท่ากับ 2 PTV

จากการแสดงให้เห็นว่าขนาดเส้นผ่านศูนย์กลางในช่วง $3 < x < 5$ เซนติเมตรและตำแหน่งของก้อนมะเร็งที่ปอดด้านขวากลีบล่างมีจำนวนมากที่สุด ดังตาราง 9

ตาราง 9 ข้อมูลขนาดและตำแหน่งของก้อนมะเร็งปอดชนิดเซลล์トイของผู้ป่วยที่ทำการรักษาด้วยเทคนิค SBRT ณ โรงพยาบาลจุฬาภรณ์

ผู้ป่วย ที่	พัฒนา (FFF)	ขนาดเส้นผ่าศูนย์กลาง ของ PTV (เซนติเมตร)	ตำแหน่งของก้อนมะเร็ง (PTV)							
			ปอดด้านขวา				ปอดด้านซ้าย			
			6	10	1 <X<3	3 <X<5	X>5	กลีบปอด บน (RUL)	กลีบ ปอด กลาง (RML)	กลีบ ปอด ล่าง (RLL)
1	✓	3.0							✓	
2	✓	3.3								✓
	✓	2.6							✓	
	✓	2.1					✓			
3	✓	1.9							✓	
4	✓	2.0							✓	
5	✓	4.4							✓	
6	✓				7.5				✓	
	✓				5.5			✓		
7									✓	
8	✓	2.8					✓			
9	✓	2.1							✓	
10	✓			3.7			✓			
11	✓			5.0			✓			
12	✓			4.8						✓
13	✓			4.1				✓		
14	✓			4.9					✓	
15	✓			3.1					✓	
16	✓	2.3								✓
17	✓			3.2					✓	
สรุป		2.3	4.0	6.5	3	3	8	5	1	

ผลการตรวจสอบความถูกต้องของปริมาณรังสีแบบจุด (Point dose) สำหรับอัลกอริทึม AAA ในระบบวางแผนการรักษาอิคลิปส์และอัลกอริทึม CCC ในระบบวางแผนการรักษาเรย์สเตรชั่นในหุ่นจำลองที่มีเนื้อเยื่ออเดียวกันและมีเนื้อเยื่อต่างกัน

1. การตรวจสอบความถูกต้องของปริมาณรังสีแบบจุดที่คำนวณด้วยอัลกอริทึม AAA และ CCC ในตัวกลางที่เป็นเนื้อเยื่ออเดียวกัน

สำหรับพลังงาน 6 เมกะโวัลต์ ที่ไม่ใช้ตัวรองปรับเรียบ ที่ความลึก 5 เซนติเมตร

ผลการทดสอบของพื้นที่ฉายรังสีรูปสี่เหลี่ยมจตุรัส (Square fields) พบว่า มีค่าร้อยละความคลาดเคลื่อนของปริมาณรังสีระหว่างการวัดและการคำนวณไม่เกินร้อยละ 2 ทั้ง 2 อัลกอริทึม ซึ่งผลของอัลกอริทึม CCC มีค่าใกล้เคียงกับการวัดโดยมีค่าร้อยละความคลาดเคลื่อนน้อยกว่า 1.5 อยู่ในช่วงร้อยละ -1.35 ถึง -0.67 ในขณะที่ผลของอัลกอริทึม AAA มีค่าร้อยละความคลาดเคลื่อนอยู่ในช่วงร้อยละ -1.93 ถึง -1.13 (แสดงผลในภาคผนวก ก)

ผลการทดสอบของพื้นที่ฉายรังสีรูปสี่เหลี่ยมผืนผ้า (Rectangular fields) พบว่า ผลของอัลกอริทึม CCC มีค่าร้อยละความคลาดเคลื่อนของปริมาณรังสีอยู่ในช่วง -0.77 ถึง -0.58 ในขณะที่ผลของอัลกอริทึม AAA มีค่าร้อยละความคลาดเคลื่อนอยู่ในช่วง -1.91 ถึง -1.87 ซึ่งอยู่ในเกณฑ์ที่ยอมรับได้น้อยกว่าร้อยละ 2 (แสดงผลในภาคผนวก ก)

ผลการทดสอบของพื้นที่ฉายรังสีโดยขยายระยะจากต้นกำเนิดรังสีถึงผิวตัวกลาง 110 เซนติเมตร (Extended SSD 110 cm) พบว่าผลของอัลกอริทึม CCC มีค่าร้อยละความคลาดเคลื่อนน้อยกว่าร้อยละ 2 อยู่ในช่วง -1.83 ถึง -0.87 ในขณะที่ผลของอัลกอริทึม AAA มีค่าร้อยละความคลาดเคลื่อนอยู่ในช่วง -2.43 ถึง -1.95 โดยค่าที่เกินเกณฑ์ที่ยอมรับได้เกิดที่พื้นที่ฉายรังสี 5x5 ตารางเซนติเมตร ดังแสดงในภาพ 31 (ก)

ผลการทดสอบของพื้นที่ฉายรังสีที่ลำรังสีตัดกระหบตัวกลางในแนวเฉียง 30 องศา (Oblique incident 30°) พบว่าผลของอัลกอริทึม CCC และ AAA มีค่าร้อยละความคลาดเคลื่อนเท่ากับ -0.79 และ -1.95 ตามลำดับ (แสดงผลในภาคผนวก ก)

ผลของการทดสอบของพื้นที่ฉายรังสีที่กำหนดรูปร่างด้วย MLC (Shaped Fields) พบว่าผลของอัลกอริทึม CCC มีค่าร้อยละความคลาดเคลื่อนอยู่ในช่วง -0.93 ถึง 1.93 ในขณะที่ผลของอัลกอริทึม AAA มีค่าอยู่ในช่วงร้อยละ -2.37 ถึง 2.29 ซึ่งผลทั้งสองอัลกอริทึมอยู่ในเกณฑ์ที่ยอมรับได้ร้อยละ 3 (แสดงผลในภาคผนวก ก)

สำหรับพลังงาน 10 เมกะโวัลต์ ที่ไม่ใช้ตัวรองปรับเรียบ ที่ความลึก 5 เซนติเมตร

ผลการทดสอบของพื้นที่ฉายรังสีรูปสี่เหลี่ยมจตุรัส (Square fields) พบว่า มีค่าร้อยละความคลาดเคลื่อนของปริมาณรังสีระหว่างการวัดและการคำนวณไม่เกินร้อยละ 2 ทั้ง

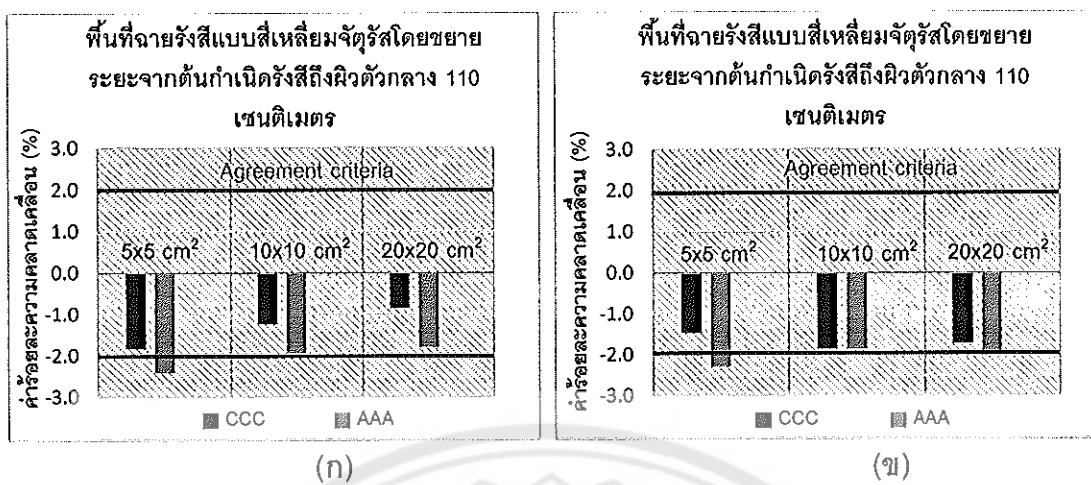
2 อัลกอริทึม ซึ่งผลของอัลกอริทึม CCC มีค่าร้อยละความคลาดเคลื่อนอยู่ในช่วงร้อยละ -1.74 ถึง -1.53 ในขณะที่ผลของอัลกอริทึม AAA มีค่าร้อยละความคลาดเคลื่อนอยู่ในช่วงร้อยละ -1.95 ถึง -1.63 (แสดงผลในภาคผนวก ก)

ผลการทดสอบของพื้นที่ฉายรังสีรูปสี่เหลี่ยมผืนผ้า (Rectangular fields) พบว่า ผลของอัลกอริทึม CCC มีค่าร้อยละความคลาดเคลื่อนของปริมาณรังสีอยู่ในช่วง -1.71 ถึง -1.63 ในขณะที่ผลของอัลกอริทึม AAA มีค่าร้อยละความคลาดเคลื่อนอยู่ในช่วง -1.92 ถึง -1.74 ซึ่งอยู่ในเกณฑ์ที่ยอมรับได้ร้อยกว่าร้อยละ 2 (แสดงผลในภาคผนวก ก)

ผลการทดสอบของพื้นที่ฉายรังสีโดยขยายระยะจากต้นกำเนิดรังสีถึงผิwtตัวกลาง 110 เซนติเมตร (Extended SSD 110 cm) พบว่าผลของอัลกอริทึม CCC มีค่าร้อยละความคลาดเคลื่อนน้อยกว่าร้อยละ 2 อยู่ในช่วง -1.86 ถึง -1.47 ในขณะที่ผลของอัลกอริทึม AAA มีค่าร้อยละความคลาดเคลื่อนอยู่ในช่วง -2.31 ถึง -1.86 โดยค่าที่เกินเกณฑ์ที่ยอมรับได้เกิดที่พื้นที่ฉายรังสี 5×5 ตารางเซนติเมตร ซึ่งให้ผลไปในทางเดียวกับผลของพลังงาน 6 เมกะโวัตต์ที่ไม่ใช้ตัวกรองปรับเรียบ ดังแสดงในภาพ 31(ข)

ผลการทดสอบของพื้นที่ฉายรังสีที่ลำรังสีตกกระทบตัวกลางในแนวเฉียง 30 องศา (Oblique Incident 30°) พบว่า ผลของอัลกอริทึม CCC และ AAA มีค่าร้อยละความคลาดเคลื่อนเท่ากับ -1.85 และ -1.95 ตามลำดับ (แสดงผลในภาคผนวก ก)

ผลของการทดสอบของพื้นที่ฉายรังสีที่กำหนดรูปร่างด้วย MLC (Shaped Fields) พบว่า ผลของอัลกอริทึม CCC มีค่าร้อยละความคลาดเคลื่อนอยู่ในช่วง -1.64 ถึง 1.46 ในขณะที่ผลของอัลกอริทึม AAA มีค่าอยู่ในช่วงร้อยละ -2.06 ถึง 1.64 ซึ่งผลทั้งสองอัลกอริทึมอยู่ในเกณฑ์ที่ยอมรับได้ร้อยละ 3 (แสดงผลในภาคผนวก ก)



ภาพ 31 (ก) กราฟค่าร้อยละความคลาดเคลื่อนของปริมาณรังสีแบบจุดระหว่างการวัดและการคำนวณด้วยอัลกอริทึม CCC และ AAA ของการทดสอบการเปิดพื้นที่ใช้รังสีสี่เหลี่ยมจัตุรัสโดยขยายระยะการฉายรังสีจากต้นกำเนิดรังสีถึงผิวของตัวกลางเป็นระยะทาง 110 เซนติเมตร ที่ความลึก 5 เซนติเมตรสำหรับพลังงาน 6 เมกะโวลต์ที่ไม่ใช้ตัวกรองปรับเรียบ (ข) สำหรับพลังงาน 10 เมกะโวลต์ที่ไม่ใช้ตัวกรองปรับเรียบ

สำหรับพลังงาน 6 เมกะโวลต์ ที่ไม่ใช่ตัวกรองปรับเรียบ ที่ความลึก 10 เซนติเมตร ผลการทดสอบของพื้นที่ใช้รังสีสี่เหลี่ยมจัตุรัส (Square fields) พบว่ามีค่าร้อยละความคลาดเคลื่อนของปริมาณรังสีระหว่างการวัดและการคำนวณไม่เกินร้อยละ 2 ทั้ง 2 อัลกอริทึม ซึ่งผลของอัลกอริทึม CCC มีค่าใกล้เคียงกับการวัดโดยมีค่าร้อยละความคลาดเคลื่อนน้อยกว่าร้อยละ 0.5 ซึ่งอยู่ในช่วงร้อยละ -0.01 ถึง 0.28 ในขณะที่ผลของอัลกอริทึม AAA มีค่าร้อยละความคลาดเคลื่อนอยู่ในช่วงร้อยละ -1.21 ถึง -0.01 (แสดงผลในภาคผนวก ก)

ผลการทดสอบของพื้นที่ใช้รังสีสี่เหลี่ยมผืนผ้า (Rectangular fields) พบว่า ผลของอัลกอริทึม CCC มีค่าร้อยละความคลาดเคลื่อนของปริมาณรังสีอยู่ในช่วง 0.74 ถึง 0.78 ในขณะที่ผลของอัลกอริทึม AAA มีค่าร้อยละความคลาดเคลื่อนอยู่ในช่วง -1.06 ถึง -0.60 ซึ่งอยู่ในเกณฑ์ที่ยอมรับได้น้อยกว่าร้อยละ 2 (แสดงผลในภาคผนวก ก)

ผลการทดสอบของพื้นที่ใช้รังสีโดยขยายระยะจากต้นกำเนิดรังสีถึงผิวตัวกลาง 110 เซนติเมตร (Extended SSD 110 cm) พบว่า ผลของอัลกอริทึม CCC มีค่าร้อยละความคลาดเคลื่อนที่ยอมรับได้น้อยกว่าร้อยละ 2 อยู่ในช่วง -0.24 ถึง 0.11 ในขณะที่ผลของอัลกอริทึม AAA มีค่าร้อยละความคลาดเคลื่อนอยู่ในช่วง -1.48 ถึง -0.18 ดังแสดงในภาพ 32 (ก)

ผลการทดสอบของพื้นที่ฉายรังสีที่ลำรังสีตอกกระทบตัวกลางในแนวเฉียง 30 องศา (Oblique incident 30°) พบว่า ผลของอัลกอริทึม CCC และ AAA มีค่าร้อยละความคลาดเคลื่อนเท่ากับ 0.11 และ -0.54 ตามลำดับ (แสดงผลในภาคผนวก ก)

ผลของการทดสอบของพื้นที่ฉายรังสีที่กำหนดด้วย MLC (Shaped Fields) พบว่า ผลของอัลกอริทึม CCC มีค่าร้อยละความคลาดเคลื่อนอยู่ในช่วง -1.97 ถึง 0.29 ในขณะที่ ผลของอัลกอริทึม AAA มีค่าอยู่ในช่วงร้อยละ -1.23 ถึง 0.73 ซึ่งผลทั้งสองอัลกอริทึมอยู่ในเกณฑ์ที่ยอมรับได้ร้อยละ 3 (แสดงผลในภาคผนวก ก)

สำหรับพลังงาน 10 เมกะโวัลต์ ที่ไม่ใช้ตัวกรองปรับเรียบ ที่ความลึก 10 เซนติเมตร

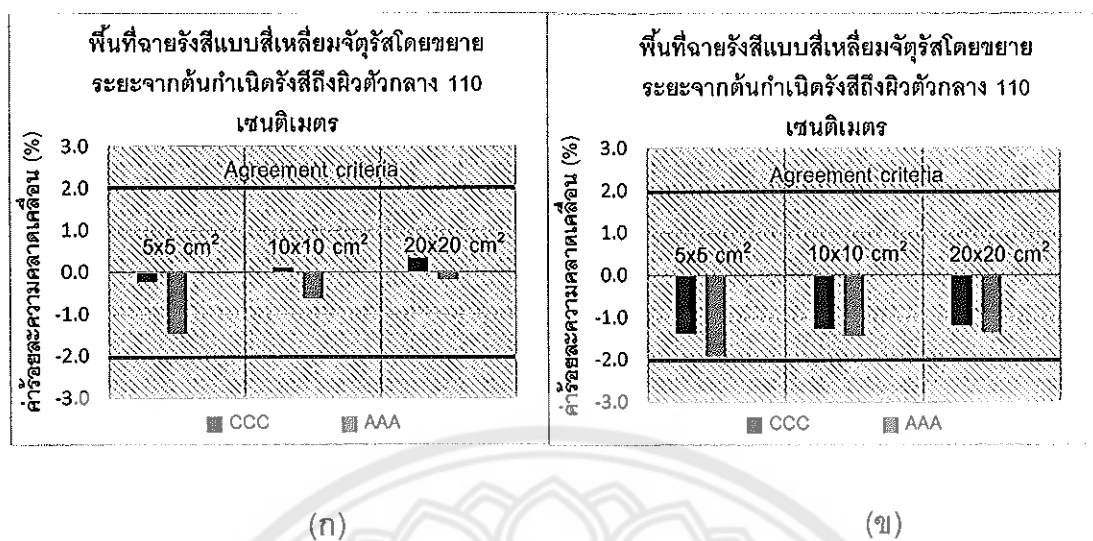
ผลการทดสอบของพื้นที่ฉายรังสีสูปสีเหลี่ยมจัตุรัส (Square fields) พบว่า มีค่าร้อยละความคลาดเคลื่อนของปริมาณรังสีระหว่างการวัดและการคำนวนไม่เกินร้อยละ 2 ที่ 2 อัลกอริทึม ซึ่งผลของอัลกอริทึม CCC มีค่าใกล้เคียงกับการวัดโดยมีค่าร้อยละความคลาดเคลื่อนน้อยกว่าร้อยละ 1 ซึ่งอยู่ในช่วงร้อยละ -0.72 ถึง -0.63 ในขณะที่ผลของอัลกอริทึม AAA มีค่าร้อยละความคลาดเคลื่อนอยู่ในช่วงร้อยละ -1.80 ถึง -0.61 (แสดงผลในภาคผนวก ก)

ผลการทดสอบของพื้นที่ฉายรังสีสูปสีเหลี่ยมผืนผ้า (Rectangular fields) พบว่า ผลของอัลกอริทึม CCC มีค่าร้อยละความคลาดเคลื่อนของปริมาณรังสีอยู่ในช่วง 0.72 ถึง -0.54 ในขณะที่ผลของอัลกอริทึม AAA มีค่าร้อยละความคลาดเคลื่อนอยู่ในช่วง -1.46 ถึง -1.03 ซึ่งอยู่ในเกณฑ์ที่ยอมรับได้น้อยกวาร้อยละ 2 (แสดงผลในภาคผนวก ก)

ผลการทดสอบของพื้นที่ฉายรังสีโดยขยายระยะจากต้นกำเนิดรังสีถึงผิวตัวกลาง 110 เซนติเมตร (Extended SSD 110 cm) พบว่า ผลของอัลกอริทึม CCC มีค่าร้อยละความคลาดเคลื่อนที่ยอมรับได้น้อยกวาร้อยละ 2 อยู่ในช่วง -1.39 ถึง -1.21 ในขณะที่ผลของอัลกอริทึม AAA มีค่าร้อยละความคลาดเคลื่อนอยู่ในช่วง -1.93 ถึง -1.37 ซึ่งให้ผลไปในทางเดียวกันพลังงาน 6 เมกะโวัลต์ ที่ไม่ใช้ตัวกรองปรับเรียบ ดังแสดงในภาพ 32(ข)

ผลการทดสอบของพื้นที่ฉายรังสีที่ลำรังสีตอกกระทบตัวกลางในแนวเฉียง 30 องศา (Oblique incident 30°) พบว่า ผลของอัลกอริทึม CCC และ AAA มีค่าร้อยละความคลาดเคลื่อนเท่ากับ -1.00 และ -1.36 ตามลำดับ (แสดงผลในภาคผนวก ก)

ผลของการทดสอบของพื้นที่ฉายรังสีที่กำหนดด้วย MLC (Shaped Fields) พบว่า ผลของอัลกอริทึม CCC มีค่าร้อยละความคลาดเคลื่อนอยู่ในช่วง -2.30 ถึง -1.33 ในขณะที่ ผลของอัลกอริทึม AAA มีค่าอยู่ในช่วงร้อยละ -1.77 ถึง -1.46 ซึ่งผลทั้งสองอัลกอริทึมอยู่ในเกณฑ์ที่ยอมรับได้ร้อยละ 3 (แสดงผลในภาคผนวก ก)



ภาพ 32 (ก) กราฟค่าร้อยละความคลาดเคลื่อนของปริมาณรังสีแบบจุดระหว่างการวัดและการคำนวณด้วยอัลกอริทึม CCC และ AAA ของการทดสอบการเปิดพื้นที่ฉายรังสีสีเหลี่ยมจัตุรัสโดยขยายจะรังสีจากตันกำเนิดรังสีถึงผิวตัวกลาง 110 เซนติเมตร ที่ความลึก 10 เซนติเมตรสำหรับพลังงาน 6 เมกะโวლต์ที่ไม่ใช้ตัวกรองปรับเรียน (ข) สำหรับพลังงาน 10 เมกะโวลต์ที่ไม่ใช้ตัวกรองปรับเรียน

2. การตรวจสอบความถูกต้องของปริมาณรังสีแบบจุดที่คำนวณด้วยอัลกอริทึม AAA และ CCC ในตัวกลางที่เป็นเนื้อเยื่อต่างกัน

สำหรับพลังงาน 6 เมกะโวลต์ ที่ไม่ใช้ตัวกรองปรับเรียน

ผลการทดสอบตามขนาดพื้นที่ฉายรังสีข้างอิงที่ 10 x 10 ตารางเซนติเมตร (Testing for reference conditions based on CT data) พบว่ามีค่าร้อยละความคลาดเคลื่อนของปริมาณรังสีระหว่างการวัดและการคำนวณของ 2 อัลกอริทึม อยู่ในเกณฑ์ที่ยอมรับได้ร้อยละ 3 สำหรับการวัดในตำแหน่งที่ 1 3 5 9 และ 10 โดยผลของอัลกอริทึม CCC มีค่าร้อยละความคลาดเคลื่อนอยู่ในช่วง -1.54 ถึง 1.10 ในขณะที่ผลของอัลกอริทึม AAA มีค่าอยู่ในช่วงร้อยละ -1.20 ถึง 0.12 (แสดงผลในภาคผนวก ก)

ผลการทดสอบการล็อกมุมของพื้นที่ฉายรังสีด้วย MLC (Significant blocking of the field corners) พบว่า มีค่าร้อยละความคลาดเคลื่อนของปริมาณรังสีระหว่างการวัดและการคำนวณของ 2 อัลกอริทึม อยู่ในเกณฑ์ที่ยอมรับได้ร้อยละ 3 สำหรับการวัดในตำแหน่งที่ 3

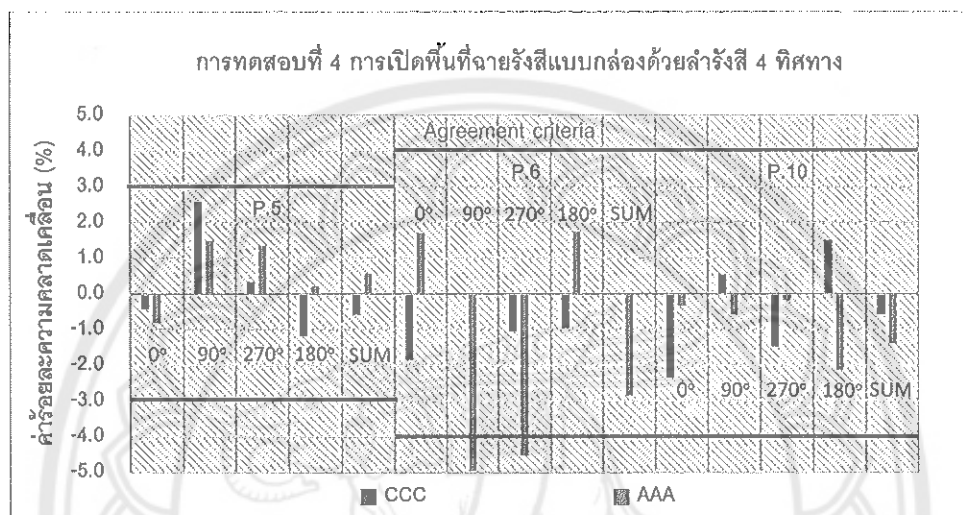
โดยผลของอัลกอริทึม CCC และ AAA มีค่าร้อยละความคลาดเคลื่อนเท่ากับร้อยละ -1.20 (แสดงผลในภาคผนวก ก)

ผลการทดสอบการเปิดพื้นที่จ่ายรังสีแบบกล่องด้วย 4 ทิศทางของลำรังสีในแนวข่ายขวา หน้า หลัง (Four fields box) พบว่ามีค่าร้อยละความคลาดเคลื่อนของปริมาณรังสีระหว่างการวัดและการคำนวนของสองอัลกอริทึม อยู่ในเกณฑ์ที่ยอมรับได้ร้อยละ 3 สำหรับการวัดในตำแหน่งที่ 5 (วัดปริมาณรังสีที่มุมเกนที่ 0 90 270 และ 180 องศา) โดยผลรวมเมื่อรวมปริมาณรังสีทั้ง 4 มุมของอัลกอริทึม CCC มีค่าร้อยละความคลาดเคลื่อนเท่ากับ -0.58 ในขณะที่ผลของอัลกอริทึม AAA มีค่าเท่ากับร้อยละ -2.86 และสำหรับการวัดในตำแหน่งที่ 6 และ 10 (วัดปริมาณรังสีที่มุมเกนที่ 0 90 270 และ 180 องศา) ทั้งสองอัลกอริทึมอยู่ในเกณฑ์ที่ยอมรับได้ร้อยละ 4 ซึ่งผลรวมเมื่อรวมปริมาณรังสีทั้ง 4 มุมของอัลกอริทึม CCC และ AAA ในตำแหน่งที่ 6 มีค่าร้อยละความคลาดเคลื่อนเท่ากับ -0.02 และ -2.86 ตามลำดับ แต่พบว่าผลของอัลกอริทึม AAA เกินเกณฑ์การยอมรับได้ร้อย 4 เท่ากับร้อยละ -4.95 และ -4.54 สำหรับการวัดปริมาณรังสี ณ มุมเกนที่ 90 และ 270 องศา ดังแสดงในภาพ 33 และผลของอัลกอริทึม CCC และ AAA ในตำแหน่งที่ 10 มีค่าร้อยละความคลาดเคลื่อนเท่ากับ -0.58 และ -1.41 ตามลำดับ

ผลการทดสอบการเปิดพื้นที่จ่ายรังสีด้วย MLC (Automatic expansion and customized blocking) พบว่าผลของอัลกอริทึมทั้งสองมีค่าร้อยละความคลาดเคลื่อนของปริมาณรังสีอยู่ภายในเกณฑ์ที่ยอมรับได้ร้อยละ 3 สำหรับตำแหน่งที่ 2 และร้อยละ 4 สำหรับตำแหน่งที่ 7 โดยผล ณ ตำแหน่งที่ 2 ของอัลกอริทึม CCC และ AAA มีค่าร้อยละความคลาดเคลื่อนเท่ากับ -0.54 และผลของตำแหน่งที่ 7 ของอัลกอริทึม CCC และ AAA มีค่าร้อยละความคลาดเคลื่อนเท่ากับ -1.86 และ -1.31 ตามลำดับ (แสดงผลในภาคผนวก ก)

ผลการทดสอบการเปิดพื้นที่จ่ายรังสีรูปตัวแอลด้วย MLC โดยลำรังสีตอกกรอบในแนวเฉียง (Oblique incidence with irregular field and blocking the centre of the field) พบว่ามีค่าร้อยละความคลาดเคลื่อนของปริมาณรังสีระหว่างการวัดและการคำนวนของ 2 อัลกอริทึม อยู่ในเกณฑ์ที่ยอมรับได้ร้อยละ 3 สำหรับการวัดในตำแหน่งที่ 7 โดยผลของอัลกอริทึม CCC และ AAA มีค่าร้อยละความคลาดเคลื่อนเท่ากับ 1.51 และสำหรับการวัดในตำแหน่งที่ 7 และ 10 ทั้งอัลกอริทึมอยู่ในเกณฑ์ที่ยอมรับได้ร้อยละ 4 ซึ่งผลของอัลกอริทึม CCC และ AAA ในตำแหน่งที่ 7 มีค่าร้อยละความคลาดเคลื่อนเท่ากับ 0.74 และ -2.45 ตามลำดับ และผลของอัลกอริทึม CCC และ AAA ในตำแหน่งที่ 10 มีค่าร้อยละความคลาดเคลื่อนเท่ากับ -0.57 และ -0.67 ตามลำดับ (แสดงผลในภาคผนวก ก)

ผลการทดสอบการเปิดพื้นที่ฉายรังสีโดยที่ลำรังสีไม่ได้อยู่ในแนวระนาบเดียวกัน (Non coplanar beams with couch and collimator rotation) พบว่าผลของอัลกอริทึมทั้งสองมีค่าร้อยละความคลาดเคลื่อนของปริมาณรังสีอยู่ภายในเกณฑ์ที่ยอมรับได้ร้อยละ 3 สำหรับการวัดในตำแหน่งที่ 5 โดยผลของอัลกอริทึม CCC และ AAA มีค่าร้อยละความคลาดเคลื่อนเท่ากับ -1.87 และ -0.37 (เป็นผลรวมของมุมเกนที่ 90 270 และ 30 องศา) ตามลำดับ (แสดงผลในภาคผนวก ก)



ภาพ 33 กราฟค่าร้อยละความคลาดเคลื่อนของปริมาณรังสีแบบๆุดระหว่างการวัดและการคำนวณด้วยอัลกอริทึม CCC และ AAA ของการทดสอบการเปิดพื้นที่ฉายรังสีแบบกล่องด้วยลำรังสี 4 ทิศทางสำหรับพลังงาน 6 เมกะโวลต์ที่ไม่ใช้ตัวกรองป้องกันเรียน

สำหรับพลังงาน 10 เมกะโวลต์ที่ไม่ใช้ตัวกรองป้องกันเรียน

ผลการทดสอบตามขนาดพื้นที่ฉายรังสีข้างต้นที่ 10×10 ตารางเซนติเมตร (Testing for reference conditions based on CT data) พบว่ามีค่าร้อยละความคลาดเคลื่อนของปริมาณรังสีระหว่างการวัดและการคำนวณของ 2 อัลกอริทึม อยู่ในเกณฑ์ที่ยอมรับได้ร้อยละ 3 สำหรับการวัดในตำแหน่งที่ 1 3 5 9 และ 10 โดยผลของอัลกอริทึม CCC มีค่าร้อยละความคลาดเคลื่อนอยู่ในช่วง -2.81 ถึง -1.29 ในขณะที่ผลของอัลกอริทึม AAA มีค่าอยู่ในช่วงร้อยละ -2.66 ถึง -1.19 (แสดงผลในภาคผนวก ก)

ผลการทดสอบการบล็อกมุมของพื้นที่ฉายรังสีด้วย MLC (Significant blocking of the field corners) พบว่ามีค่าร้อยละความคลาดเคลื่อนของปริมาณรังสีระหว่างการวัดและการคำนวณของสองอัลกอริทึม อยู่ในเกณฑ์ที่ยอมรับได้ร้อยละ 3 สำหรับการวัดในตำแหน่งที่ 3

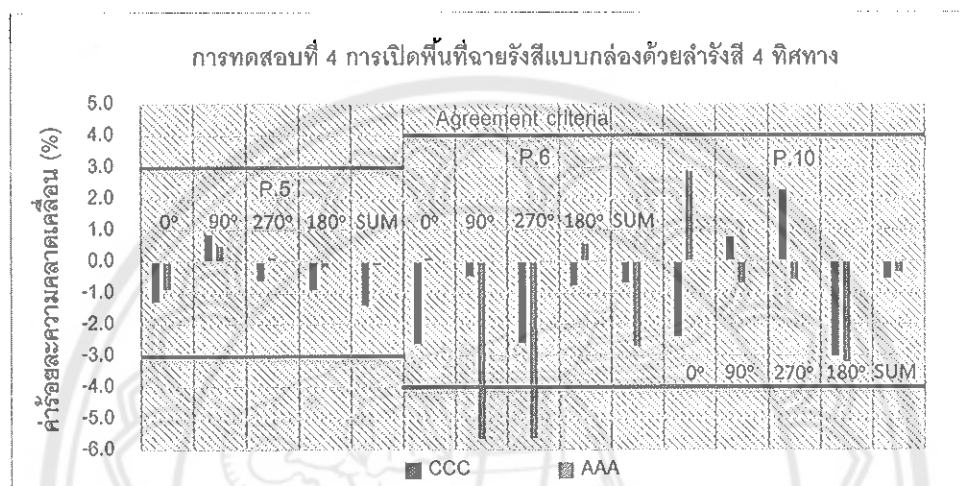
โดยผลของอัลกอริทึม CCC และ AAA มีค่าร้อยละความคลาดเคลื่อนเท่ากับร้อยละ -2.52 (แสดงผลในภาคผนวก ก)

ผลการทดสอบการเปิดพื้นที่ฉายรังสีแบบกล่องด้วย 4 ทิศทางของลำรังสีในแนวซ้าย ขวา หน้า หลัง (Four fields box) พบว่ามีค่าร้อยละความคลาดเคลื่อนของปริมาณรังสีระหว่าง การวัดและการคำนวณของ 2 อัลกอริทึม อยู่ในเกณฑ์ที่ยอมรับได้ร้อยละ 3 สำหรับการวัดใน ตำแหน่งที่ 5 (วัดปริมาณรังสีที่มุมเกนทรี 0 90 270 และ 180 องศา) โดยผลกระทบเมื่อรวมปริมาณรังสี ทั้ง 4 มุมของอัลกอริทึม CCC มีค่าร้อยละความคลาดเคลื่อนเท่ากับ -1.40 ในขณะที่ผลของ อัลกอริทึม AAA มีค่าเท่ากับ ร้อยละ -0.11 และสำหรับการวัดในตำแหน่งที่ 6 และ 10 (วัดปริมาณ รังสีที่มุมเกนทรี 0 90 270 และ 180 องศา) ทั้งสองอัลกอริทึมอยู่ในเกณฑ์ที่ยอมรับได้ร้อยละ 4 ซึ่งผลกระทบเมื่อรวมปริมาณรังสีทั้ง 4 มุมของอัลกอริทึม CCC และ AAA ในตำแหน่งที่ 6 มีค่าร้อยละ ความคลาดเคลื่อนเท่ากับ -0.68 และ -2.71 ตามลำดับ แต่พบว่าผลของอัลกอริทึม AAA เกินเกณฑ์ การยอมรับได้ร้อย 4 เท่ากับร้อยละ -5.65 และ -5.63 สำหรับการวัดปริมาณรังสี ณ มุมเกนทรี 90 และ 270 องศา ดังแสดงในภาพที่ 34 และผลของอัลกอริทึม CCC และ AAA ในตำแหน่งที่ 10 มีค่า ร้อยละความคลาดเคลื่อนเท่ากับ -0.55 และ -0.35 ตามลำดับ

ผลการทดสอบการเปิดพื้นที่ฉายรังสีด้วย MLC (Automatic expansion and customized blocking) พบว่าผลของอัลกอริทึมทั้งสองมีค่าร้อยละความคลาดเคลื่อนของปริมาณ รังสีอยู่ภายในเกณฑ์ที่ยอมรับได้ร้อยละ 3 สำหรับตำแหน่งที่ 2 และร้อยละ 4 สำหรับตำแหน่งที่ 7 โดยณ ตำแหน่งที่ 2 ของอัลกอริทึม CCC และ AAA มีค่าร้อยละความคลาดเคลื่อนเท่ากับ -1.73 และผลของตำแหน่งที่ 7 ของอัลกอริทึม CCC และ AAA มีค่าร้อยละความคลาดเคลื่อนเท่ากับ -3.47 และ -1.70 ตามลำดับ (แสดงผลในภาคผนวก ก)

ผลการทดสอบการเปิดพื้นที่ฉายรังสีรูปตัวแอลด้วย MLC โดยลำรังสีตัดกรอบในแนว เฉียง (Oblique incidence with irregular field and blocking the centre of the field) พบว่ามีค่า ร้อยละความคลาดเคลื่อนของปริมาณรังสีระหว่างการวัดและการคำนวณของ 2 อัลกอริทึม อยู่ใน เกณฑ์ที่ยอมรับได้ร้อยละ 3 สำหรับการวัดในตำแหน่งที่ 7 โดยผลของอัลกอริทึม CCC และ AAA มีค่าร้อยละความคลาดเคลื่อนเท่ากับ -0.59 และสำหรับการวัดในตำแหน่งที่ 7 และ 10 ทั้งอัลกอริทึมอยู่ในเกณฑ์ที่ยอมรับได้ร้อยละ 4 ซึ่งผลของอัลกอริทึม CCC และ AAA ในตำแหน่งที่ 7 มีค่าร้อยละความคลาดเคลื่อนเท่ากับ -0.13 และ -1.92 ตามลำดับ และผลของอัลกอริทึม CCC และ AAA ในตำแหน่งที่ 10 มีค่าร้อยละความคลาดเคลื่อนเท่ากับ -0.47 และ -0.71 ตามลำดับ (แสดงผล ในภาคผนวก ก)

ผลการทดสอบการเปิดพื้นที่ฉายรังสีโดยที่ลำรังสีไม่ได้อยู่ในแนวระนาบเดียวกัน (Non coplanar beams with couch and collimator rotation) พบว่าผลของอัลกอริทึมทั้งสองมีค่าร้อยละความคลาดเคลื่อนของปริมาณรังสีอยู่ภายในเกณฑ์ที่ยอมรับได้ร้อยละ 3 สำหรับการวัดในตัวแหนงที่ 5 โดยผลของอัลกอริทึม CCC และ AAA มีค่าร้อยละความคลาดเคลื่อนเท่ากับ -0.72 และ 0.57 (เป็นผลรวมของมุม基因ที่ 90 270 และ 30 องศา) ตามลำดับ (แสดงผลในภาคผนวก ก)



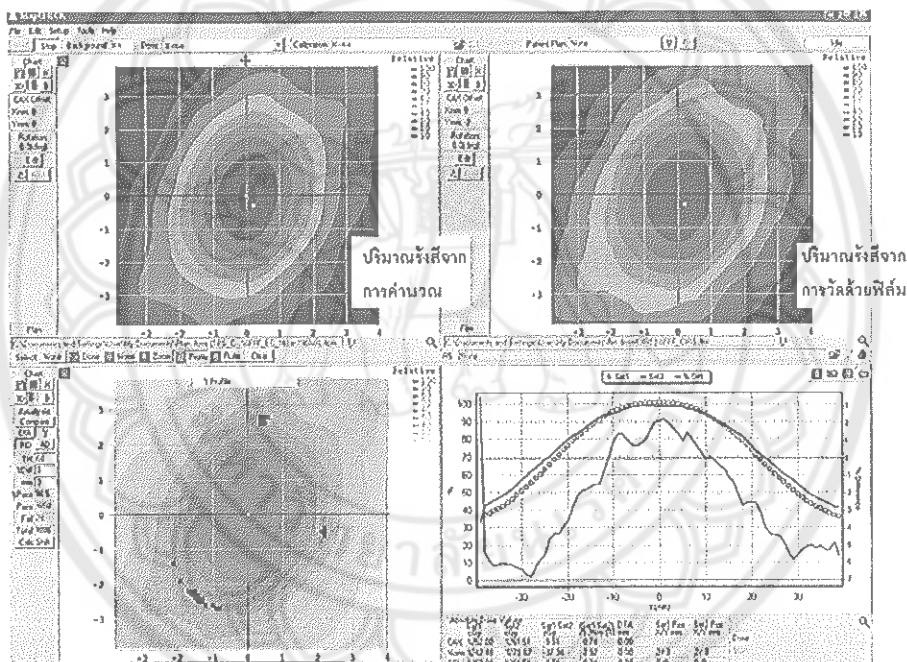
ภาพ 34 กราฟค่าร้อยละความคลาดเคลื่อนของปริมาณรังสีแบบจุดระหว่างการวัดและการคำนวณด้วยอัลกอริทึม CCC และ AAA ของการทดสอบการเปิดพื้นที่ฉายรังสีแบบกล่องด้วยลำรังสี 4 ทิศทางสำหรับพลังงาน 10 เมกะโวЛЬต์ที่ไม่ใช้ตัวกรองป้องกันเรียง

การตรวจสอบความถูกต้องของการกระจายปริมาณรังสี (Dose distribution) ที่คำนวณด้วยอัลกอริทึม CCC และ AAA เทียบกับการวัดด้วยฟิล์มนินิດภาพโครมิกในหุ้นจำลองที่มีเนื้อเยื่อต่างกัน

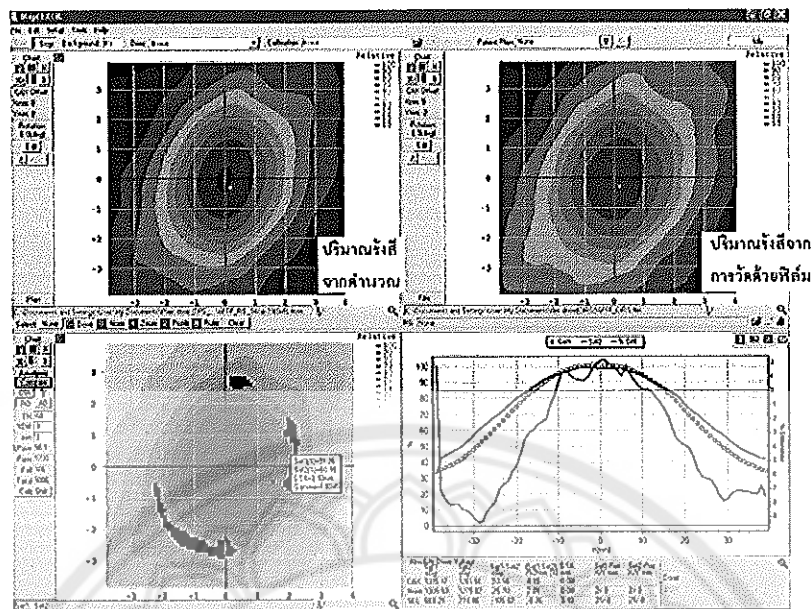
จากผลการทดสอบพบว่าสำหรับอัลกอริทึม AAA มีอัตราการผ่านแกมมา เท่ากับร้อยละ 98.5 และร้อยละ 100 สำหรับพลังงาน 6 และ 10 เมกะโวЛЬต์ที่ไม่ใช้ตัวกรองป้องกันเรียง ตามลำดับ ในขณะที่อัลกอริทึม CCC มีอัตราการผ่านแกมมา เท่ากับ ร้อยละ 90.1 และร้อยละ 99.6 สำหรับพลังงาน 6 และ 10 เมกะโวЛЬต์ที่ไม่ใช้ตัวกรองป้องกันเรียง โดยใช้เกณฑ์ร้อยละ 3/3 มิลลิเมตร ที่ระดับร้อยละอัตราการผ่านแกมมา 90 ดังแสดงในตารางที่ 10 และแสดงผลการเปรียบเทียบการกระจายปริมาณรังสีระหว่างการคำนวณและการวัดด้วยฟิล์มโดยใช้โปรแกรมแมปเป็คในการวิเคราะห์ ดังแสดงในภาพ 35 - 38

ตาราง 10 ผลการเปรียบเทียบการกระจายปริมาณรังสีทั้งสองอัลกอริทึมที่วิเคราะห์ด้วยร้อยละอัตราการผ่านแกมมา สำหรับพลังงาน 6 และ 10 เมกะโวลต์ที่ไม่ใช้ตัวกรองปรับเรียน

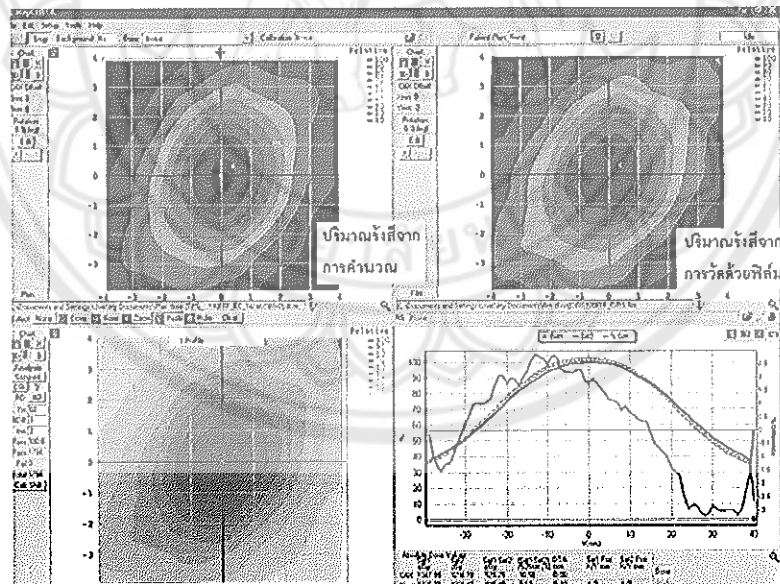
พลังงาน (เมกะโวลต์ที่ไม่ใช้ ตัวกรองปรับเรียน)	ร้อยละอัตราการผ่านแกมมา	
	อัลกอริทึม AAA	อัลกอริทึม CCC
6	98.5	90.1
10	100	99.6



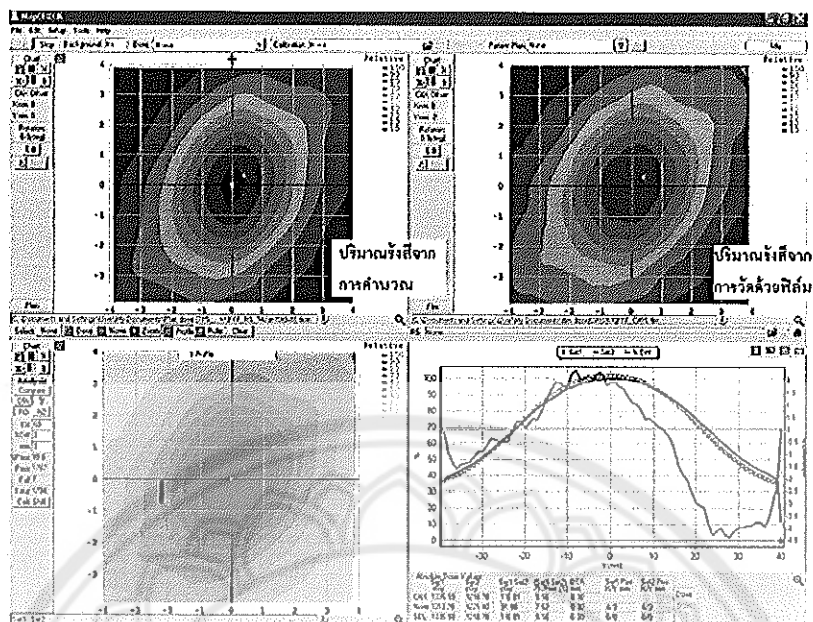
ภาพ 35 ผลการเปรียบเทียบการกระจายปริมาณรังสีของอัลกอริทึม AAA ที่วิเคราะห์ด้วยค่าดัชนีแกมมา r้อยละ 3/3 มิลลิเมตร สำหรับพลังงาน 6 เมกะโวลต์ที่ไม่ใช้ตัวกรองปรับเรียน



ภาพ 36 ผลการเปรียบเทียบการกระจายปริมาณรังสีของอัลกอริทึม CCC ที่วิเคราะห์ด้วยค่าดัชนีแกรมมาร์อยละ 3/3 มิลลิเมตร สำหรับพลังงาน 6 เมกะโวลต์ที่ไม่ใช้ตัวกรองป้องกันเรย์บ



ภาพ 37 ผลการเปรียบเทียบการกระจายปริมาณรังสีของอัลกอริทึม AAA ที่วิเคราะห์ด้วยค่าดัชนีแกรมมาร์อยละ 3/3 มิลลิเมตร สำหรับพลังงาน 10 เมกะโวลต์ที่ไม่ใช้ตัวกรองป้องกันเรย์บ

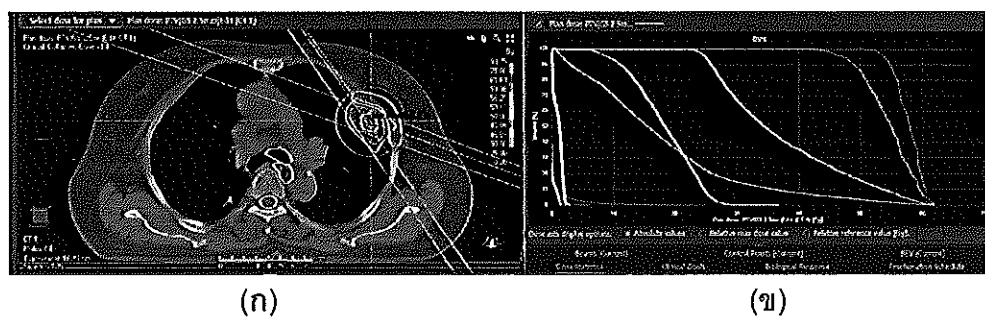


ภาพ 38 ผลการเปรียบเทียบการกระจายปริมาณรังสีของอัลกอริทึม CCC ที่วิเคราะห์ด้วยค่าดัชนีแกนมาตรฐาน 3/3 มิลลิเมตร สำหรับพลังงาน 10 เมกะโวლต์ที่ไม่ใช้ตัวกรองปรับเรี่ยบ

ผลการประเมินแผนการรักษาจะห่วงการคำนวณด้วยอัลกอริทึม CCC และ AAA ของผู้ป่วย 17 รายตามมาตรฐาน RTOG 0813

1. ผลการประเมินปริมาณรังสีสำหรับ PTV

ผลการประเมินผลด้วยค่า D_{\min} D_{mean} D_{\max} $D_{99\%}$ และ $D_{95\%}$ โดยพิจารณาจากกราฟ Dose Volume Histogram (DVH) พบว่า ไม่มีความแตกต่างอย่างมีนัยสำคัญทางสถิติที่ระดับความเชื่อมั่น P -value < 0.05 ระหว่างปริมาณรังสีที่คำนวณด้วยอัลกอริทึม CCC และ AAA ของทุกเกณฑ์การประเมินโดยมีค่า P -value ของค่า D_{\min} D_{mean} D_{\max} $D_{99\%}$ และ $D_{95\%}$ เท่ากับ 0.670 0.375 0.167 0.554 และ 0.566 ตามลำดับ ดังแสดงในภาพ 39 (ข) แสดงดังตาราง 11



ภาพ 39 (ก) ตัวอย่างการกระจายปริมาณรังสีบนภาพเอกซเรย์คอมพิวเตอร์ของผู้ป่วยในแนว Axial และ (ข) ตัวอย่างกราฟ Dose Volume Histograms (DVH) ของเครื่องคอมพิวเตอร์วางแผนการรักษารุ่นเรย์สเตชั่น

ตาราง 11 ปริมาณรังสีเฉลี่ยและค่าเบี่ยงเบนมาตรฐานของก้อนมะเร็งในผู้ป่วยทั้งหมด สำหรับแผนการรักษาที่คำนวนปริมาณรังสีด้วยอัลกอริทึม CCC และ AAA

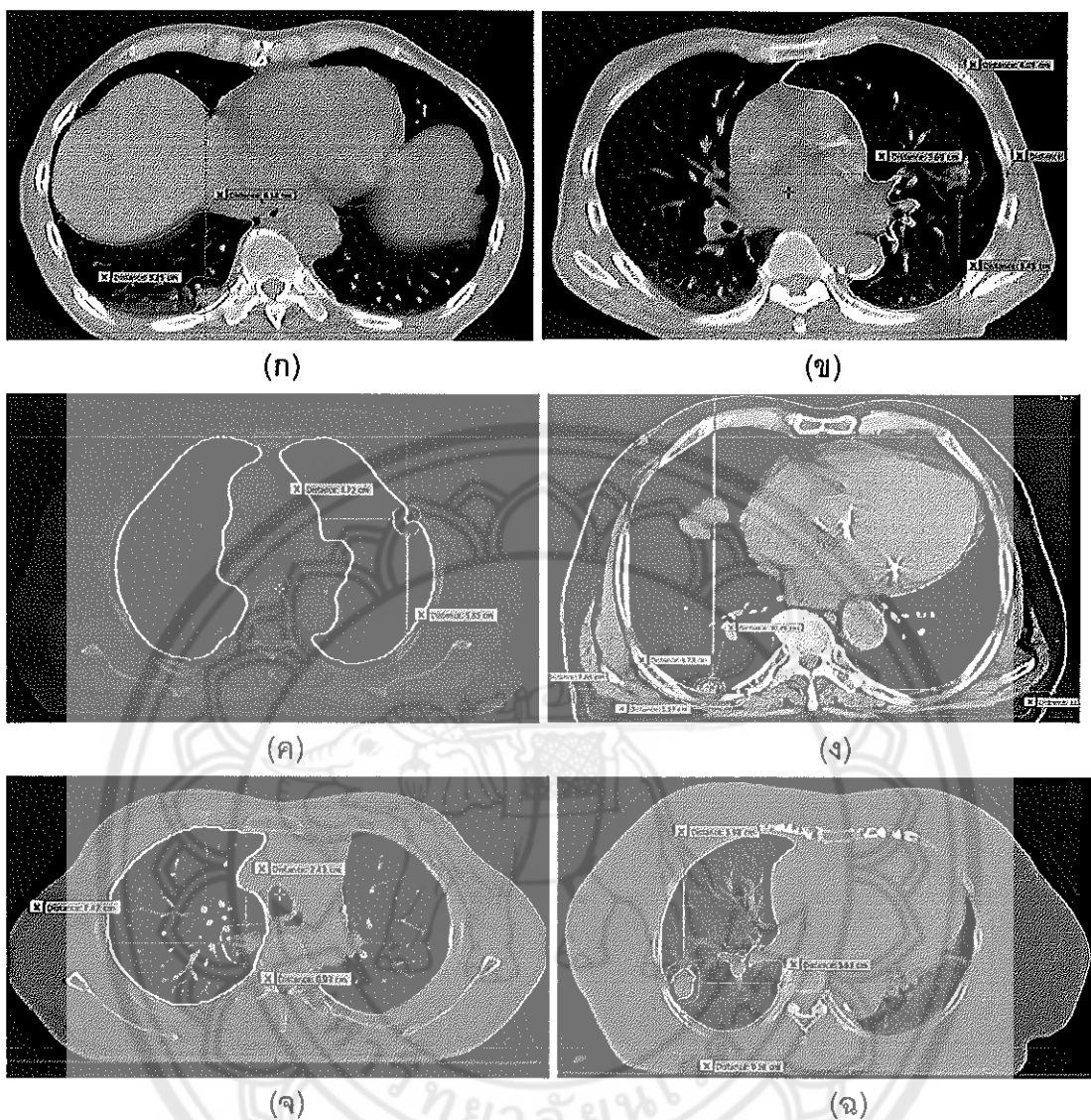
Algorithms	D_{\min} (Gy)	D_{mean} (Gy)	D_{\max} (Gy)	$D_{99\%}$ (Gy)	$D_{95\%}$ (Gy)
CCC	43.2±9.0	57.6±6.0	64.5±6.4	47.8±7.8	51.1±6.4
AAA	44.1±8.2	57.2±6.0	63.4±6.2	48.5±7.0	51.4±6.1
p-value	0.670	0.375	0.167	0.554	0.566

ผลการประเมิน $R_{100\%}$ $R_{50\%}$ $D_{2\text{cm}}$ และ $V_{20\%}$ (ปอดสองข้าง) ที่พิจารณาการกระจายปริมาณรังสีที่ครอบคลุมบริเวณของ PTV ดังแสดงในภาพที่ 39(ก) และพื้นที่รอบนอก โดยใช้เกณฑ์การประเมินตาม RTOG 0813 [42] สำหรับผู้ป่วย 17 รายที่มีจำนวน PTV ทั้งหมด 23 PTV แสดงตั้งตาราง 12 พ布ว่าสำหรับค่า $R_{100\%}$ มีจำนวน PTV ทั้งหมด 23 PTV ที่ไม่มีความเบี่ยงเบน (None deviation) เมื่อคำนวนด้วยอัลกอริทึม CCC แต่เมื่อมีการคำนวนใหม่ (Re-calculation) ด้วยอัลกอริทึม AAA พ布ว่าจำนวนของ PTV ลดลงจาก 22 เป็น 21 และทำให้จำนวน PTV ที่มีความเบี่ยงเบนเล็กน้อย (Minor deviation) มีจำนวนเพิ่มขึ้นจากเดิมถูกตัดเป็น 2 PTV สำหรับอัลกอริทึม AAA ส่วน $R_{50\%}$ พ布ว่า กรณีที่ไม่มีความเบี่ยงเบนมีจำนวน 6 PTV สำหรับการคำนวนด้วยอัลกอริทึม CCC แต่กลับพบว่า จำนวนของ PTV ที่ไม่มีความเบี่ยงเบนลดลงจาก 6 เป็น 3 และจำนวนของ PTV ที่มีความเบี่ยงเบนน้อย ลดลงจาก 17 เป็น 13 ทำให้จำนวนของ PTV ที่มีความเบี่ยงเบนมาก กลับเพิ่มขึ้นจากเดิมที่ไม่พบความเบี่ยงเบนกลับเพิ่มขึ้นเป็น 7 PTV เมื่อ

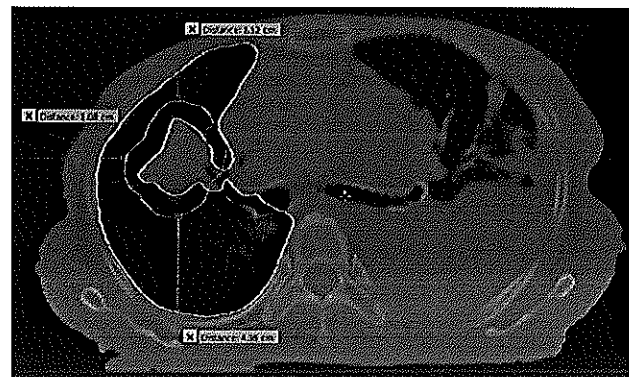
คำนวณใหม่ด้วยอัลกอริทึม AAA โดยตัวແเน່ງແລະขนาดຂອງກົອນມະເຮັງໃນແຜນກາຮັກຊາຂອງຜູ້ປ່ວຍທີ່ມີຜົດທຳໃຫ້ເກີດ Major deviation ແສດງດັ່ງກາພ 40 (ກ)-(ຈ) ທີ່ຈຶ່ງເປັນຕຳແໜ່ງທີ່ອູ້ຮະກວາງບຣິເວັນຮອຍຕ່ອງປອດແລະເນື້ອເຢືອປົກຕິ ສໍາຮັບ D_{2cm} ພບວ່າ PTV ທັ້ງໝົດ 23 PTV ໄນມີຄວາມເບິ່ງແບນທັ້ງສອງອັນດຸກອົງກອົງກົມ ແລະ ສໍາຮັບ $V_{20\%}$ ທີ່ຈຶ່ງເປັນກາຮັກຊາມຮັງສີທີ່ບຣິເວັນປອດທັ້ງສອງຊ້າງໄດ້ຮັບ ພບວ່າມີຈຳນວນ 20 PTV ຈາກທັ້ງໝົດ 23 PTV ໄນມີຄວາມເບິ່ງແບນແລະອີກ 3 PTV ມີຄວາມເບິ່ງແບນນ້ອຍສໍາຮັບອັນດຸກອົງກອົງກົມ CCC ແຕ່ພບວ່າຈຳນວນຂອງ PTV ທີ່ມີຄວາມເບິ່ງແບນນ້ອຍລດລົງຈາກ 3 PTV ກາລາຍເປັນ 2 PTV ເມື່ອคำນວณໃໝ່ດ້ວຍອັນດຸກອົງກອົງກົມ CCC ແຕ່ພບວ່າ ເກີດຄວາມເບິ່ງແບນມາຈຳນວນ 1 PTV ຈາກເດີມທີ່ໄໝພບຄວາມເບິ່ງແບນເມື່ອคำນວณດ້ວຍອັນດຸກອົງກອົງກົມ CCC ໂດຍຕຳແໜ່ງແລະขนาดຂອງກົອນມະເຮັງໃນແຜນກາຮັກຊາຂອງຜູ້ປ່ວຍທີ່ມີຜົດທຳໃຫ້ເກີດ Major deviation ແສດງດັ່ງກາພ 40 (ຊ)

ຕາຮາງ 12 ຈຳນວນຄວາມເບິ່ງແບນ (Deviation) ທີ່ພິຈາຮັນາຕາມເກັນທີ່ RTOG 0813 ສໍາຮັບແຜນກາຮັກຊາຂອງຜູ້ປ່ວຍ 17 ຮາຍ ທີ່ຄຳນວณດ້ວຍອັນດຸກອົງກອົງກົມ CCC ແລະ AAA

Deviation	$R_{100\%}$		$R_{50\%}$		D_{2cm}		$V_{20\%}$	
	CCC	AAA	CCC	AAA	CCC	AAA	CCC	AAA
None	22	21	6	3	23	23	20	20
Minor	1	2	17	13	0	0	3	2
Major	0	0	0	7	0	0	0	1



ภาพ 40 (ก) และ (ข) ตำแหน่งของก้อนมะเร็งของผู้ป่วยที่มีผลต่อการเกิด Major deviation สำหรับ $R_{50\%}$ ของผู้ป่วยรายที่ 1 (ค) สำหรับผู้ป่วยรายที่ 3 (จ)
สำหรับผู้ป่วยรายที่ 6 (ก) สำหรับผู้ป่วยรายที่ 7 (ข) สำหรับผู้ป่วยรายที่ 15



ภาพ 41 ตำแหน่งของก้อนมะเร็งของผู้ป่วยรายที่ 10 ที่มีผลต่อการเกิด Major deviation สำหรับ $V_{20\%}$ ของปริมาณรังสีที่ปอด

2. ผลการประเมินปริมาณรังสีสำหรับอวัยวะเสี่ยง

ผลของปริมาณรังสีเฉลี่ยและค่าเบี่ยงเบนมาตรฐานที่อวัยวะปอดที่ใกล้เคียงได้รับไม่ว่าในปอดทั้งสองข้างหรือกระดูกสันหลังไม่มีความแตกต่างอย่างมีนัยสำคัญทางสถิติที่ระดับความเชื่อมั่น $P-value < 0.05$ ระหว่างปริมาณรังสีที่คำนวณด้วยอัลกอริทึม CCC และ AAA โดยผลของอัลกอริทึม CCC มีค่าเฉลี่ยของ D_{max} $D_{0.5cc}$ และ $D_{02.5cc}$ สำหรับปริมาณรังสีที่กระดูกสันหลังเท่ากับ 8.7 ± 4.6 7.4 ± 3.6 และ 7.7 ± 3.8 ตามลำดับ ในขณะที่ผลของการคำนวณใหม่ด้วยอัลกอริทึม AAA มีค่าเฉลี่ยของ D_{max} $D_{0.5cc}$ และ $D_{02.5cc}$ เท่ากับ 9.2 ± 4.8 7.9 ± 3.8 และ 8.2 ± 4.0 ตามลำดับ และผลของปริมาณรังสีที่ปอดมีค่าเฉลี่ยของ D_{1500cc} เท่ากับ 0.3 ± 0.4 และ 0.4 ± 0.5 สำหรับผลของอัลกอริทึม CCC และ AAA แสดงดังในตาราง 13

ตาราง 13 ปริมาณรังสีเฉลี่ยและค่าเบี่ยงเบนมาตรฐานของอัจฉริยะปกติของผู้ป่วยทั้งหมด
สำหรับแผนกรักษาที่คำนวณปริมาณรังสีด้วยอัลกอริทึม CCC และ AAA

อัลกอริทึม	ปริมาณรังสีที่กระดูกสันหลัง			ปริมาณรังสีที่ปอดทั้งหมด
	(เกรด) D_{max}	(เกรด) $D_{0.5cc}$	(เกรด) $D_{0.25cc}$	(เกรด) D_{1500cc}
CCC	8.7±4.6	7.4±3.6	7.7±3.8	0.3±0.4
AAA	9.2±4.8	7.9±3.8	8.2±4.0	0.4±0.5
P-value	0.772	0.891	0.902	0.967



บทที่ 5

บทสรุป

สรุปผลการวิจัย

จากการวิจัยนี้ได้ศึกษาครอบคลุมในส่วนของการตรวจสอบความถูกต้องของสองอัลกอริทึมทั้งการทดสอบในตัวกลางที่มีเนื้อเยื่ออเดียกันและมีเนื้อเยื่อต่างกัน และในแผนการรักษาในทางคลินิก (Clinical plan) ซึ่งแสดงให้เห็นถึงความถูกต้องของการคำนวนปริมาณรังสีด้วยอัลกอริทึม CCC และ AAA (อัลกอริทึม Type B) สำหรับปริมาณรังสีแบบบุกทั้งในหุ่นจำลองที่มีเนื้อเยื่ออเดียกัน (Slab water phantom) พบร้าร้อยละความคลาดเคลื่อนน้อยกว่าร้อยละ 2 สำหรับพื้นชายรังสีแบบปกติในแนวแกนกลาง (open central axis) และน้อยกว่าร้อยละ 3 สำหรับการเปิดปิดของวัตถุกำบังรังสี (MLC shape filed) ตามมาตรฐาน TRS 430 และการทดสอบในหุ่นจำลองทรวงอกที่มีเนื้อเยื่อต่างกัน ผ่านเกณฑ์การประเมินตามมาตรฐาน IAEA TECDOC 1583 ในทุกเงื่อนไขไม่ว่าจะเป็นพลังงาน 6 หรือ 10 เมกะโวลต์ ที่ไม่ใช้ตัวรองปรับเรียง และสำหรับการทดสอบความถูกต้องของการกระจายปริมาณรังสี (Dose distribution) โดยการวัดด้วยฟิล์มในหุ่นจำลองทรวงอก ที่คำนวนด้วยสองอัลกอริทึมผ่านเกณฑ์การประเมินด้วยอัตราการผ่านแกมมาก็อย่างไรก็ตามพิกัดบริเวณปอดที่ใช้พลังงาน 6 และ 10 เมกะโวลต์ ที่ไม่ใช้ตัวรองปรับเรียงจาก การทดสอบเหล่านี้นำไปสู่การประเมินความถูกต้องของปริมาณรังสีจากแผนการรักษาทั้งหมด 17 แผนการรักษาที่คำนวนด้วยอัลกอริทึม CCC (Raystation TPS) เป็นไปตามเกณฑ์ของ RTOG 0813 แสดงให้เห็นว่าแผนการรักษาที่คำนวนด้วยอัลกอริทึม CCC (Raystation TPS) เป็นไปตามเกณฑ์ของ RTOG 0813 หากกว่าเมื่อเทียบกับแผนการรักษาที่คำนวนใหม่ (Recalculation) ด้วยอัลกอริทึม AAA ซึ่ง RTOG 0813 ใช้มาตรฐานสำหรับการประเมินแผนการรักษาสำหรับเทคนิคการฉายรังสีรวมพิกัดบริเวณปอด ดังนั้นจากการศึกษาในครั้งนี้แสดงให้เห็นว่าปริมาณรังสีแบบบุกที่คำนวนด้วยอัลกอริทึม CCC ให้ความใกล้เคียงกับปริมาณรังสีที่วัดจริงทั้งในตัวกลางที่มีเนื้อเยื่ออเดียกันและเนื้อเยื่อต่างกัน และในส่วนประสิทธิภาพของแผนการรักษาสำหรับการฉายรังสีรวมพิกัดบริเวณปอด สำหรับอัลกอริทึม CCC ที่เป็นไปตามมาตรฐานของ RTOG 0813 หากกว่าอัลกอริทึม AAA นั้นอาจจะไม่สมเหตุสมผลกับอัลกอริทึม AAA ในแง่ของการคำนวนใหม่โดยที่ไม่ได้วางแผนการรักษาในระบบคอมพิวเตอร์วางแผนการรักษาอิเล็กทรอนิกส์โดยตรงตั้งแต่ในขั้นตอนการ Optimization

ผู้วิจัยจึงแนะนำว่าอาจจะต้องวางแผนการรักษาในแต่ละระบบให้ได้ดีที่สุดตามเกณฑ์มาตรฐาน เพื่อความเหมาะสมสำหรับการเปรียบเทียบประสิทธิภาพของแผนการรักษามากยิ่งขึ้น

อภิปรายผลการวิจัย

1. การศึกษาข้อมูลขนาดและตำแหน่งของก้อนมะเร็งระยะแรกของผู้ป่วยที่ผ่านการรักษาด้วยเทคนิค SBRT และมีการคำนวณปริมาณรังสีตัวอย่างอัลกอริทึม AAA ในระบบวางแผนการรักษาอิคลิปส์

จากการศึกษาข้อมูลขนาดและตำแหน่งของก้อนมะเร็งของผู้ป่วย 17 รายของโรงพยาบาลจุฬาภรณ์พบว่าตำแหน่งและขนาดของก้อนมะเร็งที่พบมากที่สุดคือบริเวณปอด ด้านขวากลีบล่าง (Right lower lobe) และขนาดเส้นผ่านศูนย์กลางเฉลี่ย 4 เซนติเมตร และโดยส่วนใหญ่ก้อนมะเร็งจะอยู่บริเวณรอยต่อของเนื้อเยื่อและปอด ซึ่งเป็นปัจจัยสำคัญที่มีผลต่อความถูกต้องของการคำนวณปริมาณรังสีสำหรับการฉายรังสีแบบ SBRT ซึ่งเป็นไปตามงานวิจัยของคุณ Wu VW et al. [57] ที่แสดงให้เห็นถึงอิทธิพลของตำแหน่งและขนาดของก้อนมะเร็งมีผลต่อความถูกต้องของการคำนวณปริมาณรังสีที่มีข้อจำกัดในแต่ละระบบวางแผนการรักษา

2. การตรวจสอบความถูกต้องของปริมาณรังสีแบบจุด (Point dose) สำหรับอัลกอริทึม AAA ในระบบวางแผนการรักษาอิคลิปส์และอัลกอริทึม CCC ในระบบวางแผนการรักษาเรย์สเตชันในหุ่นจำลองที่มีเนื้อเยื่อเดียวกันและมีเนื้อเยื่อต่างกัน

2.1 การตรวจสอบความถูกต้องของปริมาณรังสีแบบจุด (Point dose) สำหรับอัลกอริทึม AAA และ CCC ในหุ่นจำลองที่มีเนื้อเยื่อเดียวกัน จากการทดสอบความถูกต้องโดยการเปิดพื้นที่ฉายรังสีรูปสี่เหลี่ยมจัตุรัส รูปสี่เหลี่ยมผืนผ้า รูปร่างที่เปิดตาม MLC (Concave Convex Block Right Block up และ T-shape) รูปร่างสี่เหลี่ยมจัตุรัสด้วยขยายระยะจากตันกำเนิดรังสีถึงผิวของตัวกลาง 110 เซนติเมตร และการเปิดพื้นที่ฉายรังสีตามลักษณะของผู้ป่วยโดยที่ล้ำรังสีตอกกระหบตัวกลางในแนวเฉียง 30 องศา โดยใช้พลังงาน 6 และ 10 เมกะโวัลต์ที่ไม่ใช้ตัวกรองปรับเรียบสำหรับผลของอัลกอริทึม CCC ผ่านเกณฑ์ที่ยอมรับได้ร้อยละ 2 ในทุกการทดสอบ แต่ในขณะที่ผลของอัลกอริทึม AAA ไม่ผ่านเกณฑ์การยอมรับร้อยละ 2 ในกรณีการเปิดพื้นที่ฉายรังสีรูปสี่เหลี่ยมจัตุรัสด้วยขยายระยะจากตันกำเนิดรังสีถึงผิวของตัวกลาง 110 เซนติเมตรที่ความลึก 5 เซนติเมตร ซึ่งความคลาดเคลื่อนที่เกิดขึ้นอาจเกิดจากในขั้นตอนการวัดรังสีเนื่องด้วยในการนับรังสีมีการวัดติดต่อกันหลายครั้งเนื่องจากมีหลายการทดสอบ ซึ่งในแต่ละการทดสอบจะวัดตัวอย่างน้อย 5 ครั้งต่อ 1 การทดสอบเพื่อความแม่นยำของค่าตอบสนองที่ไม่ได้ตรวจสอบตำแหน่งของหัววัดรังสีเมื่อมีการเปลี่ยนการทดสอบใหม่ ซึ่งหัววัดรังสีอาจไม่ได้อยู่ในตำแหน่งเดิมที่

วางแผนรังสีและระบบวางแผนการรักษาเรย์สเตชันที่ใช้อัลกอริทึม AAA และ CCC ในการคำนวนปริมาณรังสีที่จำแนกตามรังสีที่แตกต่างกันไปซึ่งอยู่ในระบบวางแผนการรักษาในแต่ละระบบ ดังนั้นปริมาณรังสีที่คำนวนได้จากห้องสองอัลกอริทึมอาจแตกต่างกันเล็กน้อย

2.2 การตรวจสอบความถูกต้องของปริมาณรังสีแบบจุด (Point dose) สำหรับอัลกอริทึม AAA และ CCC ในหุ่นจำลองที่มีเนื้อเยื่อต่างกัน จากผลการทดสอบความถูกต้องโดยการกราฟทดสอบตามขนาดพื้นที่ฉายรังสีอ้างอิง 10×10 ตารางเซนติเมตร การเปิดพื้นที่ฉายรังสีโดยการบล็อกกุญแจของพื้นที่ฉายรังสีด้วย MLC การเปิดพื้นที่ฉายรังสีแบบกล่องด้วย 4 ทิศทางของลำรังสีในแนวซ้าย ขวา หน้า หลัง การเปิดพื้นที่ฉายรังสีด้วย MLC การเปิดพื้นที่ฉายรังสีรูปตัวแอลด้วย MLC โดยลำรังสีตัดกระหบในแนวเฉียง 30 องศา และการเปิดพื้นที่ฉายรังสีโดยที่ลำรังสีไม่ได้อยู่ในแนวระนาบเดียวกัน โดยใช้พลังงาน 6 และ 10 เมกะโวลต์ที่ไม่ใช้ตัวกรองปรับเรียนพบว่าผลของอัลกอริทึม CCC และ AAA ผ่านเกณฑ์การยอมรับได้ในทุกการทดสอบสำหรับตัวกลางที่มีเนื้อเยื่อต่างกัน แต่มี 1 กรณีที่เมื่อพิจารณาผลของการทดสอบการเปิดพื้นที่ฉายรังสีแบบกล่องด้วย 4 ทิศทางของลำรังสีในแนวซ้าย ขวา หน้า หลัง ซึ่งวัดปริมาณรังสีที่มุม 0 90 270 และ 180 องศา แล้วผลที่มุม 90 และ 270 องศาของตำแหน่งการวัดที่ 6 ของอัลกอริทึม AAA ไม่ผ่านเกณฑ์การประเมินทั้งในพลังงาน 6 และ 10 เมกะโวลต์ที่ไม่ใช้ตัวกรองปรับเรียน ค่าร้อยละความคลาดเคลื่อนที่เกิดขึ้นนี้อาจเกิดจากทิศทางของลำรังสีในแนวด้านข้างที่ผ่านเนื้อเยื่อไปยังปอดสำหรับมุม 90 องศา และทิศทางการเข้าของลำรังสีที่มุม 270 องศาจะผ่านเนื้อเยื่อไปยังปอดและจากปอดไปยังเนื้อเยื่อและจากเนื้อเยื่อไปยังปอดที่เป็นตำแหน่งที่ 6 สำหรับการวัดซึ่งแทนบริเวณที่เทียบเท่ากับปอด ดังนั้นอาจส่งผลทำให้กระบวนการเกิดอันตรกิริยาของลำรังสีและตัวกลางที่มีความหนาแน่นของอิเล็กตรอนต่างกันมากโดยเฉพาะบริเวณรอยต่อระหว่างเนื้อเยื่อและปอดเกิดการลดทอนปริมาณรังสีปฐมภูมิ (Primary photon attenuation) การสูญเสียพลังงานไปต่อระยะการเคลื่อนที่ภายในความหนาแน่นของตัวกลาง (Stopping power density effect) และการกระจายของไฟต่อนและอิเล็กตรอนทุติยภูมิ (Secondary photon and electron) ซึ่งทำให้เพิ่มความซับซ้อนให้กับอัลกอริทึมในการคำนวนปริมาณรังสีในระบบวางแผนการรักษา ส่งผลให้ประสิทธิภาพในการคำนวนปริมาณรังสีของอัลกอริทึมลดลง [58] ซึ่งอัลกอริทึม CCC และ AAA ใช้หลักการจำลองการกระจายปริมาณรังสีเดียวกันคือ Model based algorithms ซึ่งจะคำนวนปริมาณรังสีในบริเวณ

ความหนาแน่นของอิเล็กตรอนต่ำ (Low density) หรือปอดได้ต่ำกว่าเมื่อเทียบกับการวัดจริงทั้งสองอัลกอริทึม ซึ่งให้ผลไปในทางเดียวกันงานวิจัยของคุณ Golestani A et al. [40] และงานวิจัยของคุณ Rutonjski L et al. [60]

3. การตรวจสอบความถูกต้องของการกระจายปริมาณรังสี (Dose distribution) ที่คำนวนด้วยอัลกอริทึม CCC และ AAA เทียบกับการวัดด้วยฟิล์มนิิดภาพโครมิกในหุ่นจำลองที่มีเนื้อเยื่อต่างกัน

จากผลการตรวจสอบความถูกต้องของการกระจายปริมาณรังสี (Dose distribution) ที่คำนวนด้วยสองอัลกอริทึมเทียบกับปริมาณรังสีที่วัดด้วยฟิล์มนิิดภาพโครมิกในหุ่นจำลองทรวงอก ที่วิเคราะห์ด้วยค่าดัชนีแกรมมา ร้อยละ 3/3 มิลลิเมตร ที่ระดับร้อยละอัตราการผ่านแกรมมา 90 พบว่า ร้อยละอัตราการผ่านแกรมมาที่คำนวนด้วยอัลกอริทึม AAA เท่ากับ ร้อยละ 98.5 และร้อยละ 100 ทั้งพลังงาน 6 และ 10 เมกะโวЛЬต์ ที่ไม่ใช้ตัวกรองปรับเรียบ ตามลำดับ ในขณะการกระจายปริมาณรังสีที่คำนวนด้วยอัลกอริทึม CCC อยู่ภายในเกณฑ์การประเมินที่มีค่าร้อยละ 90.1 และร้อยละ 99.6 ทั้งพลังงาน 6 และ 10 เมกะโวЛЬต์ ที่ไม่ใช้ตัวกรองปรับเรียบเช่นกัน และเมื่อพิจารณาค่าปริมาณรังสีดูดกลืนในแนวแกนกลาง (Central axis :CAX) พบว่าอัลกอริทึม CCC คำนวนปริมาณรังสีที่มากกว่าการวัดด้วยฟิล์ม (Overestimate dose) ซึ่งสอดคล้องกับงานวิจัยของ Victor Löf [49] ซึ่งพบว่าอัลกอริทึม CCC คำนวนปริมาณรังสีมากกว่า (Overestimate dose) สำหรับในพื้นที่ฉายรังสี และจะคำนวนปริมาณรังสีต่ำกว่าพื้นที่ฉายรังสี (Underestimate dose) เมื่อเทียบกับการคำนวนด้วยวิธีมอนติคาร์โล ซึ่งความต่างนี้เกิดจากอัลกอริทึม CCC ไม่ได้มีการจำลองการเพิ่มขึ้นของ lateral scattering ของอิเล็กตรอนทำให้เกิดการขาดส่วนดูดทางอิเล็กตรอนิกส์ในแนวด้านข้าง ในบริเวณที่เป็นความหนาแน่นต่ำ นอกจากนี้อัลกอริทึม CCC ไม่มีการจำลองการเพิ่มขึ้นหรือลดลงของ backscatter ในความหนาแน่นที่เปลี่ยนไปของค่าเคอร์เนลเนื่องจากเคอร์เนลนี้ถูกคำนวนจากในน้ำ [49] และยังสอดคล้องกับงานวิจัยของ Y.M Guan และคณะ [50] จากการตรวจสอบความถูกต้องของอัลกอริทึม CCC (Pinnacle TPS) ในตัวกลางที่มีเนื้อเยื่อต่างกัน และนอกจากนี้ผลการประเมินการกระจายปริมาณรังสีที่คำนวนด้วยอัลกอริทึม AAA สอดคล้องกับงานวิจัยของ Han et al. [27] ที่พบว่าอยู่ในเกณฑ์การประเมินร้อยละ 3/3 มิลลิเมตร ที่ระดับร้อยละอัตราการผ่านแกรมมา 90 ที่วัดโดยใช้ภาพโครมิกฟิล์มเท่ากับร้อยละ 91.7 สำหรับพลังงาน 6 เมกะโวЛЬต์ และงานวิทยานิพนธ์ของ Repchak R et al. [48] ได้ประเมินความถูกต้องของการกระจายปริมาณรังสีที่คำนวนจากอัลกอริทึม AAA ด้วยพลังงานที่ไม่ใช้ตัวกรองปรับเรียบสำหรับการฉายรังสีร่วมพิกัดบริเวณปอดในหุ่นจำลองที่มีเนื้อเยื่อต่างกันซึ่งกว่า RPC วิเคราะห์ด้วยค่าดัชนีแกรมมา ร้อยละ 5/3 มิลลิเมตร ที่ระดับร้อยละอัตราการผ่านแกรมมา 90 พบว่า มีค่า

เท่ากับร้อยละ 93.7 และ 95.8 สำหรับพลังงาน 6 และ 10 เมกะโวลต์ ที่ไม่ใช้ตัวกรองปรับเรียนตามลำดับ ซึ่งแสดงให้เห็นถึงความถูกต้องของการคำนวณการกระจายปริมาณรังสีด้วยอัลกอริทึม AAA และ CCC ไม่จำเป็นต้องใช้พลังงาน 6 หรือ 10 เมกะโวลต์ ที่ไม่ใช้ตัวกรองปรับเรียนก็ตาม

4. การประเมินแผนการรักษาระหว่างการคำนวณด้วยอัลกอริทึม CCC และ AAA ของผู้ป่วย 17 รายตามมาตรฐาน RTOG 0813

จากการทดลองของงานวิจัยเมื่อประเมินด้วยค่า D_{\min} D_{mean} D_{\max} $D_{99\%}$ และ $D_{95\%}$ แสดงให้เห็นว่าไม่มีความแตกต่างอย่างมีนัยสำคัญทางสถิติระหว่างปริมาณรังสีที่คำนวณด้วยอัลกอริทึม CCC และการคำนวณใหม่ (Re-calculation) ด้วยอัลกอริทึม AAA อาจเกิดจากอัลกอริทึม CCC และ AAA ใช้หลักการคำนวณปริมาณรังสีด้วยหลักการเดียวกันคือ Model based algorithms [30, 58, 59] เป็นการจำลองการเกิด Primary photon และ Secondary electron ด้วยวิธีการมองติดควร์โลที่มีการคำนึงถึงการแก้ค่าในบริเวณที่มีเนื้อเยื่อต่างกัน (Heterogeneity correction) เพื่อให้การกระจายปริมาณรังสีมีความถูกต้องใกล้เคียงกับความเป็นจริงมากที่สุด ซึ่งในขั้นตอนของการแก้ค่า Heterogeneity correction มีลักษณะที่แตกต่างกันระหว่างอัลกอริทึม CCC และ AAA นอกจากนี้แผนการรักษาของอัลกอริทึม AAA เกิดจากการกำหนด MU และ ลักษณะการเคลื่อนที่ของ MLC ที่เท่ากับผลของการคำนวณอัลกอริทึม CCC ดังนั้นอาจจะไม่เป็นผลดีสำหรับอัลกอริทึม AAA เมื่อใช้เปรียบเทียบกันเนื่องจากเป็นการคำนวณใหม่เท่านั้นไม่ได้มีการทำในขั้นตอน Optimization เพื่อให้ได้เป็นแผนการรักษาที่ดีที่สุดสำหรับอัลกอริทึม AAA

จากการทดลองของงานวิจัยที่ต้องการประเมินแผนการรักษาด้วย $R_{100\%}$ $R_{50\%}$ D_{2cm} และ $V_{20\%}$ (ปอดสองข้าง) ตามมาตรฐาน RTOG 0813 แสดงให้เห็นว่าเกิด Major deviation ของค่า $R_{50\%}$ ที่ปัจจุบันถือเป็นไปตามเกณฑ์มาตรฐาน RTOG 0813 ทั้งหมด 7 PTV สำหรับผลของอัลกอริทึม AAA โดยตำแหน่งของก้อนมะเร็งทั้ง 7 PTV นี้มีขนาดเล็กและอยู่บริเวณรอยต่อระหว่างปอดและเนื้อเยื่อซึ่งบริเวณนี้มีผลต่อความถูกต้องของการคำนวณปริมาณรังสี ซึ่งสอดคล้องกับงานวิจัยของคุณ Srivastava RP et al. [55] แสดงให้เห็นว่าปัจจัยจากความซับซ้อนของความหนาแน่นของอิเล็กตรอนที่ต่างกันในบริเวณที่มีเนื้อเยื่อต่างกัน อัลกอริทึมในการคำนวณปริมาณรังสีจะต้องมีการแก้ค่าให้มีความถูกต้องใกล้เคียงกับความเป็นจริง โดยผลกระทบที่เกิดจากความไม่สมดุลทางอิเล็กทรอนิกส์ของอนุภาคประจุชั่วคราว (Transient electronic disequilibrium) ณ บริเวณรอยต่อของเนื้อเยื่อที่มีความหนาแน่นต่างกันจะไปเพิ่มความยากในการคำนวณปริมาณรังสีของอัลกอริทึม ไม่ว่าจะเป็นอัลกอริทึม CCC หรือ AAA นอกจากนี้อัลกอริทึม AAA จะคำนวณปริมาณรังสีได้มากกว่าความเป็นจริงในบริเวณใกล้รอยต่อจากเนื้อเยื่อไปยังปอดแต่จะคำนวณปริมาณรังสีได้ต่ำกว่าความเป็นจริงในบริเวณใกล้รอยต่อจากปอดไปยังเนื้อเยื่อที่ได้อธิบายไว้ใน

งานวิจัยของคุณ Chopra KL et al. [43] และสำหรับงานวิจัยนี้เป็นการศึกษาในบริเวณปอดซึ่งมีก้อนมะเร็งมีความหนาแน่นใกล้เคียงกับเนื้อเยื่อที่ถูกกลั่นรอบด้วยปอดที่มีความหนาแน่นต่ำ กระดูกซี่โครง และกระดูกสันหลังที่ความหนาแน่นสูง ซึ่งมีความหนาแน่นที่ความต่างกันมาก ดังนั้น ที่บริเวณรอยต่อของเนื้อเยื่อที่มีความหนาแน่นต่างกันจะมีผลต่อกระบวนการในการคำนวณ ปริมาณรังสีแล้วนั้น ขนาดของก้อนมะเร็งที่มีขนาดเล็กที่ซึ่งสัมพันธ์กับพื้นที่ฉายรังสีมีขนาดเล็กตาม ขนาดของก้อนมะเร็งก็อาจจะเป็นปัจจัยหนึ่งที่ส่งผลกระทบต่อความถูกต้องของการคำนวณ ปริมาณรังสีเช่นกัน [56]





บรรณานุกรม

- [1] จันจิรา เพชรสุขศิริ. (2560). บทบาทของรังสีรักษาในการรักษาโรคมะเร็ง. สืบค้น 16 สิงหาคม 2560, จาก <http://www.si.mahidol.ac.th/th/department/radiology/Pdf/book/>
- [2] พวงทอง ไกรพิมูลย์. (2555). มะเร็งปอดชนิดเซลล์ตัวโต (Non-small cell lung cancer: NSCLC). สืบค้น 16 สิงหาคม 2560, จาก <http://haamor.com/th>
- [3] Benedict, S. H., Yenice, K. M., Followill, D., Galvinet, J. M., Hinson, W., & Kavanagh, B. (2010). Stereotactic body radiation therapy: The report of TG101. *Med Phys*, 37, 4078-4101.
- [4] สาขาวิชารังสีรักษาและมะเร็งวิทยาฝ่ายรังสีวิทยา โรงพยาบาลจุฬาลงกรณ์สภากาชาดไทย. (ม.บ.ป.). การฉายรังสีร่วมพิกัด. สืบค้น 16 สิงหาคม 2560, จาก [http://www.chulacancer.net/uploads/upfiles/files/stereoT\(1\).pdf](http://www.chulacancer.net/uploads/upfiles/files/stereoT(1).pdf)
- [5] Radiological Society of North America. (n.d.). *Stereotactic body radiation therapy highly effective lung cancer treatment*. Retrieved August, 18, 2017, from <https://www.ncbi.nlm.nih.gov/pmc/articles/PMC6318482/>
- [6] Cherpak, A. J., Cygler, J. E., Andrusyk, S., Pantarotto, J., MacRae, R., & Perry, G. (2012). Clinical use of a novel in vivo 4D monitoring system for simultaneous patient motion and dose measurements. *Radiother Oncol*, 102(2), 290–296.
- [7] Klein, E. E., Hanley, J., & Bayouth, J. (2009). Task Group 142 report: Quality assurance of medical accelerators. *Med Phys*, 36(9), 4197–4212.
- [8] Brahme, A. (2003). Biologically optimized 3-dimensional in vivo predictive assay-based radiation therapy using positron emission tomography-computerized tomography imaging. *Acta Oncol*, 42(2), 123–136.
- [9] Karlsson, M., & Zackrisson, B. (1997). Exploration of new treatment modalities offered by high energy (up to 50 MeV) electrons and photons. *Radiother Oncol*, 43(3), 303–309.
- [10] Araki, F. (2006). Monte carlo study of a cyberknife stereotactic radiosurgery system. *Med Phys*, 33(8), 2955–2963.

- [11] Dieterich, S., & Pawlicki, T. (2008). Cyberknife image-guided delivery and quality assurance. *Int J Radiat Oncol Biol Phys*, 71(1 Suppl), S126–S130.
- [12] Jeraj, R., Mackie, T. R., & Balog, J. (2004). Radiation characteristics of helical tomotherapy. *Med Phys*, 31(2), 396–404.
- [13] Christina, Z., Nathan, B., Rongtao, M., Xiaoying, L., & Shuo, W. (2017). A comprehensive dosimetric study on switching from a Type-B to a Type-C dose algorithm for modern lung SBRT. *Radiat Oncol*, 12, 80.
- [14] Varian Medical Systems. (2009). *Eclipse Algorithms Reference Guide*. N.P.: n.p.
- [15] Tillikainen, L., Helminen, H., Torsti, T., Siljamäki, S., & Alakuijala, J. (2008). A 3D pencil beam based superposition algorithm for photon dose calculation in heterogeneous media. *Phys. Med. Biol.*, 53, 3821–3839.
- [16] Golestani, A., Houshyari, M., Mostaar, A., & Arfale, A. J. (2015). Evaluation of dose calculation algorithms of Isogram treatment planning system using measurement in heterogeneous phantom. *Rep Radiother Oncol*, 2(3), e5320.
- [17] Zhou, C., Bennlon, N., Ma, R., Liang, X., & Wang, S. (2017). A comprehensive dosimetric study on switching from a Type-B to a Type-C dose algorithm for modern lung SBRT. *Radiat Oncol*, 12, 80.
- [18] Chaikh, A., Khamphan, C., Kumar, T., Garcia, R., & Baloosso, J. (2016). What should we know about photon dose calculation algorithms used for radiotherapy? Their impact on dose distribution and medical decisions based on TCP/NTCP. *Int J Cancer Ther Oncol*, 4, 4418.
- [19] Ahnesjo, A. (1989). Collapsed cone convolution of radiant energy for photon dose calculation in heterogeneous media. *Med Phys*, 16, 577–92.
- [20] Raystation. (n.d.). Raystation dose calculation algorithms.
Retrieved August, 18, 2017, from https://pdfs.semanticscholar.org/c59a/4c830073f2db249f6ae7a18bf85d7_99b8785.pdf
- [21] Miften, M., Fraass, B., & McShan, D. (1996). Analysis of the accuracy of various approximations in convolution dose calculation methods. *Med. Phys*, 6, 1128.

- [22] Papanikolaou, N., Mackie, T. R., Meger-wells, C., & Gehring, M. (1993). Investigation of the convolution method for polyenergetic spectra. *Mes Phy*, 20, 1327-1336.
- [23] Sharp, M. B., & Battista, J. J. (1993). Dose calculations using convolution and superposition principles: The orientation of dose spread kernels in divergent x-ray beams. *Med. Phy*, 20, 1685-1694.
- [24] Chaikh, A., Khamphan, C., Kumar, T., Garcia, R., & Balosso, J. (2016). What should we know about photon dose calculation algorithms used for radiotherapy? Their impact on dose distribution and medical decisions based on TCP/NTCP. *Int J Cancer Ther Oncol*, 4, 4418.
- [25] Wen, N., Lu, S., Kim, J., Qin, Y., Huang, Y., & Zhao, B. (2016). Precise film dosimetry for stereotactic radiosurgery and stereotactic body radiotherapy quality assurance using Gafchromic™ EBT3 films. *Radiat Oncol*, 11, 2-11.
- [26] International Atomic Energy Agency. (2008). Commissioning of Radiotherapy Treatment Planning Systems: Testing for Typical External Beam Treatment Techniques. IAEA, 3-67.
- [27] Han, T., Followill, D., Mikell, J. K., Repchak, R., Molineu, A., & Howell, R. (2013). Dosimetric impact of Acuros XB deterministic radiation transport algorithm for heterogeneous dose calculation in lung cancer. *Med Phys*, 40, 051710-1.
- [28] Zhen, H., Hrycushko, B., Lee, H., Timmerman, R., Pompos, A., & Stojadinovic, S. (2015). *Dosimetric comparison of Acuros XB with collapsed cone convolution/superposition and anisotropic analytic algorithm for stereotactic ablative radiotherapy of thoracic spinal metastases*. N.P.: n.p.
- [29] Zheng, D., Verma, V., Wang, S., Liang, X., & Zhou, S. (2018). Does intensity modulation increase target dose calculation errors of conventional algorithms for lung SBRT? *J Appl Clin Med Phys*, 19(2), 154–159.
- [30] Zhou, C., Bennion, N., Ma, R., Liang, X., & Wang, S. (2017). A comprehensive dosimetric study on switching from a Type-B to a Type-C dose algorithm for modern lung SBRT. *Radiat. Oncol*, 12, 80.

- [31] PHILIPS. (n.d.). *Brilliance big bore 16 slices*. Retrieved August 18, 2017, from <https://www.amberusa.com/equipment/ct/16-slice/phillips-brilliance-big-bore>
- [32] Varian. (n.d.). *TrueBeam® Radiotherapy System*. Retrieved August 18, 2017, from <https://www.varian.com/ch/oncology/products/treatment-delivery/truebeam-radiotherapy-system?cat=workflow>
- [33] Radiation Products Design. (n.d.). *Scanditronix / Wellhofer Compact chamber CC13*. Retrieved 18 August 2017, from <http://www.rpdinc.com/scanditronix-wellhofer-compact-chamber-cc13-992.html>
- [34] Radiation Products Design. (n.d.). *Gafchromic film*. Retrieved August 19, 2017, from <http://www.rpdinc.com/gafchromic-film-ebt3-8x10-inch-243.html>
- [35] Proscan. (n.d.). *Microtek ScanMaker 9800XL flatbed scanner*. Retrieved August 19, 2017, from <http://www.proscan.com.au/microtek-scanmaker-9800xl-flatbed-scanner>
- [36] Varian. (n.d.). *Eclipse™ Treatment Planning System*. Retrieved August 19, 2017, from <https://www.varian.com/oncology/products/software/treatment-planning/eclipse-treatment-planning-system>
- [37] Craft, D., Chen, W., Salari, E., Yarmand, H., Wala, J., & Hong, T. (2017). *Ray station treatment planning system. Massachusetts general hospital department of radiation oncology*. Retrieved August 19, 2017, from <https://gray.mgh.harvard.edu/%20research/optimization/39-multicriteria-optimization>
- [38] International Atomic Energy Agency (IAEA) (2005). *commissioning and quality assurance of computerized planning systems for radiation treatment of cancer: Technical Report Series 430*. Vienna: International Atomic Energy Agency.
- [39] Mzenda, B., Mugabe, K. V., Sims, R., Godwin, G., & Loria, D. (2014). *Modeling and dosimetric performance evaluation of the Ray station treatment planning system*. N.P.: n.p.
- [40] Asnaashari, K., Nodehi, M. R. G., Mahdavi, S. R., Gholami, S., & Khosravi, H. R. (2013). *Dosimetric comparison of different inhomogeneity correction algorithms for external photon beam dose calculations*. N.P.: n.p.

- [41] Golestani, A., Houshyari, M., Mostaar, A., & Arfaie, A. J. (2015). Evaluation of dose calculation algorithms of Isogray treatment planning system using measurement in heterogeneous phantom. *Rep Radiother Oncol*, 2(3), e5320.
- [42] RTOG. (2012). *Seamless phase I/II study of stereotactic lung radiotherapy (SBRT) for early stage, centrally located, non-small cell lung cancer (NSCLC) in medically inoperable patients. RTOG 0813*. N.P.: n.p.
- [43] Chopra, K. L., Leo, P., Kabat, C., Ral, D. V., Avadhani, J., & Kehwar, T. S. (2018). Evaluation of dose calculation accuracy of treatment planning systems in the presence of tissue heterogeneities. *Ther Radiol Oncol*, 2, 28.
- [44] Ray Search Laboratories AB (2016). *Ray station 6 reference manual*. Stockholm: n.p.
- [45] Herrick, A. C. (2010). A comparative dosimetric analysis of the effect of heterogeneity corrections used in three treatment planning algorithms (Doctoral dissertation). University of Toledo, N.P.
- [46] Devpura, S., Siddiqui, M. S., Chen, D., Liu, D., & Li, H. (2014). *Recommendations for dose calculations of lung cancer treatment plans treated with stereotactic ablative body radiotherapy (SABR)*. N.P.: n.p.
- [47] Chetty, I. J., Devpura, S., Liu, D., Chen, D., Li, H., & Wen, N. M. (2013). Correlation of dose computed using different algorithms with local control following stereotactic ablative radiotherapy (SABR)-based treatment of non-small-cell lung cancer. *Radiother Oncol*, 498, 504.
- [48] Repchak, R., & Followill, D. S. (2012). *Evaluation of the effectiveness of anisotropic analytical algorithm in flattened and flattening filter free beams for high energy lung dose delivery using the radiological physics center lung phantom* (Doctoral dissertation). N.P.: University of Texas Health Science Center.
- [49] Löf, V. (2015). *The difference between a collapsed cone based and a monte carlo based dose calculation algorithm* (Doctoral dissertation). N.P.: KTH School of Engineering Sciences.

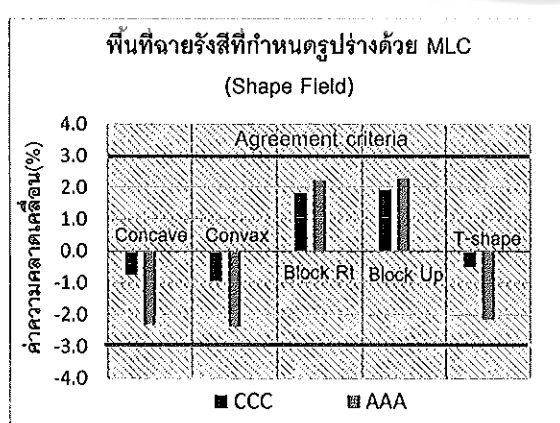
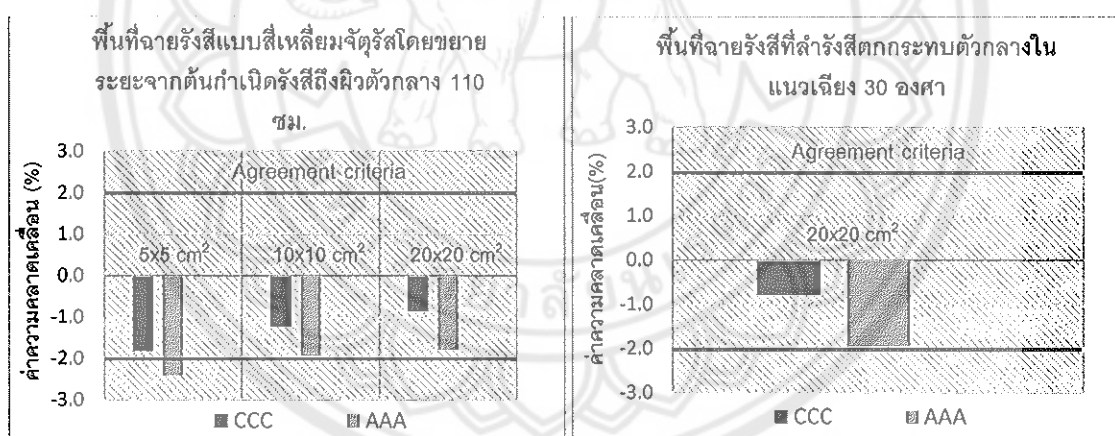
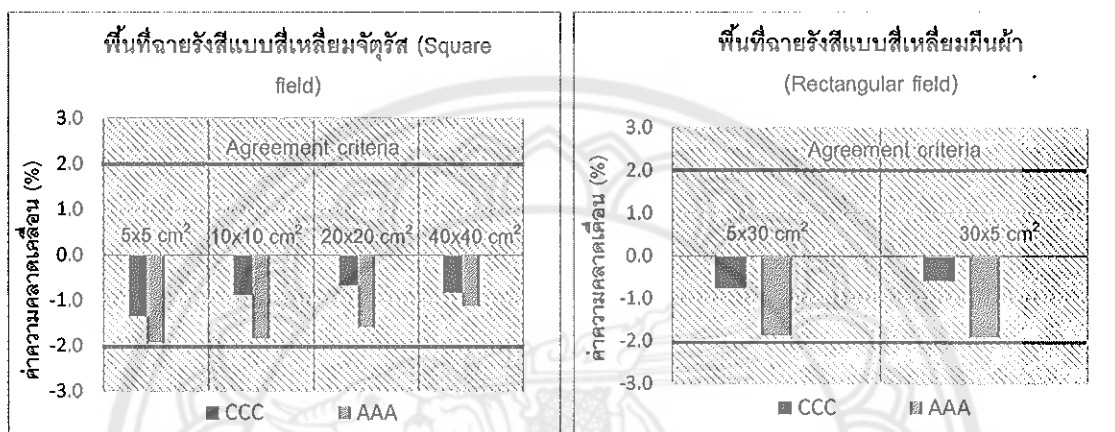
- [50] Guan, Y. M., Zhou, L. H., Zhen, X., Lu, W. T., & Zhang, S. X. (2010). *Dosimetric verification of collapsed cone convolution algorithm in heterogeneous media*. England: Biomed.
- [51] Rana, S., Rogers, K., Pokharel, S., & Cheng, C. (2014). Evaluation of acuros XB algorithm based on RTOG 0813 dosimetric criteria for SBRT lung treatment with RapidArc. *J Appl Clin Med Phys*, 15(1), 4474.
- [52] Li, J., Galvin, J., Harrison, A., Timmerman, R., Yu, Y., & Xiao, Y. (2012). Dosimetric verification using monte carlo calculations for tissue heterogeneity-corrected conformal treatment plans following RTOG 0813 dosimetric criteria for lung cancer stereotactic body radiotherapy. *Int J Radiat Oncol Biol Phys*, 84(2), 508–513.
- [53] Ezzell, G. A., Burmeister, J. W., Dogan, N., LoSasso, T. J., Mechalakos, J. G., & Mihailidis, D. (2009). IMRT commissioning: multiple institution planning and dosimetry comparisons, a report from AAPM Task Group 119. *Med Phys*, 36, 5362–5366.
- [54] PTW Headquarters. (2018). *Freiburg: Acrylic and RW3 Slab Phantoms*. Retrieved May 13, 2019, from https://www.ptw.de/acrylic_and_rw3_slab_phantoms0.html
- [55] Srivastava, R. P., Olteanu, A., Ebongue, A. N., Bekaert, B., De Wagter, C. (2009). Output measurement for small field photon beams in a sandwiched phantom. In *dessel O and Schlegel WC, editors. IFMBE Proceedings 2009* (pp. 601–603.). New York: Springer.
- [56] Wilcox, E. E., Dasakalov, G. M., Lincolon, H., Shumway, R. C., Kaplan, B. M., Colasanto, J. M. (2010). Comparison of planned dose distributions calculated by Monte Carlo and Ray-Trace algorithms for the treatment of lung tumors with cyberknife: a preliminary study in 33 patients. *Int J Radiat Oncol, Biol Phys*, 77(1), 277–84.

- [57] Wu, V. W., Tam, K. W., Tong, S. M. (2013). Evaluation of the influence of tumor location and size on the difference of dose calculation between Ray Tracing algorithm and Fast Monte Carlo algorithm in stereotactic body radiotherapy of non-small cell lung cancer using Cyber Knife. *J Appl Clin Med Phys*, 14, 68-77.
- [58] Papanikolaou, N., Battista, J. J., Boyer, A. L., Kappas, C., Klein, E., Mackie, T. R. (2004). Tissue inhomogeneity corrections for megavoltage photon beams. *Report of Task Group No. 65 of the Radiation Therapy Committee of the American Association of Physicists in Medicine*, 85, 19-31.
- [59] Oelfke, U., & Scholz, C. (n.d.). *Dose Calculation Algorithms* [Internet]. Retrieved May 13, 2019, from <http://eknygos.lsmuni.lt/springer/315/187-196.pdf>
- [60] Rutonjski, L., Petrovic, B., Baucal, M., Teodorovi, M., Cudic, O., Gershkevitsh, E. (2012). Dosimetric verification of radiotherapy treatment planning systems in Serbia: national audit. *Radlat Oncol*, 2012, 1-8.
- [61] *The Respiratory System, Lung Lobe Anatomy*. (2017). Retrieved May 13, 2019, from <https://www.therespiratorysystem.com/glossary/lung-lobes/>

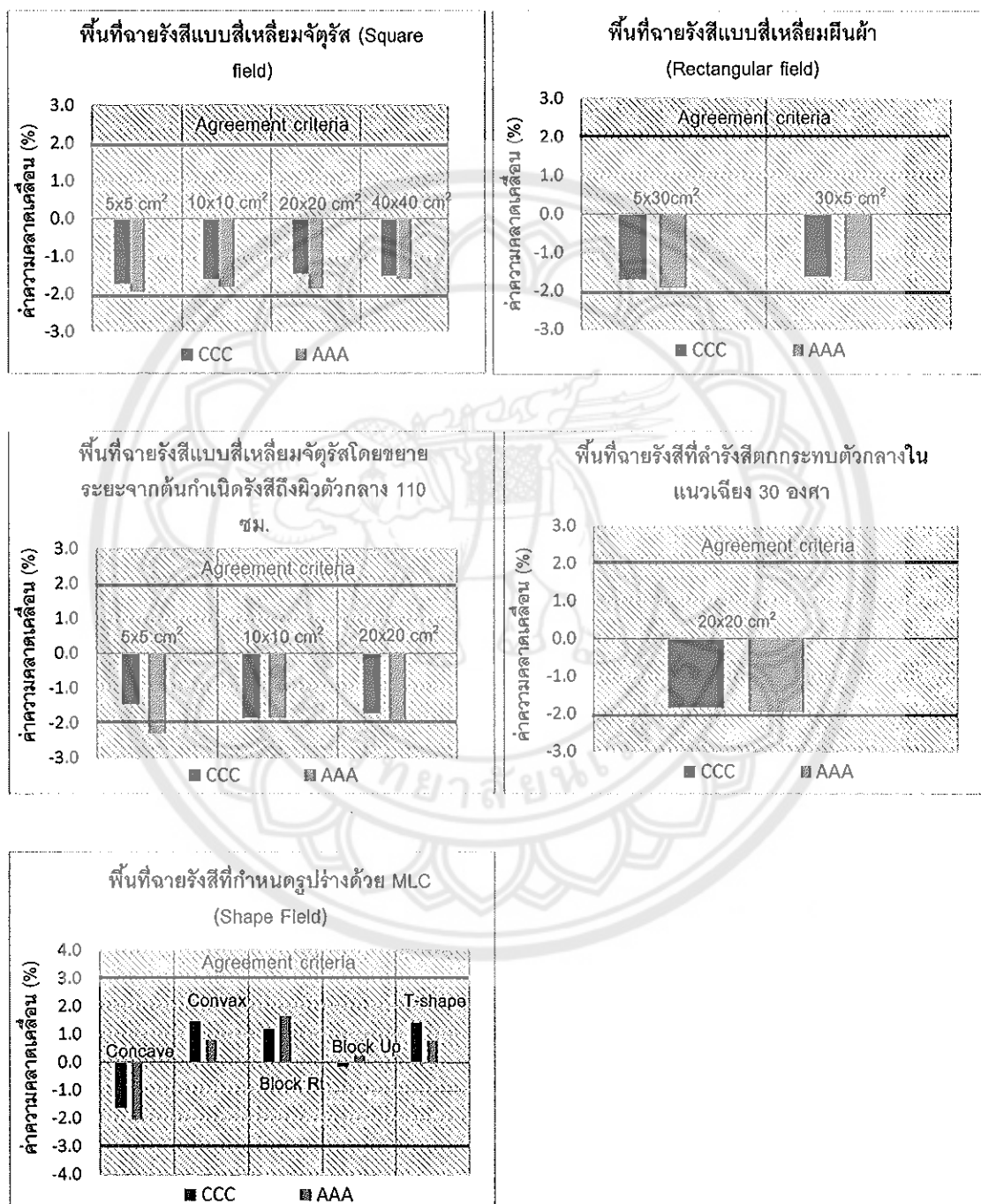


ภาคผนวก ก

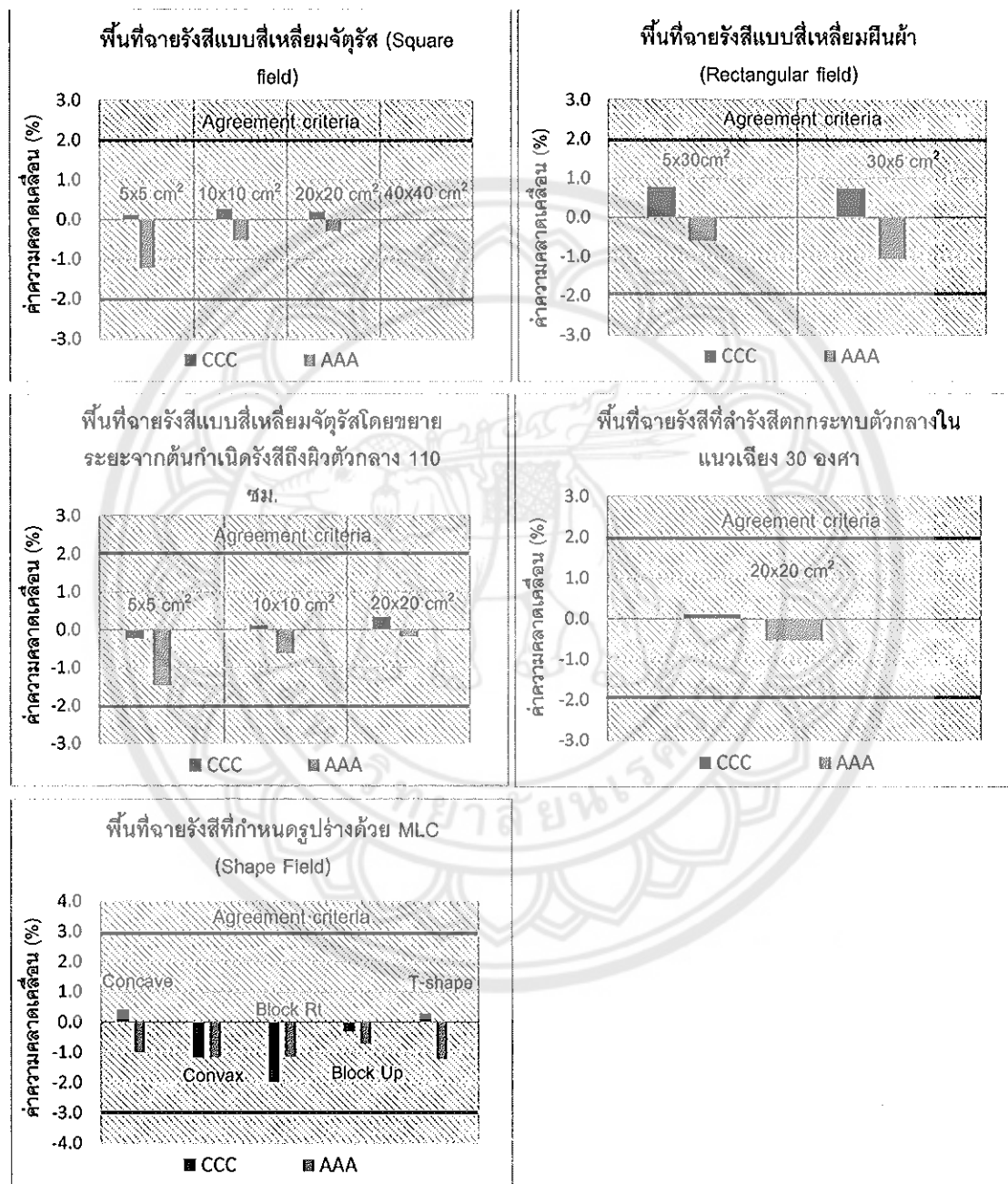
กราฟแสดงผลการตรวจสอบความถูกต้องของปริมาณรังสีแบบจุดของอัลกอริทึม CCC และ AAA ในตัวกลางที่เป็นเนื้อเยื่ออเดียวกันในทุกการทดสอบที่ความลึก 5 เซนติเมตร สำหรับพลังงาน 6 เมกะโวლต์ที่ไม่ใช้ตัวกรองป้องกันเรียง



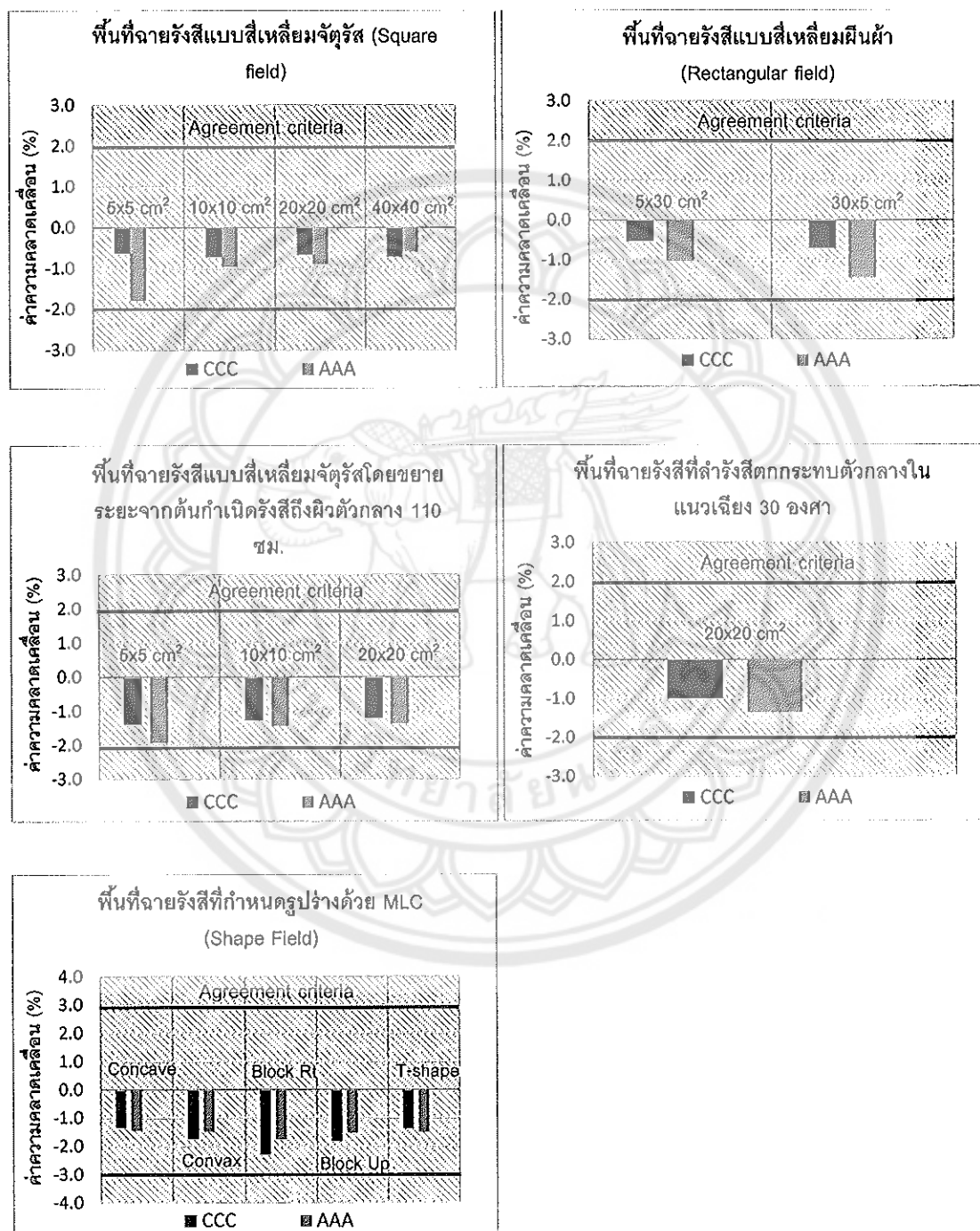
กราฟแสดงผลการตรวจสอบความถูกต้องของปริมาณรังสีแบบจุดของอัลกอริทึม CCC และ AAA ในตัวกลางที่เป็นเนื้อเยื่อเดียวกันในทุกการทดสอบที่ความลึก 5 เซนติเมตร สำหรับพลังงาน 10 เมกะโวლต์ที่ไม่ใช้ตัวกรองปรับเรียบ



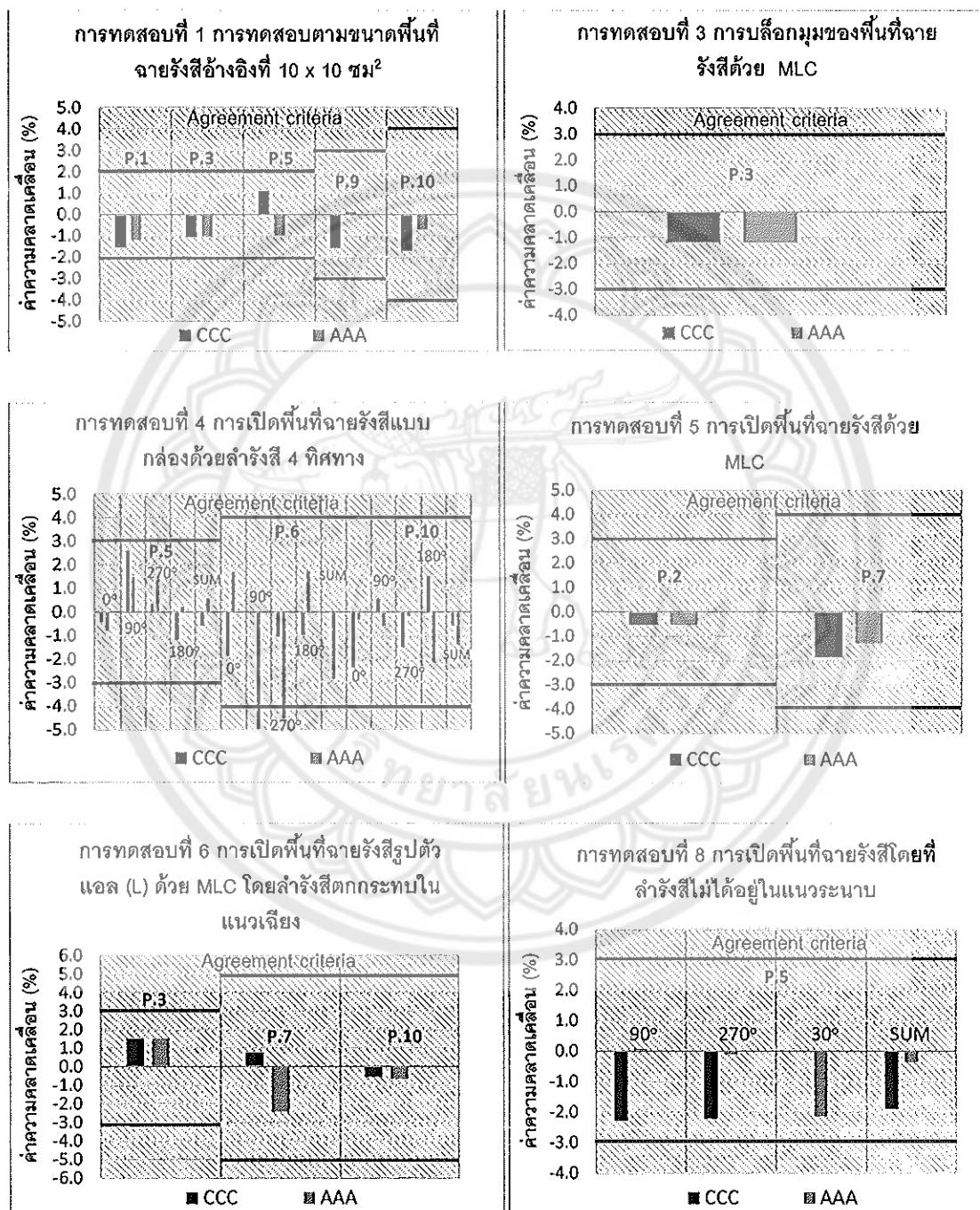
กราฟแสดงผลการตรวจสอบความถูกต้องของปริมาณรังสีแบบจุดของอัลกอริทึม CCC และ AAA ในตัวกลางที่เป็นเนื้อเยื่อเดียวกันในทุกการทดสอบที่ความลึก 10 เซนติเมตร สำหรับพัลส์งาน 6 เมกะโ华ตที่ไม่ใช้ตัวกรองป้องกันเรียง



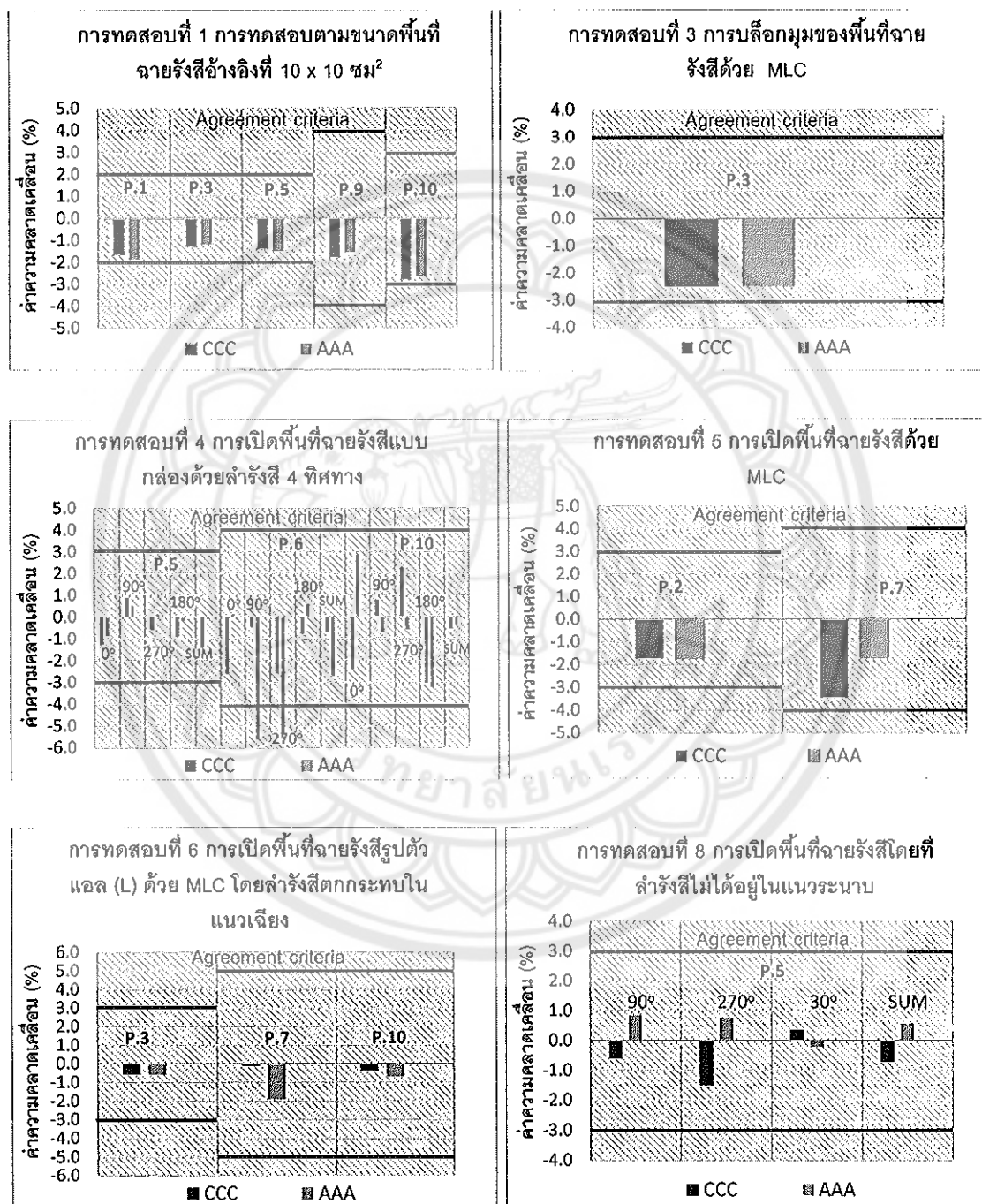
กราฟแสดงผลการตรวจสอบความถูกต้องของปริมาณรังสีแบบจุดของอัลกอริทึม CCC และ AAA ในตัวกลางที่เป็นเนื้อเยื่อเดียวกันในทุกการทดสอบที่ความลึก 10 เซนติเมตร สำหรับพลังงาน 10 เมกะโวลต์ที่ไม่ใช้ตัวกรองป้องกันเรียมบ์



กราฟแสดงผลการตรวจสอบความถูกต้องของปริมาณวัสดุของอัลกอริทึม CCC และ AAA ในตัวกลางที่เป็นเนื้อเยื่อต่างกันในทำการทดสอบ สำหรับพลังงาน 6 เมกะโวลต์ที่ไม่ใช้ตัวกรองปรับเรียบ



กราฟแสดงผลการตรวจสอบความถูกต้องของปริมาณรังสีแบบจุดของอัลกอริทึม CCC และ AAA ในตัวกลางที่เป็นเนื้อยื่อต่างกันในทุกการทดสอบ สำหรับพลังงาน 10 เมกะโวЛЬต์ที่ไม่ใช้ตัวกรองปรับเรี่ยบ



ภาคผนวก ข

การคาดคะเนพิล์มก่อนการวัดการกระจายปริมาณรังสี

1. การเตรียมพิล์มนิ่งกราฟโครมิกรุ่น EBT3

1.1 ตัดพิล์มให้มีขนาด 4×4 ตารางเซนติเมตร จำนวน 24 แผ่น โดยแบ่งเป็น 2 ชุด (12 แผ่นสำหรับพลังงาน 6 เมกะโวลต์ที่ไม่ใช้ตัวกรองป้องกันเรย์บ และ 12 แผ่นสำหรับพลังงาน 10 เมกะโวลต์ที่ไม่ใช้ตัวกรองป้องกันเรย์บ)

2. กำหนดปริมาณรังสีสำหรับการคาดคะเนทั้ง 2 พลังงานคือ 0 2 4 5 6 7 8 9 10 11 13 และ 14 เกรย์

3. การชายปริมาณรังสีให้กับพิล์มด้วยค่ามอนิเตอร์ยูนิตที่สัมพันธ์กับปริมาณรังสีที่กำหนดในข้อ 2

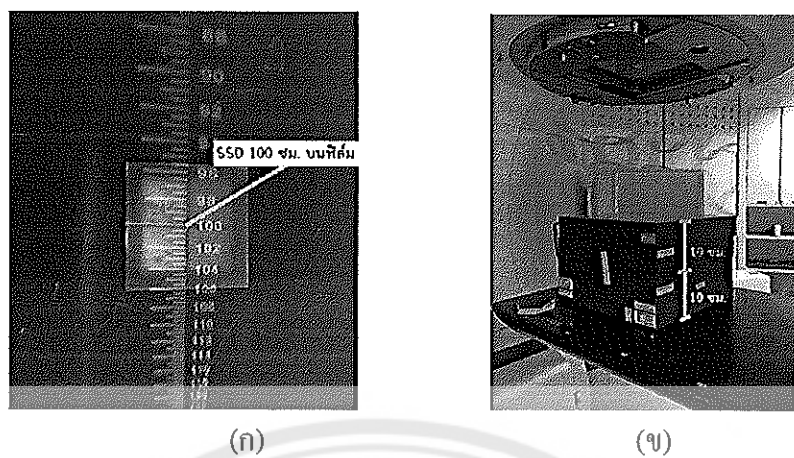
3.1 กำหนดพารามิเตอร์สำหรับการชายรังสีคือ

3.1.1 อัตราปริมาณรังสี 1200 มอร์นิเตอร์ยูนิตต่อนาที สำหรับห้องสองพลังงาน

3.1.2 ขนาดพื้นที่ชายรังสี เท่ากับ 10×10 ตารางเซนติเมตร

3.1.3 ชายรังสีด้วยเทคนิค SAD เท่ากับ 100 เซนติเมตร ที่ความลึก 10 เซนติเมตร

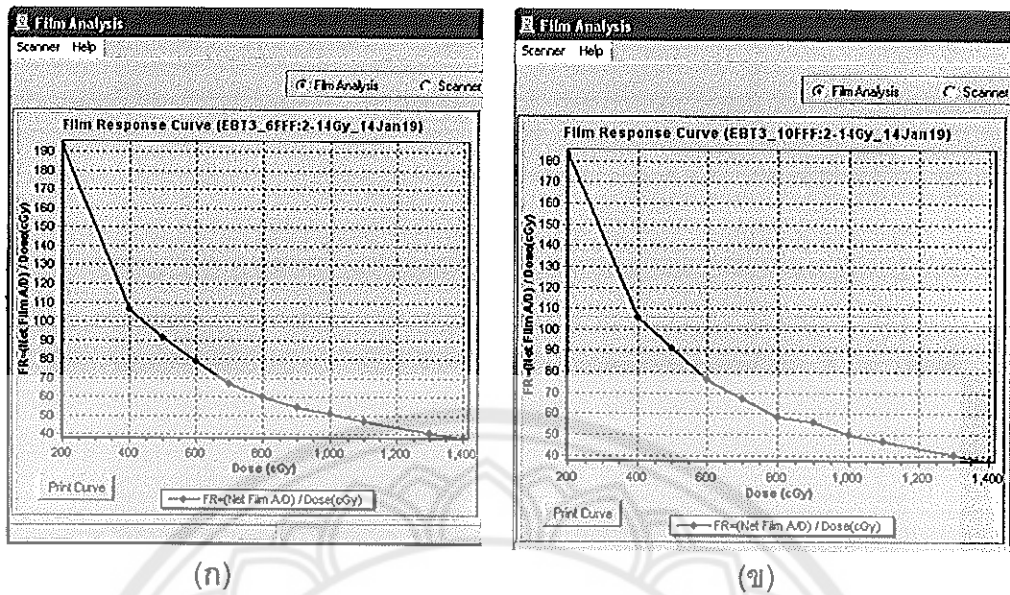
3.2 การติดตั้งหุ่นจำลอง Solid water phantom โดยวางเป็นฐาน 10 เซนติเมตร จากนั้นวางพิล์มลงบนหุ่นจำลอง Solid water phantom และกำหนด SSD บนพิล์มเท่ากับ 100 เซนติเมตร ดังแสดงในภาพที่ 42 (ก) และวางหุ่นจำลอง Solid water phantom ที่มีความหนาเพิ่มอีก 10 เซนติเมตร เพื่อให้เกิด Full scatter สำหรับการนับวัดปริมาณรังสี ดังแสดงในภาพ 42 (ข)



ภาพ 42 (ก) การวางฟิล์มบน Solid water phantom ที่ระยะ SSD 100 เซนติเมตร
(ข) การติดตั้งหุ่นจำลอง Solid water phantom สำหรับการฉายรังสีบนฟิล์ม

3.3 จานนี้น้ำจ่ายรังสีด้วยค่ามอนิเตอร์ยูนิตที่สัมพันธ์กับแต่ละค่าปริมาณรังสีคือ 245
6 7 8 9 10 11 13 และ 14 เกรย์ บราฟล์มจนครบทั้งสองผลัgang

3.4 ปล่อยฟิล์มที่ฉายรังสีไว้เป็นเวลา 48 ชั่วโมง แล้วนำฟิล์มทึ้งหมด 24 แผ่น เข้าเครื่องสแกนเพื่อแปลงค่าความดำของแต่ละค่าปริมาณรังสีไปสร้าง Calibration curve ในแต่ละ พลังงานดังแสดงในภาพ 43 (ก) สำหรับพลังงาน 6 และ 43 (ข) สำหรับพลังงาน 10 เมกะโวლต์ที่ไม่ใช้ตัวกรองป้องกันรังสี



ภาพ 43 (ก) กราฟความสัมพันธ์ระหว่างค่าปริมาณรังสีและค่าความดับนฟิล์ม (OD) ของพลังงาน 6 เมกะโวลต์ ที่ไม่ใช้ตัวกรองปรับเรียบ
 (ข) กราฟความสัมพันธ์ระหว่างค่าปริมาณรังสีและค่าความดับนฟิล์ม (OD) ของพลังงาน 10 เมกะโวลต์ ที่ไม่ใช้ตัวกรองปรับเรียบ



อภิธานศัพท์

Point dose	: ปริมาณรังสีแบบจุด
Dose distribution	: การกระจายปริมาณรังสีหรือปริมาณรังสี 2 มิติ
Agreement criteria	: เกณฑ์การยอมรับได้ของปริมาณรังสี
Flattening filter free beam	: ลำรังสีที่ไม่ใช่ตัวกรองป้องเรียบ
Lung SBRT	: การฉายรังสีร่วมพิกัดบริเวณลำตัว (บริเวณปอด)
Homogeneity media	: ตัวกลางที่เป็นเนื้อเดียวกัน เช่น หุ่นจำลองชนิด Solid water slab phantom
Heterogeneity media	: ตัวกลางที่ไม่เป็นเนื้อเดียวกัน เช่น หุ่นจำลองการรักษา บริเวณทรวงอก (IMRT Thorax CIRS phantom)
Treatment planning system	: ระบบคอมพิวเตอร์วางแผนการรักษา เช่น ยีห้ออิคลิปส์ (Eclipse TPS) ยีห้อเรย์สเทชั่น (Raysstation TPS) เป็นต้น
$R_{100\%}$: อัตราส่วนของปริมาตรของก้อนมะเร็ง (PTV) ที่เส้นปริมาณรังสีร้อยละ 100 คดูมต่อปริมาตรของก้อนมะเร็ง ทั้งหมด
$R_{50\%}$: อัตราส่วนของปริมาตรของก้อนมะเร็ง (PTV) ที่เส้นปริมาณรังสีร้อยละ 50 คดูมต่อปริมาตรของก้อนมะเร็ง ทั้งหมด
D_{2cm}	: ปริมาณรังสีที่ระยะ 2 ซม. จากขอบเขตของก้อนมะเร็ง (PTV)
D_{max}	: ปริมาณรังสีสูงสุด
D_{mean}	: ปริมาณรังสีเฉลี่ย
D_{min}	: ปริมาณรังสีต่ำสุด
$D_{95\%}$: ปริมาณรังสีที่ปริมาตรร้อยละ 95 ของก้อนมะเร็งได้รับ
$D_{99\%}$: ปริมาณรังสีที่ปริมาตรร้อยละ 99 ของก้อนมะเร็งได้รับ

อภิธานศัพท์ (ต่อ)

- $V_{20\%}$: ร้อยละของปริมาตรปอดทั้งหมดที่ได้รับปริมาณรังสี 20 เกรด
- $D_{1500\text{cc}}$: ปริมาณรังสีที่ปริมาตร 1500 cc ของปอดได้รับ
- $D_{0.5\text{cc}}$: ปริมาณรังสีที่ปริมาตร 0.5 cc ของกระดูกสันหลังได้รับ
- $D_{0.25\text{cc}}$: ปริมาณรังสีที่ปริมาตร 0.25 cc ของกระดูกสันหลังได้รับ

